



ใบรับรองวิทยานิพนธ์ บัณฑิตวิทยาลัย มหาวิทยาลัยเกษตรศาสตร์

วิทยาศาสตร์สิ่งแวดล้อม (วิทยาศาสตร์สิ่งแวดล้อม)

ปริญญา

วิทยาศาสตร์สิ่งแวดล้อม

สาขา

วิทยาลัยสิ่งแวดล้อม

ภาควิชา

เรื่อง การเปรียบเทียบการกำจัดสีข้อมูลผ้าในน้ำทึบจากโรงงานย้อมผ้า โครงการพัฒนาดอยตุง อันเนื่องมาจากพระราชดำริ ด้วยผงเมล็ดมะรุมและถ่านบิทูมินส์เชิงพาณิชย์ และการประยุกต์ใช้ผงเมล็ดมะรุมในการกระบวนการโดยแอคทูเลชัน

Comparision of Dyes Removal from Textile Wastewater from Doi Tung Development Project between Moringa Seed Powder and Commercial Granular Activated Bituminous Coal Based Carbon and The Application of Moringa Seed Powder on Coagulation

นามผู้วิจัย นางสาวฐิติรัตน์ ปิยะภานุวัตัน

ได้พิจารณาเห็นชอบโดย

อาจารย์ที่ปรึกษาวิทยานิพนธ์หลัก

(รองศาสตราจารย์คณิตา ตั้งคณานุรักษ์, วท.ม.)

อาจารย์ที่ปรึกษาวิทยานิพนธ์ร่วม

(รองศาสตราจารย์นิพนธ์ ตั้งคณานุรักษ์, Ph.D.)

ประธานสาขาวิชา

(ศาสตราจารย์เกย์ม จันทร์แก้ว, Ph.D.)

บัณฑิตวิทยาลัย มหาวิทยาลัยเกษตรศาสตร์รับรองแล้ว

(รองศาสตราจารย์กัญจน์ ชีระกุล, D.Agr.)

คณบดีบัณฑิตวิทยาลัย

วันที่ เดือน พ.ศ.

วิทยานิพนธ์

เรื่อง

การเปรียบเทียบการกำจัดสีซ้อมผ้าในน้ำทึบจากโรงงานซ้อมผ้า โครงการพัฒนาดอยตุง
อันเนื่องมาจากพระราชดำริ ด้วยผงเมล็ดมะรุมและถ่านบิทูมินัสเชิงพาณิชย์
และการประยุกต์ใช้ผงเมล็ดมะรุมในกระบวนการโคแอกคูเลชัน

Comparision of Dyes Removal from Textile Wastewater from Doi Tung Development Project
between Moringa Seed Powder and Commercial Granular Activated Bituminous Coal Based
Carbon and The Application of Moringa Seed Powder on Coagulation

โดย

นางสาวฐิติรัตน์ ปิยะภานุวัตน์

เสนอ

บัณฑิตวิทยาลัย มหาวิทยาลัยเกษตรศาสตร์
เพื่อความสมบูรณ์แห่งปริญญาวิทยาศาสตรมหาบัณฑิต (วิทยาศาสตร์สิ่งแวดล้อม)
พ.ศ. 2555

สิงห์ นตาวิทยาลัยเกษตรศาสตร์

ฐิติรัตน์ ปีะภานุวัตన์ 2555: การเปรียบเทียบการกำจัดสีข้อมผ้าในน้ำทึ้งจากโรงงาน
ข้อมผ้า โครงการพัฒนาคอดอยตุง อันเนื่องมาจากพระราชดำริ ด้วยผงเมล็ดมะรุมและ
ถ่านบิทูมินัสเชิงพาณิชย์ และการประยุกต์ใช้ผงเมล็ดมะรุมในกระบวนการโคแอกกูเลชั่น
ปริญญาวิทยาศาสตร์ครमหาบัณฑิต (วิทยาศาสตร์สิ่งแวดล้อม) สาขาวิทยาศาสตร์สิ่งแวดล้อม
วิทยาลัยสิ่งแวดล้อม อาจารย์ที่ปรึกษาวิทยานิพนธ์หลัก: รองศาสตราจารย์คณิตา ตั้งคณานุรักษ์,
วท.ม. 147 หน้า

การศึกษาวิจัยครั้งนี้มีวัตถุประสงค์เพื่อเปรียบเทียบความสามารถในการกำจัดสีข้อมผ้า 9 ชนิด
ในน้ำทึ้งจากโรงงานข้อมผ้า โครงการพัฒนาคอดอยตุง ด้วยผงจากเมล็ดมะรุมและถ่านบิทูมินัสเชิงพาณิชย์
โดยศึกษาปัจจัยที่มีผลต่อการคุดชั่บ ซึ่งได้แก่ พีอีอช (4.0-8.0) ความเร็วของการเรย่า (0-200 รอบ/นาที)
ระยะเวลาการเรย่า (15-120 นาที) ระยะเวลาสัมผัส (0-120 นาที) ความเข้มข้นของสารละลายสีข้อมผสม
(50 มิลลิกรัม/ลิตร) และปริมาณของตัวคุดชั่บ (1-7 กรัม) ผลการทดลองพบว่าผงจากเมล็ดมะรุมมี
ประสิทธิภาพในการคุดชั่บสีข้อมผ้าทั้ง 9 ชนิด สูงสุดเฉลี่ยร้อยละ 94.74 กายได้สภาวะที่พีอีอช 7 ความเร็ว
ของการเรย่า 100 รอบ/นาที ระยะเวลาการเรย่า 30 รอบ/นาที ความเข้มข้นของสารละลายสีข้อมผสม 30
มิลลิกรัม/ลิตร และปริมาณตัวคุดชั่บ 1 กรัม ในขณะที่ถ่านบิทูมินัสเชิงพาณิชย์มีประสิทธิภาพในการคุด
ชั่บสีข้อมผ้าทั้ง 9 ชนิด สูงสุดเฉลี่ยร้อยละ 73.99 กายได้สภาวะที่ พีอีอช 7 ความเร็วของการเรย่า 50 รอบ/
นาที ระยะเวลาการเรย่า 120 รอบ/นาที ระยะเวลาสัมผัส 30 นาที ความเข้มข้นของสารละลายสีข้อมผสม
30 มิลลิกรัม/ลิตร และปริมาณตัวคุดชั่บ 7 กรัม กลไกการคุดชั่บของตัวคุดชั่บทั้งสองชนิดสอดคล้องกับ
สมการ ไอโซเทอร์มของແລງເມີຍຣ໌ ແລະ ປະສິທິກາພກາການกำຈັດສີຂໍອມໃນນ້ຳທີ່ຈາກໂຮງງານຂໍອມຜ້າຄອຍຕຸງ
ด້ວຍผงจากเมล็ดมะรุมและถ่านบิทูมินัสเชิงพาณิชย์ มີຄ່າເຄີຍຮ້ອຍລະ 46.49 ແລະ 61.03 ຕາມລຳດັບ

การศึกษาระบวนการโคแอกกูเลชั่น โดยใช้ผงเมล็ดมะรุมจำนวน 2 กรัม และ 5 กรัม ในการ
กำจัดสีข้อมในสารละลายสีข้อมผสม และในน้ำทึ้งจากโรงงานข้อมผ้าโครงการพัฒนาคอดอยตุง อัน
เนื่องมาจากพระราชดำริ พ布ว่ามีประสิทธิภาพในการคุดชั่บสีข้อมคิดเป็นร้อยละ 97.12 และ 56.51
ຕາມລຳດັບ ນອກຈາກນີ້ເມື່ອໃຊ້ຜົງເມື່ອລົດມະຮຸນຈຳນວນ 20 ກຣັມ ແລະ 70 ກຣັມ ກຳຈັດສີຂໍອມໃນสารละลายສີຂໍອມ
ພສມປິມາຕຣ 20 ລິຕຣ ແລະ ໃນນ້ຳທີ່ປິມາຕຣ 20 ລິຕຣ ຈາກໂຮງງານຂໍອມຜ້າໂຮງການພັດທະນາຄອຍຕຸງ ອັນ
เนื่องมาจากพระราชดำริ ຕາມລຳດັບ ພົບວ່າປະສິທິກາພການການกำຈັດສີຂໍອມໃນสารละลายສີຂໍອມພສມ ຄິດ
ເປັນຮ້ອຍລະ 80.47 ແລະ ພົບວ່າມີປະສິທິກາພການການກຳຈັດສີຂໍອມຜ້າໃນນ້ຳທີ່ຈາກໂຮງງານຂໍອມຜ້າໂຮງການ
ພັດທະນາຄອຍຕຸງ ອັນເນື່ອງມາຈາກพระราชดำริ ຄິດເປັນຮ້ອຍລະ 23.53 ຕາມລຳດັບ

Titirat Piyapanuwat 2012: Comparision of Dyes Removal from Textile Wastewater from Doi Tung Development Project between Moringa Seed Powder and Commercial Granular Activated Bituminous Coal Based Carbon and The Application of Moringa Seed Powder on Coagulation. Master of Science (Environmental Science), Major Field: Environmental Science, College of Environment. Thesis Advisor: Associate Professor Kanita Tungkananuruk, M.Sc. 147 pages.

The purpose of this research was the comparison in ability of wastewater treatment of nine dyes (6% Super Black G, 2% Turquoise H-GN, 2% Yellow LS-4G, 2% Yellow LS-R-01, 2% Orange LS-BR, 4% Navy LS-G, 2% Red LS-B, 2% Blue LS-3R and 2% Br.Blue LS-G). In textile wastewater from Doi Tung Development Project with the ingredient of Moringa seed powder and commercial granular activated bituminous coal based carbon by studying adsorption factors such as pH (4.0 – 8.0), shaking speed (0–200 rpm), shaking time (15–120 minutes), contact time (0–120 minutes), concentration of mixed standard dyes solution (50 mg/l) and adsorbent weight (1-7 g).The results demonstrated that the average highest efficiency of nine dyes in the mixture standard solution by at 94.74% under conditions pH 7, shaking speed 100 rpm, shaking time 30 minutes, and concentration of mixed standard dyes solution 30 mg/l and adsorbent weight 1 g, whereas at 73.99% adsorption by using commercial granular activated bituminous coal based carbon under conditions pH 7, shaking speed 50 rpm, shaking time 120 minutes, contact time 30 minutes and concentration of mixed standard dyes solution 30 mg/l and adsorbent weight 7 g. The adsorption mechanism of both adsorbents was conformed to the Langmuir isotherm equation. The removal performance of nine dyes in textile wastewater from Doi Tung by Moringa seed powder and commercial granular activated bituminous coal based carbon were 46.49% and 61.03%, respectively.

The coagulation process studies by using Moringa seed powder 2 g. and 5 g. for mixed stand dyes solution and textile wastewater from Doi Tung Development Project, respectively. The adsorption efficiency were 97.12% and 56.51 % respectively. In addition, in each of 20 L of mixed stand dyes solution and textile wastewater from Doi Tung Development Project have been removed 80.47% and 23.53% of dyes by using 20 g. and 70 g. of Moringa seed powder, respectively

Student's signature

Thesis Advisor's signature

กิตติกรรมประกาศ

ขอทราบขอบพระคุณ รองศาสตราจารย์คณิตา ตั้งคณานุรักษ์ ประธานกรรมการที่ปรึกษาที่ได้สละเวลาในการช่วยเหลือ ให้ความรู้ คำแนะนำและข้อเสนอแนะต่างๆ ตลอดจนช่วยแก้ไขในข้อบกพร่องต่างๆ และขอบขอบคุณ รองศาสตราจารย์ ดร.นิพนธ์ ตั้งคณานุรักษ์ กรรมการร่วมที่ได้กรุณาให้คำแนะนำ และตรวจแก้ไขวิทยานิพนธ์ฉบับเรื่องลุล่วงด้วยดี

ขอขอบคุณ วิทยาลัยสิ่งแวดล้อม มหาวิทยาลัยเกษตรศาสตร์ ที่อนุเคราะห์สถานที่ในการศึกษา วิจัย และทดลอง รวมทั้งอุปกรณ์ในการวิจัย และขอบขอบคุณ คุณวชรพงษ์ วรารัมย์ เจ้าหน้าที่ห้องปฏิบัติการเคมี วิทยาลัยสิ่งแวดล้อม ที่เคยช่วยเหลือและให้คำแนะนำในการทำวิจัย ตลอดจนเจ้าหน้าที่วิทยาลัยสิ่งแวดล้อม มหาวิทยาลัยเกษตรศาสตร์ ที่ให้ความช่วยเหลือในด้านต่างๆในการจัดทำวิทยานิพนธ์ฉบับนี้

ขอขอบคุณ โครงการศึกษาวิจัยและพัฒนาสิ่งแวดล้อมแหล่งพักเบี้ย อันเนื่องมาจากพระราชดำริ ที่ให้การสนับสนุนทุนวิจัยในครั้งนี้ และ ขอบขอบคุณ โครงการพัฒนาดอยตุง อันเนื่องมาจากพระราชดำริ ที่ให้ความอนุเคราะห์ตัวอย่างสืบสานผ้าสังเคราะห์ และน้ำทึ้งจากโรงงานข้อมผ้า โครงการพัฒนาดอยตุง ตลอดจนเจ้าหน้าที่ที่ให้ความร่วมมือในการศึกษาวิจัยเป็นอย่างดี

ขอขอบพระคุณ คุณพ่อวีระพัฒน์ ปิยะภานุวัตัน์และคุณแม่พจนา ปิยะภานุวัตัน์ ที่ได้อบรมสั่งสอน และให้กำลังใจเสมอมา รวมถึงขอบคุณพี่ๆ สิ่งแวดล้อมรุ่น 32 เพื่อนๆ สิ่งแวดล้อมรุ่น 33 และตลอดจนทุกท่านที่มีส่วนเกี่ยวข้อง ที่ให้ความช่วยเหลือในการศึกษาวิจัย จนวิทยานิพนธ์ฉบับนี้สำเร็จลุล่วงไปด้วยดี

จิตติรัตน์ ปิยะภานุวัตัน์

ตุลาคม 2554

สารบัญ

หน้า

สารบัญ	(1)
สารบัญตาราง	(2)
สารบัญภาพ	(8)
คำอธิบายสัญลักษณ์และคำย่อ	(12)
คำนำ	1
วัตถุประสงค์	2
การตรวจสอบสาร	3
อุปกรณ์และวิธีการ	46
อุปกรณ์	46
วิธีการ	48
ผลและวิจารณ์	58
สรุปและข้อเสนอแนะ	97
สรุป	97
ข้อเสนอแนะ	99
เอกสารและสิ่งอ้างอิง	100
ภาคผนวก	102
ประวัติการศึกษาและการทำงาน	147

สารบัญตาราง

ตารางที่	หน้า
1 คุณค่าทางโภชนาการของส่วนต่างๆของมะรุม : 100 กรัม	4
2 ลักษณะจำเพาะของถ่านบิทูมินัสเชิงพาณิชย์	7
3 สีข้อม (Reactive dye) จากโรงงานข้อมผ้า โครงการพัฒนาดอยตุง ชนิด และค่าความยาวคลื่นที่แต่ละสีคุดคลื่นแสงได้คือเท่ากัน	9
4 อิทธิพลของปริมาณเริ่มต้นต่อร้อยละการดูดซับสีข้อมด้วยผงเมล็ดมะรุมและถ่านบิทูมินัสเชิงพาณิชย์	50
5 อิทธิพลของพิ效ต่อร้อยละการดูดซับสีข้อมด้วยผงเมล็ดมะรุมและถ่านบิทูมินัสเชิงพาณิชย์	66
6 อิทธิพลของความเร็วของการเขย่าต่อร้อยละการดูดซับสีข้อมด้วยผงเมล็ดมะรุมและ ถ่านบิทูมินัสเชิงพาณิชย์	68
7 อิทธิพลของระยะเวลาเขย่าต่อร้อยละการดูดซับสีข้อมด้วยผงเมล็ดมะรุมและ ถ่านบิทูมินัสเชิงพาณิชย์	69
8 อิทธิพลของระยะเวลาเข้าสู่สมดุลต่อร้อยละการดูดซับสีข้อมด้วยผงเมล็ดมะรุมและ ถ่านบิทูมินัสเชิงพาณิชย์	71
9 อิทธิพลของความเข้มข้นสารละลายสีข้อมผสมต่อร้อยละการดูดซับสีข้อมด้วยผงเมล็ดมะรุมและถ่านบิทูมินัสเชิงพาณิชย์	73
10 อิทธิพลของปริมาณต่อร้อยละการดูดซับสีข้อมด้วยผงเมล็ดมะรุมและ ถ่านบิทูมินัสเชิงพาณิชย์	74
11 ประสิทธิภาพการดูดซับสีข้อมผ้าด้วยผงเมล็ดมะรุมและถ่านบิทูมินัส เชิงพาณิชย์ในน้ำเสียสังเคราะห์ชนิดที่ 2 ที่เตรียมได้จากสารละลายสี ข้อมผสม	76
12 สภาพะที่เหมาะสมของ การการดูดซับสีข้อมในสารละลายสีข้อมผสม ด้วยผงเมล็ดมะรุมและถ่านบิทูมินัสเชิงพาณิชย์ โดยการทดลองแบบ แบบดช	81

สารบัญตาราง (ต่อ)

ตารางที่	หน้า
13 คุณภาพน้ำเสียจากโรงงานข้อมผ้า โครงการพัฒนาดอยตุง อันเนื่องมาจากพระราชดำริ	83
14 ค่าการคุดกลืนแสงของน้ำเสียจากโรงงานข้อมผ้า โครงการพัฒนาดอยตุง อันเนื่องมาจากพระราชดำริ	84
15 ประสิทธิภาพการคุดซับสีข้อมผ้าด้วยพุงเมล็ดมะรุมและถ่านบิทูมน้ำเชิง พาณิชย์ในน้ำทึ่งจากโรงงานข้อมผ้าโครงการพัฒนาดอยตุง อันเนื่องมาจากพระราชดำริ	85
16 คุณภาพน้ำเสียจากโรงงานข้อมผ้าโครงการพัฒนาดอยตุง อันเนื่องมาจากพระราชดำริ ก่อนและหลังการคุดซับด้วยพุงเมล็ดมะรุมและถ่านบิทูมน้ำเชิงพาณิชย์	86
17 ผลการศึกษาอิทธิพลปริมาณสารสร้างตะกอนต่อร้อยละการกำจัดสีข้อมในสารละลายสีข้อมผสม	88
18 ผลการศึกษาอิทธิพลค่าพีเอชต่อร้อยละการกำจัดสีข้อมในสารละลายสีข้อมผสม	89
19 ผลการศึกษาอิทธิพลปริมาณสารสร้างตะกอนต่อร้อยละการกำจัดสีข้อมในน้ำทึ่งจากโรงงานข้อมผ้าโครงการพัฒนาดอยตุง อันเนื่องมาจากพระราชดำริ	90
20 ผลการศึกษาอิทธิพลค่าพีเอชต่อร้อยละการกำจัดสีข้อมในน้ำทึ่งจากโรงงานข้อมผ้าโครงการพัฒนาดอยตุง อันเนื่องมาจากพระราชดำริ	91
21 คุณภาพน้ำเสียจากโรงงานข้อมผ้าโครงการพัฒนาดอยตุง อันเนื่องมาจากพระราชดำริ หลังการกำจัดสีข้อมด้วยกระบวนการโภเօค กฎเดชั่น โดยใช้วิธีการเทสต์	92
22 ผลการศึกษาอิทธิพลปริมาณสารสร้างตะกอนต่อร้อยละการกำจัดสีข้อมในสารละลายสีข้อมผสม โดยวิธีการประยุกต์ใช้งานจริง	93

สารบัญตาราง (ต่อ)

ตารางที่	หน้า
23 ผลการศึกษาอิทธิพลปริมาณสารสร้างตะกอนต่อร้อยละการกำจัดสี ข้อมในน้ำเสียจากโรงงานข้อมผ้าโดยการพัฒนาดอยตุง อัน เนื่องมาจากพระราชดำริ โดยวิธีการประยุกต์ใช้งานจริง	95
24 คุณภาพน้ำเสียจากโรงงานข้อมผ้าโดยการพัฒนาดอยตุง อัน เนื่องมาจากพระราชดำริ หลังการกำจัดสีข้อมโดยวิธีการประยุกต์ใช้ งานจริง อันเนื่องมาจากพระราชดำริ	96
ตารางผนวกที่	
1 ความสัมพันธ์ระหว่างพีเอช (4, 5) กับร้อยละการถูกดูดซับสีข้อมด้วยผง เมล็ดมะรุม	103
2 ความสัมพันธ์ระหว่างพีเอช (7, 8) กับร้อยละการถูกดูดซับสีข้อมด้วยผง เมล็ดมะรุม	104
3 ความสัมพันธ์ระหว่างพีเอช (4, 5) กับร้อยละการถูกดูดซับสีข้อมด้วยถ่าน [*] บิทูมนัสเซิงพาณิชย์	105
4 ความสัมพันธ์ระหว่างพีเอช (7, 8) กับร้อยละการถูกดูดซับสีข้อมด้วยถ่าน [*] บิทูมนัสเซิงพาณิชย์	106
5 ความสัมพันธ์ระหว่างความเร็วกระบวนการเข่า (0, 50) กับร้อยละการถูก ดูดซับสีข้อมด้วยผงเมล็ดมะรุม	107
6 ความสัมพันธ์ระหว่างความเร็วกระบวนการเข่า (100, 150) กับร้อยละ การถูกดูดซับสีข้อมด้วยผงเมล็ดมะรุม	108
7 ความสัมพันธ์ระหว่างความเร็วกระบวนการเข่า (200) กับร้อยละการถูก ดูดซับสีข้อมด้วยผงเมล็ดมะรุม	109

สารบัญตาราง (ต่อ)

ตารางผนวกที่	หน้า
8 ความสัมพันธ์ระหว่างความเร็วรอบการเบี้ย (0, 50) กับร้อยละการคุดชับสีข้อมูลคำนวณ (0, 50)	110
9 ความสัมพันธ์ระหว่างความเร็วรอบการเบี้ย (100, 150) กับร้อยละการคุดชับสีข้อมูลคำนวณ (100, 150)	111
10 ความสัมพันธ์ระหว่างความเร็วรอบการเบี้ย (200) กับร้อยละการคุดชับสีข้อมูลคำนวณ (200)	112
11 ความสัมพันธ์ระหว่างระยะเวลาเบี้ย (15,30) กับร้อยละการคุดชับสีข้อมูลคำนวณ (15,30)	113
12 ความสัมพันธ์ระหว่างระยะเวลาเบี้ย (45,60) กับร้อยละการคุดชับสีข้อมูลคำนวณ (45,60)	114
13 ความสัมพันธ์ระหว่างระยะเวลาเบี้ย (75,90) กับร้อยละการคุดชับสีข้อมูลคำนวณ (75,90)	115
14 ความสัมพันธ์ระหว่างระยะเวลาเบี้ย (105,120) กับร้อยละการคุดชับสีข้อมูลคำนวณ (105,120)	116
15 ความสัมพันธ์ระหว่างระยะเวลาเบี้ย (15,30) กับร้อยละการคุดชับสีข้อมูลคำนวณ (15,30)	117
16 ความสัมพันธ์ระหว่างระยะเวลาเบี้ย (45,60) กับร้อยละการคุดชับสีข้อมูลคำนวณ (45,60)	118
17 ความสัมพันธ์ระหว่างระยะเวลาเบี้ย (75,90) กับร้อยละการคุดชับสีข้อมูลคำนวณ (75,90)	119
18 ความสัมพันธ์ระหว่างระยะเวลาเบี้ย (105,120) กับร้อยละการคุดชับสีข้อมูลคำนวณ (105,120)	120
19 ความสัมพันธ์ระหว่างระยะเวลาเบี้ย (0, 30) กับร้อยละการคุดชับสีข้อมูลคำนวณ (0, 30)	121

สารบัญตาราง (ต่อ)

ตารางผนวกที่	หน้า
20 ความสัมพันธ์ระหว่างระยะเวลาเข้าสู่สมดุล (60, 90) กับร้อยละการคูดชับสีข้อมค่วยผงเมล็ดมะรุม	122
21 ความสัมพันธ์ระหว่างระยะเวลาเข้าสู่สมดุล (120) กับร้อยละการคูดชับสีข้อมค่วยผงเมล็ดมะรุม	123
22 ความสัมพันธ์ระหว่างระยะเวลาเข้าสู่สมดุล (0, 30) กับร้อยละการคูดชับสีข้อมค่วยถ่านบิทูมนัสเชิงพาณิชย์	124
23 ความสัมพันธ์ระหว่างระยะเวลาเข้าสู่สมดุล (60, 90) กับร้อยละการคูดชับสีข้อมค่วยถ่านบิทูมนัสเชิงพาณิชย์	125
24 ความสัมพันธ์ระหว่างระยะเวลาเข้าสู่สมดุล (120) กับร้อยละการคูดชับสีข้อมค่วยถ่านบิทูมนัสเชิงพาณิชย์	126
25 ความสัมพันธ์ระหว่างความเข้มข้นสารละลายสีข้อมผสม (10, 20) กับร้อยละการคูดชับสีข้อมค่วยผงเมล็ดมะรุม	127
26 ความสัมพันธ์ระหว่างความเข้มข้นสารละลายสีข้อมผสม (30,40) กับร้อยละการคูดชับสีข้อมค่วยผงเมล็ดมะรุม	128
27 ความสัมพันธ์ระหว่างความเข้มข้นสารละลายสีข้อมผสม (50) กับร้อยละการคูดชับสีข้อมค่วยผงเมล็ดมะรุม	129
28 ความสัมพันธ์ระหว่างความเข้มข้นสารละลายสีข้อมผสม (10, 20) กับร้อยละการคูดชับสีข้อมค่วยถ่านบิทูมนัสเชิงพาณิชย์	130
29 ความสัมพันธ์ระหว่างความเข้มข้นสารละลายสีข้อมผสม (30, 40) กับร้อยละการคูดชับสีข้อมค่วยถ่านบิทูมนัสเชิงพาณิชย์	131
30 ความสัมพันธ์ระหว่างความเข้มข้นสารละลายสีข้อมผสม (50) กับร้อยละการคูดชับสีข้อมค่วยถ่านบิทูมนัสเชิงพาณิชย์	132
31 ความสัมพันธ์ระหว่างปริมาณ (1, 2) กับร้อยละการคูดชับสีข้อมค่วยผงเมล็ดมะรุม	133

สารบัญตาราง (ต่อ)

ตารางผนวกที่	หน้า
32 ความสัมพันธ์ระหว่างปริมาณ (3, 4) กับร้อยละการคูดซับลีข้อมือด้วย ลงเมล็ดมะรุม	134
33 ความสัมพันธ์ระหว่างปริมาณ (5, 6) กับร้อยละการคูดซับลีข้อมือด้วย ลงเมล็ดมะรุม	135
34 ความสัมพันธ์ระหว่างปริมาณ (7, 8) กับร้อยละการคูดซับลีข้อมือด้วย ลงเมล็ดมะรุม	136
35 ความสัมพันธ์ระหว่างปริมาณ (1, 2) กับร้อยละการคูดซับลีข้อมือด้วย ถ่านบิทูมินัสเชิงพาณิชย์	137
36 ความสัมพันธ์ระหว่างปริมาณ (3, 4) กับร้อยละการคูดซับลีข้อมือด้วย ถ่านบิทูมินัสเชิงพาณิชย์	138
37 ความสัมพันธ์ระหว่างปริมาณ (5, 6) กับร้อยละการคูดซับลีข้อมือด้วย ถ่านบิทูมินัสเชิงพาณิชย์	139
38 ความสัมพันธ์ระหว่างปริมาณ (7, 8) กับร้อยละการคูดซับลีข้อมือด้วย ถ่านบิทูมินัสเชิงพาณิชย์	140
39 ไอโซเทอร์มการคูดซับของลงเมล็ดมะรุม	141
40 ไอโซเทอร์มการคูดซับของถ่านบิทูมินัสเชิงพาณิชย์	142
41 ประสิทธิภาพของลงเมล็ดมะรุมในการคูดซับลีข้อมือผ้าในน้ำเสีย สังเคราะห์ (7 ชั่ว)	143
42 ประสิทธิภาพของถ่านบิทูมินัสเชิงพาณิชย์ในการคูดซับลีข้อมือผ้าในน้ำ เสียสังเคราะห์ (7 ชั่ว)	144
43 ประสิทธิภาพของลงจากเมล็ดมะรุมในการคูดซับลีข้อมือผ้าในน้ำทึบจาก โรงงานย้อมผ้า (7 ชั่ว)	145
44 ประสิทธิภาพของถ่านบิทูมินัสเชิงพาณิชย์ในการคูดซับลีข้อมือผ้าในน้ำ ทึบจากโรงงานย้อมผ้า (7 ชั่ว)	146
45 ประสิทธิภาพของลงมะรูมในการประยุกต์ใช้จริงในการคูดซับลีข้อมือใน น้ำทึบจากโรงงานย้อมผ้า โครงการพัฒนาดอยตุง อันเนื่องมาจาก พระราชดำริ	147

สารบัญภาพ

ภาพที่		หน้า
1	มะรุม (Moringa oleifera)	3
2	การจำแนกถ่านหินแต่ละประเภท	6
3	สูตรโกรงสร้างของโคร โอมฟอร์และออกโซ่โกรนของสีเยื่อม	9
4	สูตรโกรงสร้าง ไมเลกุลของสีแอเชิด	10
5	สูตรโกรงสร้าง ไมเลกุลของสีเบสติก	11
6	สูตรโกรงสร้าง ไมเลกุลของสีไอเดร็กท์	11
7	สูตรโกรงสร้าง ไมเลกุลของสีรีแอคทีฟ	12
8	สูตรโกรงสร้าง ไมเลกุลของสีคิสเพิร์ส	12
9	สูตรโกรงสร้าง ไมเลกุลของสีอะโซชิอิก	13
10	สูตรโกรงสร้าง ไมเลกุลของสีเว็ต	13
11	สูตรโกรงสร้าง ไมเลกุลของสีมอร์แคนท์	14
12	สูตรโกรงสร้าง ไมเลกุลของสีซัลเฟอร์	14
13	ขั้นตอนการเคลื่อนย้าย ไมเลกุลของตัวถูกคุดชับ ไปยังตัวคุดชับ	21
14	แรงดึงดูดระหว่าง ไมเลกุล ไม่มีข้าว ที่ถูกเหนี่ยวนำ ให้มีข้าวชี้ชั่วคราว	23
15	แรงดึงดูดระหว่าง ข้าว กับ ข้าว ที่เกิดจากการเหนี่ยวนำ	23
16	แรงดึงดูดระหว่าง ไมเลกุล มีข้าว	24
17	การคุดชับของตัวถูกคุดชับบนพื้นผิวตัวคุดชับแบบชั้นเดียว สองชั้น สามชั้น และสี่ชั้น	25
18	ลักษณะการยึดเหนี่ยวด้วยแรงทางกายภาพ	26
19	การเคลื่อนย้าย ไมเลกุลตัวถูกคุดชับ ไปยังตัวคุดชับ	29
20	ไอโซเทอร์มการคุดชับแบบพื้นฐาน	32
21	ไอโซเทอร์มการคุดชับแบบเชิงเส้นตรงของฟรุนดิช	33
22	ไอโซเทอร์มของการคุดชับแบบ ไม่เชิงเส้นของฟรุนดิช	34
23	กลไกการคุดชับของตัวถูกคุดชับบนพื้นผิวตัวคุดชับแบบชั้นเดียว เมื่อ ตัวถูกคุดชับถูกคุดชับ ไวแล้ว จะ ไม่มีการภายในจากพื้นผิวตัวคุดชับ	35

สารบัญภาพ (ต่อ)

ภาพที่	หน้า
24 ตัวอุกคุดซับปักกลุมจนเต็มพื้นที่ผิวของตัวอุกคุดซับแบบชั้นเดียว ปริมาณตัวอุกคุดซับที่อุกคุดซับสูงสุดบนพื้นผิวเท่ากับ q_m	35
25 ไอโซเทอร์มการดูดซับแบบเชิงเส้นของแลงเมียร์	37
26 สารเคมีช่วยตัดตอนช่วยลดแรงผลักระหว่างอนุภาค	37
27 ลักษณะของโพลีอิเล็กโทร ไอลต์ช่วยจับอนุภาค และลักษณะการจับตัวการรวมตัวเมื่อใส่โพลีเมอร์	41
28 สูตรโครงสร้างของโพลีอิเล็กโทร ไอลต์และการประภูประจุไฟฟ้าของโพลีอิเล็กโทร ไอลต์	42
29 สารละลายสีเข้มมาตรฐานแต่ละสีที่เตรียมได้	48
30 การศึกษาประสิทธิภาพการกำจัดสีเข้มในสารละลายสีเข้มผสมด้วยกระบวนการโคแอคทีฟเอนไซม์ โดยวิธีเจาร์-test	54
31 อุปกรณ์ที่ใช้ในการกำจัดสีเข้มเพื่อการนำไปประยุกต์ใช้งานจริง	56
32 ผงเมล็ดมะรุม	58
33 ถ่านบิทูมนัสเชิงพาณิชย์	59
34 กราฟมาตรฐานของสารละลายสีเข้มผสมที่ความยาวคลื่น 400 นาโนเมตร	60
35 กราฟมาตรฐานของสารละลายสีเข้มผสมที่ความยาวคลื่น 420 นาโนเมตร	60
36 กราฟมาตรฐานของสารละลายสีเข้มผสมที่ความยาวคลื่น 434 นาโนเมตร	61
37 กราฟมาตรฐานของสารละลายสีเข้มผสมที่ความยาวคลื่น 546 นาโนเมตร	61
38 กราฟมาตรฐานของสารละลายสีเข้มผสมที่ความยาวคลื่น 588 นาโนเมตร	62
39 กราฟมาตรฐานของสารละลายสีเข้มผสมที่ความยาวคลื่น 594 นาโนเมตร	62

สารบัญภาพ (ต่อ)

ภาพที่	หน้า
40	กราฟมาตราฐานของสารละลายสีเข้มผสมที่ความขากลืน 616 นาโนเมตร 63
41	กราฟมาตราฐานของสารละลายสีเข้มผสมที่ความขากลืน 662 นาโนเมตร 63
42	กราฟมาตราฐานของสารละลายสีเข้มผสมที่ความขากลืน 666 นาโนเมตร 64
43	ความสัมพันธ์ระหว่างปริมาณเริ่มต้นต่อร้อยละการดูดซับสีเข้มด้วย ผงเมล็ดมะรุมและถ่านบิทูมินัสเชิงพาณิชย์ 66
44	ความสัมพันธ์ระหว่างพื้อเชกับร้อยละการดูดซับสีเข้มด้วยผงเมล็ด มะรุมและถ่านบิทูมินัสเชิงพาณิชย์ 68
45	ความสัมพันธ์ระหว่างความเร็วของการเบ่งกับร้อยละการดูดซับสี เข้มด้วยผงเมล็ดมะรุมและถ่านบิทูมินัสเชิงพาณิชย์ 69
46	ความสัมพันธ์ระหว่างระยะเวลาเบ่งกับร้อยละการดูดซับสีเข้มด้วย ผงเมล็ดมะรุมและถ่านบิทูมินัสเชิงพาณิชย์ 71
47	ความสัมพันธ์ระหว่างระยะเวลาเข้าสู่สมดุลกับร้อยละการดูดซับสี เข้มด้วยผงเมล็ดมะรุมและถ่านบิทูมินัสเชิงพาณิชย์ 72
48	ความสัมพันธ์ระหว่างความเข้มข้นสารละลายสีเข้มผสมกับร้อยละ การดูดซับสีเข้มด้วยผงเมล็ดมะรุมและถ่านบิทูมินัสเชิงพาณิชย์ 74
49	ความสัมพันธ์ระหว่างปริมาณกับร้อยละการดูดซับสีเข้มด้วยผงเมล็ด มะรุมและถ่านบิทูมินัสเชิงพาณิชย์ 76
50	ไอโซเทอร์มการดูดซับสีเข้มของแอลกอฮอล์ด้วยผงเมล็ดมะรุม 78
51	ไอโซเทอร์มการดูดซับสีเข้มของฟรุนดิชด้วยผงเมล็ดมะรุม 78
52	ไอโซเทอร์มการดูดซับสีเข้มของแอลกอฮอล์ด้วยถ่านบิทูมินัสเชิงพาณิชย์ 79
53	ไอโซเทอร์มการดูดซับสีเข้มของฟรุนดิชด้วยถ่านบิทูมินัสเชิงพาณิชย์ 79

สารบัญภาพ (ต่อ)

ภาพที่		หน้า
54	เปรียบเทียบร้อยละการคูดซับสีข้อม 9' ชนิด จากสารละลายสีข้อม ผสมโดยใช้ผงเมล็ดมะรุมและถ่านบิทูมินัสเชิงพาณิชย์ โดยทำการ ทดลองแบบแบบทช'	80
55	เปรียบเทียบร้อยละการคูดซับสีข้อมในน้ำทึ่งจากโรงงานข้อมผ้า โครงการพัฒนาดอยตุง อันเนื่องมาจากพระราชดำริ โดยใช้ผงเมล็ด มะรุมและถ่านบิทูมินัสเชิงพาณิชย์ โดยทำการทดลองแบบแบบทช'	85
56	ความสัมพันธ์ระหว่างปริมาณสารสร้างตะกอนกับร้อยละการกำจัด โดยวิธีjar์เกสต์	87
57	ความสัมพันธ์ระหว่างพื้อเชกกับร้อยละการกำจัด โดยวิธีjar์เกสต์	88
58	ความสัมพันธ์ระหว่างปริมาณสารสร้างตะกอนกับร้อยละการกำจัดสี ข้อมในน้ำทึ่งจาก โรงงานข้อมผ้า โครงการพัฒนาดอยตุง อัน เนื่องมาจากพระราชดำริ โดยวิธีjar์เกสต์	89
59	ความสัมพันธ์ระหว่างค่าพื้อเชกกับร้อยละการกำจัดสีข้อมในน้ำทึ่งจาก โรงงานข้อมผ้า โครงการพัฒนาดอยตุง อันเนื่องมาจากพระราชดำริ โดยวิธีjar์เกสต์	90
60	ความสัมพันธ์ระหว่างปริมาณสารสร้างตะกอนกับร้อยละการกำจัดสี ข้อมในสารละลาย สีข้อมมาตรฐานผสม โดยวิธีการประยุกต์ใช้งาน จริง	93
61	ความสัมพันธ์ระหว่างปริมาณสารสร้างตะกอนกับร้อยละการ กำจัดสีข้อมในน้ำเสียจากโรงงานข้อมผ้า โครงการพัฒนาดอยตุง อัน เนื่องมาจากพระราชดำริ โดยวิธีการประยุกต์ใช้งานจริง	94

คำอธิบายสัญลักษณ์และคำย่อ

BOD (บีโอดี)	=	Biochemical Oxygen Demand (ความต้องการออกซิเจนของน้ำทิ้งโดยวิธีทางชีวภาพ)
COD (ซีโอดี)	=	Chemical Oxygen Demand (ความต้องการออกซิเจนของน้ำทิ้งโดยวิธีทางเคมี)
pH (พีเอช)	=	ค่าความเป็นกรด-เบส
TDS	=	Total Dissolved Solids (ของแข็งทั้งหมดที่ละลายนำ)
TS	=	Total solids (ของแข็งทั้งหมด)
TSS	=	Total suspended solids (ของแข็งแขวนลอยทั้งหมด)

การเปรียบเทียบการกำจัดสีข้อมผ้าในน้ำทึ้งจากโรงงานข้อมผ้า โครงการพัฒนาดอยตุง
อันเนื่องมาจากพระราชดำริ ด้วยผงเมล็ดมะรุมและถ่านบิทูมินัสเชิงพาณิชย์
และการประยุกต์ใช้ผงเมล็ดมะรุมในกระบวนการໂຄແອຄງເລ້ັນ

**Comparision of Dyes Removal from Textile Wastewater from Doi Tung
Development Project between Moringa Seed Powder and Commercial Granular
Activated Bituminous Coal Based Carbon and The Application
of Moringa Seed Powder on Coagulation**

คำนำ

น้ำทึ้ง โรงงานข้อมผ้า ก่อให้เกิดน้ำทึ้งปริมาณมากและบำบัดได้ยาก เนื่องจากเป็นน้ำทึ้งที่มีความเข้มข้นของสีข้อมสูง รวมทั้งมีสารอินทรีย์และสารอนินทรีย์เจือปนอยู่ในปริมาณมาก หากปล่อยลงสู่แหล่งน้ำสาธารณะโดยไม่มีการกำจัดความเข้มข้นของสีข้อมก่อน จะมีผลต่อการผ่านของแสงอาทิตย์ลงสู่ไดผิวน้ำ ซึ่งจะขัดขวางกระบวนการสังเคราะห์แสงของพืชนำเสนอจากนี้ยังเป็นการทำลายทศนิยภาพ ทำให้แหล่งน้ำเน่าเสีย และยังอาจเป็นอันตรายต่อสิ่งมีชีวิตที่อาศัยอยู่ในแหล่งน้ำทึ้ง โดยตรงหรือโดยอ้อม อีกทั้งอาจทำให้ระบบนิเวศเสียสมดุลอีกด้วย

การกำจัดน้ำเสียจากโรงงานข้อมผ้ามีหลายวิธี เช่น การย่อยสลายโดยกระบวนการทางชีววิทยา (biodegradation) การตกตะกอนด้วยสารเคมี (chemical coagulation) การออกซิเดชัน (oxidation) การแลกเปลี่ยนอิオン (ion exchange) เป็นต้น ซึ่งแม้ว่าจะสามารถทำได้หลายวิธี แต่ก็ยังคงประสบกับปัญหาในเรื่องค่าใช้จ่ายต้นทุนที่สูง ดังนั้น กระบวนการดูดซับ (adsorption) จึงเป็นทางอีกทางเลือกหนึ่งที่น่าสนใจ ในการวิจัยครั้งนี้ได้เลือกมะรุม ซึ่งเป็นวัสดุชีวภาพที่หาได้ง่าย อีกทั้งยังเป็นวัสดุที่สามารถย่อยสลายได้ตามธรรมชาติ นำมาทดลองใช้เป็นตัวดูดซับและเปรียบเทียบประสิทธิภาพการดูดซับกับการใช้ถ่านบิทูมินัสเชิงพาณิชย์ มาดูดซับสีข้อมในสารละลายสีข้อมมาตรฐานในน้ำทึ้งจากโรงงานข้อมผ้า โครงการพัฒนาดอยตุง ในระดับห้องปฏิบัติการเพื่อเป็นแนวทางเลือกในการพัฒนาเทคโนโลยีการกำจัดสีข้อมผ้าในน้ำทึ้งและสารมลพิษของโรงงานฟอกข้อมอื่นๆต่อไป

วัตถุประสงค์

- เพื่อศึกษาสภาวะที่เหมาะสมในการดูดซับจากผงเมล็ดมะรุมและถ่านบิทูมินัสเชิงพาณิชย์ในการดูดซับสีข้อมจากน้ำทึ่ง โรงงานข้อมผ้า โครงการพัฒนาดอยตุง อันเนื่องมาจากพระราชดำริ
- เบริ่งเทียนประลิทิพเมล็ดมะรุมและถ่านบิทูมินัสเชิงพาณิชย์ของตัวดูดซับในการกำจัดสีข้อมผ้าจากน้ำทึ่ง โรงงานข้อมผ้า โครงการพัฒนาดอยตุง อันเนื่องมาจากพระราชดำริ
- การประยุกต์ใช้ผงเมล็ดมะรุมในกระบวนการโภเօคคูเลชัน

การตรวจเอกสาร

1. มะรุน (*Moringa oleifera*)

1.1 ลักษณะของมะรุน

ชื่อวิทยาศาสตร์: *Moringa oleifera* Lam.

วงศ์: Moringaceae

ชื่อสามัญ: Horse radish tree, Drumstick



ภาพที่ 1 มะรุน(*Moringa oleifera*)

ลักษณะ: เป็นไม้บีบีนต้นขนาดกลาง สูง 5-10 เมตร ใบประกอบแบบขนนก ชนิดที่แตกใบย่อย 3 ชั้น ยาว 20-40 เซนติเมตร ออกเรียงแบบสลับใบย่อยยาว 1-3 เซนติเมตร รูปไข่ป้อมปลายใบและฐานใบมนผิวในด้านล่างสีอ่อนกว่าและมีขันเล็กน้อย ในย่อยยาวขนาดที่เป็นใบอ่อน ดอกเป็นช่อสีขาว ออกที่ซอกของกิ่งเดี่ยว มี 5 กิ่ง กลีบดอก 5 กลีบแยกกัน ผลเป็นฝัก เป็นอโภคสีเขียว มีส่วนกอดและส่วนบน เป็นระยะๆ ตามความยาวของฝัก เป็นเหลี่ยม ฝักยาว 20-50 เซนติเมตร เมล็ดเป็นรูปสามเหลี่ยม มีปีกบางหุ้ม 3 ปีก เส้นผ่าศูนย์กลาง 1 เซนติเมตร มะรุมเป็นไม้ที่ปลูกง่าย เจริญได้ดีในดินทุกชนิด ต้องการน้ำและความชื้นในปริมาณปานกลาง (สถาบันส่งเสริมการแพทย์แผนไทย มูลนิธิการแพทย์แผนไทยพัฒนา, 2547)

ส่วนประกอบ: มะรุมมีถิ่นกำเนิดในประเทศแคนาดาและเยอรมันพบริเวณที่ตั้งตระหง่านของทวีปอเมริกา จากการศึกษาโดยนักวิทยาศาสตร์ชาวเยอรมันพบว่า มะรุมเป็นหนึ่งในบรรดาพืชหลายชนิดที่มีสารจำพวก Polyelectrolyte ออยู่ในเมล็ด ซึ่งสารดังกล่าวมีคุณสมบัติในการช่วยตอกตอกอน จากการศึกษาคุณสมบัติของพืชในตระกูล Moringaceae พืชตระกูลนี้จะมี *Moringa* เป็น genus เพียง genus เดียวในตระกูลซึ่ง *Moringa* นี้มีอยู่ 14 species ซึ่งมีอยู่ 6 species ซึ่งให้สารตอกตอกอนได้ดี ทั้ง 6 species ได้แก่ *M.Oleifera*, *M.peregrina*, *M.stenopetala*, *M.longituba*, *M.drouhardii* และ *M.ovalifolia* (กัญญาทิตา, 2531)

สำหรับประเทศไทยมะรุมพื้นเมืองที่ปลูกโดยทั่วไปเป็นพาก *M.Oleifera* ซึ่งมีสายพันธุ์มาจากอินเดียและเพื่อการขยายพันธุ์ สามารถเจริญเติบโตได้ดีในทุกสภาพแวดล้อม จึงมีแนวโน้มที่จะนำมะรุมมาใช้เพื่อเป็นสารตอกตอกอนและช่วยในการกำจัดน้ำเสีย และจากการศึกษาคุณค่าทางโภชนาการของใบมะรุมและฝักมะรุม โดยการนำฝักดิบ ใบ และผงใบแห้ง มาวิเคราะห์ จาก 100 กรัมของส่วนที่กินได้ พบว่ามีปริมาณธาตุอาหารต่างๆดังแสดงในตารางที่ 1

ตารางที่ 1 คุณค่าทางโภชนาการของส่วนต่างๆของมะรุม : 100 กรัม

Nutritional Analysis	Pods	Leaves	Leaf Powder
Moisture (%)	86.9	75	7.5
Calories	26.0	92.0	205.0
Protein (g)	2.5	6.7	27.1
Fat (g)	0.1	1.7	2.3
Carbohydrate (g)	3.7	13.4	38.2

ตารางที่ 1 (ต่อ)

Nutritional Analysis	Pods	Leaves	Leaf Powder
Fiber (g)	4.8	0.9	19.2
Minerals (g)	2.0	2.3	-
Calcium (mg)	30.0	440.0	2003.0
Magnesium (mg)	24.0	24.0	368.0
Phosphorous (mg)	110.0	70.0	204.0
Potassium (mg)	259.0	259.0	1324.0
Copper (mg)	3.1	1.1	0.6
Iron (mg)	5.3	0.7	28.2
Oxalic acid (mg)	10.0	101.0	0.0
Sulphur	137	137	870
Vitamin A - B carotene (mg)	0.1	6.8	16.3
Vitamin B – Choline (mg)	423.0	423.0	-
Vitamin B1 – Thiamin (mg)	0.05	0.21	2.6
Vitamin B2 – Riboflavin (mg)	0.07	0.05	20.5
Vitamin B3 – Nicotinic Acid (mg)	0.2	0.8	8.2
Vitamin C – Ascorbic Acid (mg)	120	220.0	17.3
Vitamin E – Tocopherols Acetate (mg)	-	-	113.0
Arginine (mg)	360	406.6	1325
Histidine (mg)	110	149.8	613
Lysine (mg)	150	342.4	1325
Tryptophan (mg)	80	107	425
Phenylalanine (mg)	430	310.3	1388
Methionine (mg)	140	117.7	350
Threonine (mg)	390	117.7	1188
Leucine (mg)	650	492.2	1950
Isoleucine (mg)	440	299.6	825
Valine (mg)	540	374.5	1063

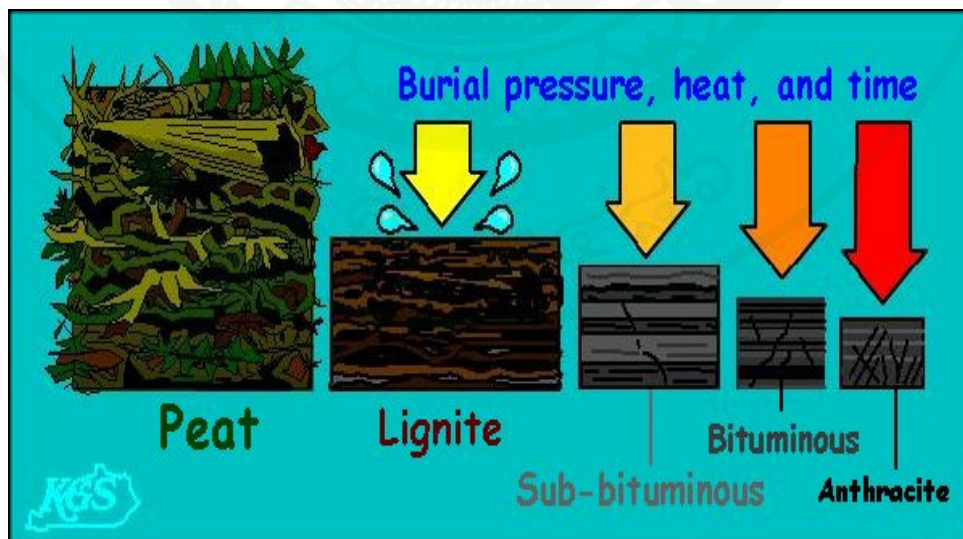
ที่มา : ภัณฑ์พิดา (2531)

2. ถ่านหิน

ถ่านหิน กือ หินตะกอนชนิดหนึ่งที่เกิดจากการตกตะกอนสะสมของซากพืชในยุคดึกดำบรรพ์เป็นระยะเวลานานหลายล้านปี จนตะกอนนั้นได้เปลี่ยนสภาพไป และเมื่องค์ประกอบส่วนใหญ่เป็นชาตุคาร์บอน โดยมีชาตุอื่นๆ ทั้งที่เป็นก้าชและของเหลวปนอยู่ด้วย ในสัดส่วนที่น้อยกว่าและเป็นเรื่องเพลิงสามารถถูกไฟได้ มีสีดำคลอ่อนจนถึงสีดำ มีห้องชนิดผิวนันและผิวด้านน้ำหนักเบา ถ่านหินประกอบด้วยชาตุที่สำคัญ 4 อย่าง ได้แก่ คาร์บอน ไฮโดรเจน ในไตรเจน และออกซิเจน นอกจากนี้ มีชาตุหรือสารอื่น เช่น ภัมภัณฑ์ เลือปนเล็กน้อย ถ่านหินที่มีจำนวนคาร์บอนสูงและมีชาตุอื่น ๆ ต่ำ เมื่อนำมาเผาจะให้ความร้อนมาก ถือว่าเป็นถ่านหินที่มีคุณภาพ

2.1 ประเภทของถ่านหิน

การเกิดถ่านหินมีความหลากหลายทั้งจากปัจจัยของแหล่งกำเนิด ระยะเวลา และสภาพแวดล้อม ทำให้ถ่านหินจากแหล่งกำเนิดที่ต่างกันมีองค์ประกอบและคุณสมบัติต่างกัน ถ่านหินสามารถจำแนกตามอายุการเกิด หรือปริมาณคาร์บอนที่เป็นองค์ประกอบได้เป็น 5 ประเภท กือ พีต (Peat), ลิกไนต์ (Lignite), ชับบิทูมินัส (Subbituminous), บิทูมินัส (Bituminous) และ แอนโกรไซต์ (Anthracite) ดังแสดงในภาพที่ 2



ภาพที่ 2 การจำแนกถ่านหินแต่ละประเภท

2.2 ถ่านบิทูมินัสเชิงพาณิชย์

ลักษณะสมบัติของถ่านบิทูมินัสเชิงพาณิชย์ที่ขายในห้องตลาด ลักษณะโดยทั่วไป ที่ใช้ในการพิจารณาเลือกใช้ถ่านบิทูมินัสเชิงพาณิชย์ ได้แก่ สมบัติทางกายภาพและสมบัติทางเคมี โดยลักษณะทางกายภาพที่สำคัญของถ่านบิทูมินัสเชิงพาณิชย์ ดังแสดงในตารางที่ 2

ถ่านบิทูมินัสเชิงพาณิชย์ที่ใช้ในการทดลอง จะมีลักษณะเป็นเกล็ดสีดำ มีความ มันวาว ผ่านการทดสอบมาตรฐานตาม American Society for Test and Material (ASTM) ประ โยชน์ของถ่านบิทูมินัสเชิงพาณิชย์ใช้เป็นสารคุณซับกลิ่น สี ในเครื่องกรองน้ำ

ตารางที่ 2 ลักษณะจำเพาะของถ่านบิทูมินัสเชิงพาณิชย์

สมบัติทางกายภาพ	ค่าจำเพาะ
Particle Size Distribution : +8(2.36mm.)	MAX. 5%
(ASTM MESH MM.) 8*30 (2.36-0.60mm.)-30(0.60 mm)	MIN. 90%,MAX.5%
Apparent Density (g/cc)	MIN. 046
Moisture (%w/w)(As packed)	MAX. 8
Ash (%w/w)(As packed)	MAX. 14
pH	9-11
Surface Aere (m ² /g)(Calculated)	MIN. 850
Iodine Number (mg/g)(AWWAB604)	800-900
Carbon Terachoride Adsorption (%w/w)(ASTM 3467-88)	MIN. 40
Hardness Number (%)(ASTM 3467-79)	MIN. 90
Packing : 25 kgs./bag (packed in paper sacks with a polythene inner bag)	
"Quality Guaranteed"	

ที่มา : ปราโมทย์ (2551)

3. สีย้อมผ้า

3.1 คุณลักษณะของสีย้อม

สีย้อม (Dyestuffs) คือ สารให้สีที่สามารถจับติดวัสดุด้วยตัวเองหรือด้วยการซักนำโดยปฏิกริยาในกระบวนการย้อมหรือกระบวนการพิมพ์ ซึ่งเป็นสีย้อมชนิดหนึ่งที่ใช้ในการย้อมเส้นใยของผ้า อาจจะเป็นสารอินทรีย์หรือสารอนินทรีย์ มีลักษณะเป็นผลึกหรือผงละเอียด สีย้อมเป็นสารที่ละลายน้ำได้ หรือสามารถทำให้ละลายน้ำได้ ดูดซึดเส้นใยได้ สีย้อมที่ผลิตขึ้นมาไม่มากมายหลายชนิด ขึ้นอยู่กับความเหมาะสมสมกับเส้นใย และกระบวนการย้อมที่มีลักษณะแตกต่างกันไป การนำสีย้อมมาใช้ให้ได้ผลดีขึ้นอยู่กับจำนวนการรวมตัวของสีกับเส้นใย ซึ่งต้องมีมากกว่าการรวมตัวของสีกับน้ำ โดยจะต้องทำให้เกิดสภาพที่ไม่เลกูลของสีย้อมจัดเรียงตัวกันในลักษณะที่ทำให้เกิดการดูดติด (substantivity) กับเส้นใยแล้วเกิดพันธะยึดติดกันแน่น

อิทธิพลเชิงเคมี 4 ชนิดที่ทำให้สีดูดติดเส้นใย คือ พันธะไฮdroเจน (Hydrogen Bond) แรงแวนเดอร์วัลส์ (Vanderwaals' Force) แรงไอโอน (Ionic Force) และพันธะโควาเลนท์ (Covalent Bond) การดูดติดกันระหว่างโมเลกุลของสีย้อม กับโมเลกุลของเส้นใย อย่างน้อยต้องประกอบไปด้วยแรง 2 ชนิดขึ้นไป ซึ่งบางครั้งก็อาจเกิดแรงทั้ง 4 ชนิดผสมผสานกัน สำหรับแรงยึดติดทางเคมีที่จะให้การยึดติดที่ดีที่สุด ได้แก่ พันธะโควาเลนท์

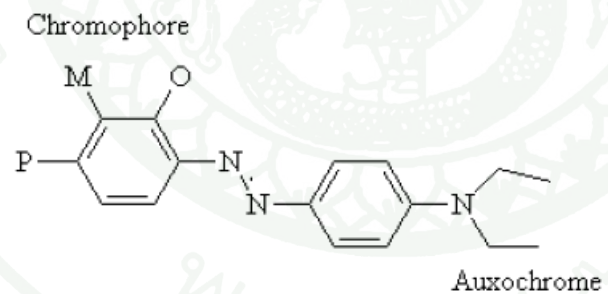
สีย้อมที่มีโครงสร้างทางโมเลกุลแตกต่างกันจะมีความสามารถในการดูดกลืนพลังงานแสงที่ความยาวคลื่นที่ต่างกัน สามารถแบ่งประเภทของสีย้อมออกเป็น 2 ประเภทใหญ่ๆ คือ

1) สีย้อมธรรมชาติ เป็นสีย้อมที่มาจากแหล่งธรรมชาติโดยเฉพาะพืช และสัตว์ สีย้อมที่มาจากการสกัดจากพืช เช่น สีน้ำเงินจากต้นคราม สีเหลืองจากเนื้อไไม้ออก ส่วนสีย้อมที่มาจากการสัตว์ เช่น สีม่วงแดงของครัวสีม่วงจากหอยสังข์หนาม เป็นต้น

2) สีย้อมสังเคราะห์ สีย้อมประเภทนี้เป็นสีย้อมที่เกิดจากการทาราบทางเคมีที่ได้จากน้ำมันปิโตรเลียม และเมื่อปิโตรเลียมผ่านการสกัดแล้วจะได้ไฮdroคารบอน ได้แก่ เบนซิน และไซลิน ซึ่งเป็นสารไฮdroคารบอนที่ไม่อิ่มตัว สารเหล่านี้จะถูกเปลี่ยนสภาพให้เป็นสารตัวกลาง และจากสารตัวกลางจะเปลี่ยนเป็นสีย้อมด้วยเทคนิคต่างๆ (ภาวี, 2545)

3.2 การเกิดสีของสีข้อม

สีของสีข้อมสังเคราะห์ที่ปราศภูมิอกมาทำให้ตามนุxyzปกติมองเห็นได้นั้นเกิดจากองค์ประกอบ 2 ส่วน กือ โครโนฟอร์ (Chromophore) ซึ่งเป็นกลุ่มอะตอมของสารประกอบอนินทรีย์ที่มีความสามารถดูดคลื่นแสงในช่วงที่มองเห็นได้ (พลังงานแสงที่สายตามนุxyzมองเห็นได้จะมีความยาวคลื่นช่วง 400-700 นาโนเมตร) โดยโครโนฟอร์มีอยู่ด้วยกันหลายกลุ่ม กือ กลุ่มอะโซ (Azo Group) กลุ่มแอนตราควีโนน (Anthraquinone Group) เป็นกลุ่มสารที่นิยมใช้มากที่สุดและกลุ่มอื่นๆ เช่น กลุ่มอินดิโก (Indigo Group) กลุ่มเบนโซดิฟูแรนโนน (Benzodifuranone Group) กลุ่มไนโตรโซ (Nitroso Group) กลุ่มไนโตร (Nitro Group) กลุ่มเอธิลีน (Ethylene Group) กลุ่มคาร์บอนิล (Caboonyl Group) กลุ่มคาร์บอนิล-ไนโตรเจน (Caboonyl-Nitrogen Group) กลุ่มซัลเฟอร์ (Sulphur Group) และกลุ่มฟอร์มาซาน (Formazan Group) สีข้อมที่ประกอบด้วยโครโนฟอร์อย่างเดียวจะให้เพียงสีอ่อนๆ เท่านั้น เมื่อต้องการสีเข้มจึงต้องมีการเพิ่มโครงสร้างทางเคมีของสารกลุ่มอื่นๆ และเรียกสารกลุ่มนี้ว่า ออกไซโครม (Auxochromes) เป็นหมู่ฟังก์ชันที่สร้างความเข้มและความสว่างของสีมีสมบัติการละลายน้ำ และ/หรือปรับปรุงสมบัติในการดูดติดกับเส้นใยให้กับสีข้อม หมู่ที่ละลายน้ำ เช่น $-SO_3Na$, $-COONa$ และ $-OH$ เป็นต้น สูตรโครงสร้างของโครโนฟอร์และออกไซโครมของสีข้อม ดังแสดงในภาพที่ 3

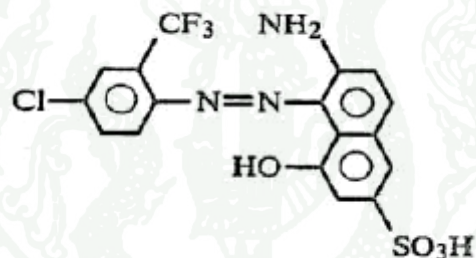


ภาพที่ 3 สูตรโครงสร้างของโครโนฟอร์และออกไซโครมของสีข้อม

3.3 ประเภทของสีข้อม

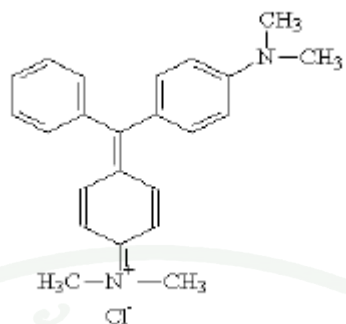
สีข้อมที่ใช้ในโรงงานอุตสาหกรรมสิ่งทอมีมากหลายชนิด ตามชนิดของเส้นใยหรือผ้าที่จะนำไปข้อม สีข้อมอาจจำแนกได้หลายประเภท ตามลักษณะทางกายภาพ โดยแบ่งออกเป็นสารสีละลายน้ำได้และสารสีไม่ละลายน้ำ หรือจำแนกตามส่วนประกอบทางเคมี ซึ่งวิธีจำแนกสีข้อมที่ได้รับความนิยมและเข้าใจง่ายได้แก่ การจำแนกสีข้อมตามลักษณะการใช้งาน ซึ่งแบ่งสีข้อมทั้งหมดออกเป็น 11 ประเภท มีรายละเอียดดังต่อไปนี้

1) สีแอดซิด (Acid Dyes) สีชนิดนี้เกิดจากสารประกอบอินทรีย์ โมเลกุลสีมีประจุลบละลายน้ำได้ดี ตัวใหญ่เป็นกลีอของกรดกำมะถัน สำหรับการเกะติดของสีข้อมประเภทนี้ในเส้นใยอาศัยแรงดึงดูดระหว่างประจุลบบนโมเลกุลของสีกับประจุบวกบนโมเลกุลของเส้นใย และสีกลุ่มนี้มักมีกลุ่มชัลฟอนิก (Sulfonic Group) ซึ่งเป็นตัวให้ประจุลบในน้ำ ดังแสดงในภาพที่ 4



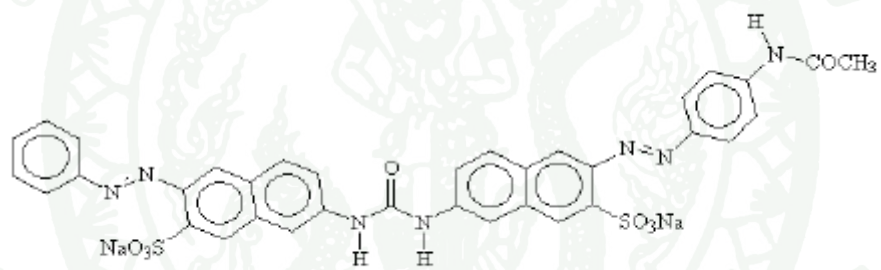
ภาพที่ 4 สูตรโครงสร้างโมเลกุลของสีแอดซิด

2) สีเบสิก (Basic Dyes) หรือบางครั้งเรียกว่าสีข้อมชนิดนี้ว่า สีแคทไออ้อนิก (Cationic Dyes) มีคุณสมบัติละลายน้ำได้ดี โมเลกุลสีมีประจุบวก โดยนิยมใช้ในการย้อมเส้นใยอะคริลิก โปรตีน และไนلون ซึ่งในการย้อมด้วยสีเบสิกจะให้สีที่สดใสมาก การเกะติดของสีข้อมในเส้นใยอาศัยแรงดึงดูดระหว่างประจุบวกบนสีข้อมกับประจุลบบนเส้นใย สีข้อมกลุ่มนี้มักมีหมู่เอมีน (Amine Group) ในโมเลกุล ดังแสดงในภาพที่ 5



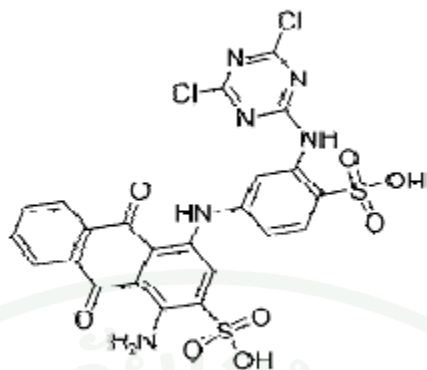
ภาพที่ 5 สูตรโครงสร้าง โนเมเลกุลของสีเบสิก

3) สีไดเร็กท์ (Direct Dyes) หรือเรียกว่าสีข้อมฝ้าย สีชนิดนี้ส่วนใหญ่เป็นสารประกอบอะโซที่มีน้ำหนักโนเมเลกุลสูง มีหมู่กรดชัลฟอนิกที่ทำให้สีข้อมสามารถละลายนำไปได้ มีประจุลบ ดังแสดงในภาพที่ 6



ภาพที่ 6 สูตรโครงสร้าง โนเมเลกุลของสีไดเร็กท์

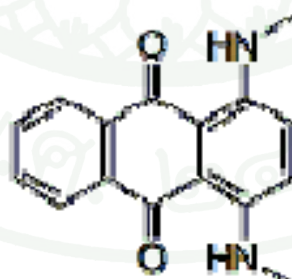
4) สีรีแอกทีฟ (Reactive Dyes) เป็นสีที่ละลายนำไปได้ มีประจุลบ เมื่ออยู่ในน้ำจะมีสมบัติเป็นเบส สีชนิดนี้หมายความว่าการข้อมเส้นใยเซลลูโลสมากที่สุด เนื่องจากโนเมเลกุลของสีจะยึดจับกับหมู่ไฮดรอกไซด์ (OH^-) ของเซลลูโลสและเชื่อมโยงติดกันด้วยพันธะโควาเลนท์ในสภาวะที่เป็นบนเป็นสารประกอบเคมีชนิดใหม่กับเซลลูโลส ดังแสดงในภาพที่ 7



ภาพที่ 7 สูตรโครงสร้างโมเลกุลของสีรีแอกทีฟ

5) สีดิสเพร์ส (Disperse Dyes) เป็นสีที่ละลายน้ำได้ต่ำ สามารถขึ้นสีในสังเคราะห์ได้แก่ เส้นใยอะซิเตท เส้นใยพอลิเอสเทอร์ ในลอน และอะคริลิก ได้ดีในสภาพวัสดุที่ไม่ละลายน้ำแต่มีสมบัติกระจายได้ดี

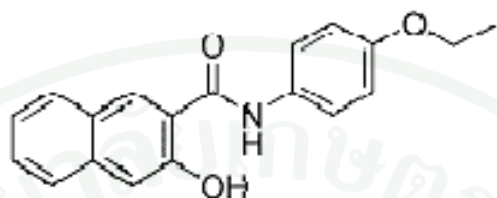
สีดิสเพร์ส แบ่งออกได้เป็น 2 กลุ่ม โดยพิจารณาอยู่ในตัวสีข้อมูลแก่ สีข้อมะโ-ts (Azo Dyes) และสีข้อมแอมมิโนแอนตราควินอน (Amino Antraquinone) ทั้งสองกลุ่มประกอบด้วยอนุพันธ์ของเอทานอลามีน (Ethanolamine; $\text{NH}_2\text{CH}_2\text{CH}_2\text{CH}_3$) หรืออนุพันธ์ที่คล้ายคลึงกันดังแสดงในภาพที่ 8



ภาพที่ 8 สูตรโครงสร้างโมเลกุลของสีดิสเพร์ส

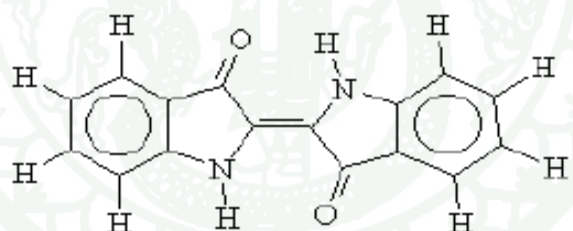
6) สีอะโซอิก (Azoic Dyes) สีข้อมูลนี้ไม่สามารถละลายน้ำได้จากการสังเคราะห์ขึ้นภายในเส้นใยด้วยปฏิกิริยาเคมีระหว่างเกลือไนโตรเจนกับสารประกอบที่เหมาะสม

เกิดเป็นสีข้อมที่มีสูตรโครงสร้างของสีอะโซอิก สีอะโซอิกใช้ข้อมเส้นไปได้ทั้งเซลลูโลส ในลอน หรือ อะซิเตท สีอะโซอิกเป็นสีที่ทนทานต่อการซักแต่ไม่ทานทานต่อการขัดถู ดังแสดงในภาพที่ 9



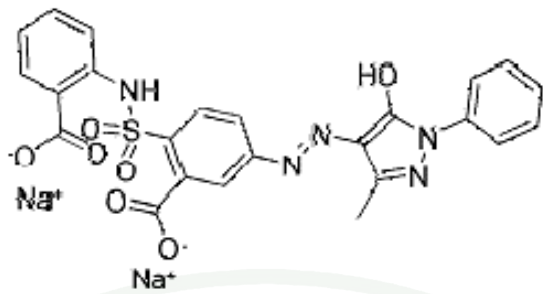
ภาพที่ 9 สูตรโครงสร้างโมเลกุลของสีอะโซอิก

7) สีแเว็ต (Vat Dyes) เป็นสีที่ไม่สามารถละลายนำได้ โดยมีกลุ่มคีโตัน (Ketone Group) เป็นสีข้อมที่มีส่วนประกอบทางเคมีที่สำคัญอยู่ 2 ชนิด คือ สีอินติกอยด์และสีแอนทรากวิโน ดังแสดงในภาพที่ 10 และส่วนใหญ่ใช้ข้อมในเส้นใยฝ้าย



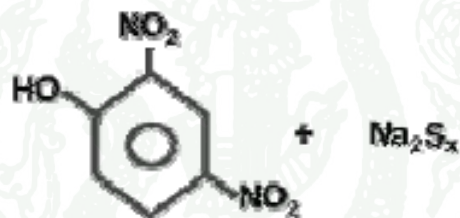
ภาพที่ 10 สูตรโครงสร้างโมเลกุลของสีแเว็ต

8) สีมอร์แคนท์หรือโครม (Mordant or Chrome Dyes) สีข้อมชนิดนี้ต้องใช้สารช่วยในการติดสีเพื่อให้เกิดการติดสีบนเส้นใย สีมอร์แคนท์เป็นสีที่มีโมเลกุลขนาดใหญ่ ซึ่งเกิดจากสีมอร์แคนท์หลายๆ โมเลกุลจับกับโลหะแล้วละลายนำได้จึงนำมาใช้ในการย้อมได้ง่าย ซึ่งใช้ข้อมเส้นใยโปรตีนและในลอนได้ดี ดังแสดงในภาพที่ 11



ภาพที่ 11 สูตรโครงสร้างโมเลกุลของสีมอร์แคนท์

9) สีซัลเฟอร์ (Sulphur Dyes) เป็นสีที่ไม่ละลายน้ำ มีกำมะถันเป็นองค์ประกอบในส่วนที่เป็นโครงโภคทรัพย์และส่วนของสายโซ่เพล็กซ์ไฟฟ์ ดังแสดงในภาพที่ 12 เมื่อทำการย้อมต้องรีดิวส์สีเพื่อให้โมเลกุลอยู่ในสภาพที่ละลายน้ำได้ แต่ซัลเฟอร์บางชนิดที่ผลิตออกมากำหน่ายในรูปที่ถูกรีดิวส์จะละลายน้ำได้ ส่วนใหญ่นิยมน้ำสีซัลเฟอร์มาย้อมฝ้าย สีจะติดทนนาน และเป็นสีที่มีราคาถูกแต่สีที่อ่อนจะไม่ทนทานต่อการซัก



ภาพที่ 12 สูตรโครงสร้างโมเลกุลของสีซัลเฟอร์

10) สีออกซิเดชัน (Oxidation Dyes) เป็นสีที่สามารถออกซิไดซ์ให้อยู่ในรูปที่ละลายน้ำโดยจะเกิดเป็นคลออลอยด์หลังจากปฏิกิริยาในน้ำ โดยสีจะติดแน่นชึ้งอาศัยปฏิกิริยาการตกตะกอนผลึกภายในเส้นใย สีย้อมนี้เมื่อถูกออกซิไดซ์ในเส้นใยจะทำปฏิกิริยาเกิดเป็นโมเลกุลขนาดใหญ่โดยส่วนใหญ่แล้วนิยมน้ำมาใช้สำหรับย้อมฝ้ายและขนสัตว์

11) สีอินเกรน เป็นสีที่ไม่ละลายน้ำไดจากการสังเคราะห์ขึ้นในเส้นใยด้วยการทำปฏิกิริยาระหว่างสารตัวกลางในเส้นใยที่ไม่มีสีอะโซชิอิค เช่น สีฟทาโล โซบานิน จะเกิดเป็นคลออลอยด์หลังจากเกิดปฏิกิริยากับน้ำ โดยสีย้อมชนิดนี้ใช้สำหรับย้อมฝ้าย

ดังนั้นในการเลือกใช้สีข้อมูลจึงมีความสำคัญเป็นอย่างมากในการข้อมูล เพราะวัตถุที่ต้องการข้อมูลอาจสามารถข้อมูลด้วยสีเพียงชนิดเดียวหรือข้อมูลด้วยสีหลากหลายชนิดที่แตกต่างกัน เช่น (1) เส้นไขเซลลูโลส ได้แก่ ฝ่าย ลินิน ปอ ป่าน โดยส่วนใหญ่จะข้อมูลด้วยสีไดเร็กท์ สีรีแอคทิฟ สีแพร์ต และสีซัลเฟอร์ เป็นต้น (2) เส้นไขโปรตีน ได้แก่ ไทด์ ขนสัตว์ จะข้อมูลด้วยสีแอเซชิต และสีเบสิก (3) เส้นไขสังเคราะห์ ได้แก่ พอลิเออสเทอเรชีน อะคริลิก โดยส่วนใหญ่จะข้อมูลด้วยสีแอเซชิต สีรีแอคทิฟ และสีเบสิก เป็นต้น

3.4 ผลกระทบของสีข้อมูลที่ต่อสิ่งแวดล้อม

น้ำเสียจากโรงงานข้อมูลผ้าจะมีผลกระทบต่อสิ่งแวดล้อม โดยเฉพาะแหล่งน้ำในธรรมชาติดังต่อไปนี้

1) สารอินทรีย์ ทำให้ปริมาณออกซิเจนที่ละลายน้ำในน้ำ (DO) ลดลงซึ่งมีผลทำให้สิ่งมีชีวิตที่อาศัยอยู่ในน้ำตายเนื่องจากขาดออกซิเจน ทำให้แหล่งน้ำขาดออกซิเจน ทำให้เกิดกระบวนการสลายตัวเอง (Self Purification) ได้ ทำให้แหล่งน้ำเกิดกลิ่นเหม็นและไม่สามารถใช้แหล่งน้ำให้เกิดประโยชน์ในทางเศรษฐกิจ ได้ อีกทั้งสารอินทรีย์บางตัวอาจหากสารน้ำสลายตัวได้ยากก็จะเกิดการสะสมอยู่ในระบบนิเวศ (Bio Accumulation) และอาจเป็นอันตรายต่อมนุษย์ทั้งทางตรงและทางอ้อม

2) ค่าความเป็นค่าด่าง จะทำให้น้ำเสียมีค่าความเป็นกรดเป็นค่าด่างที่สูง หากปล่อยลงสู่แหล่งน้ำโดยตรงจะเป็นอันตรายต่อสิ่งมีชีวิตในน้ำ โดยทั่วไปสิ่งมีชีวิตจะสามารถดำเนินชีวิตอยู่ในน้ำที่มีสภาวะเป็นกลางช่วงความเป็นกรดเป็นค่าด่างประมาณ 6.0-9.0

3) อุณหภูมิของน้ำทึบที่สูง จะมีผลทำให้เป็นอันตรายต่อสิ่งมีชีวิตที่อาศัยอยู่ในน้ำ ทำให้ปริมาณออกซิเจนที่ละลายน้ำลดลง อีกทั้งยังช่วยเพิ่มอัตราการเจริญเติบโตของจุลทรรศ์อีกด้วย

4) โลหะหนัก และของแข็งที่ละลายน้ำบางชนิด อาจทำให้สิ่งมีชีวิตที่อาศัยอยู่ในน้ำเป็นโรคได้ อีกทั้งโลหะหนักบางเป็นสารสะสมในระบบนิเวศอาจเป็นอันตรายต่อสุขภาพของมนุษย์

5) สี เป็นการทำลายทัศนิยภาพของแหล่งน้ำ และทำให้ปริมาณแสงที่จะส่องผ่านลงสู่แหล่งน้ำลดลง ส่งผลให้พืชน้ำไม่สามารถสังเคราะห์แสงได้ ซึ่งจะทำให้ปริมาณออกซิเจนในน้ำลดลง

6) ของแข็งแหวนลอย เป็นสิ่งที่ช่วยเพิ่มปริมาณสารอินทรีย์ในแหล่งน้ำ สามารถตกตะกอนอาจทำให้แหล่งน้ำดีนิ่นได้

3.5 การกำจัดสีในน้ำทิ้ง

น้ำทิ้งจากการข้อมผ้าในโรงงานฟอกข้อมน้ำ ส่วนใหญ่จะมีสีข้อมและสารเคมีซึ่งเป็นส่วนที่เหลือตกค้างอยู่ในน้ำที่ใช้ในกระบวนการผลิตเจือปน และจะถูกปล่อยลงแหล่งน้ำทิ้งซึ่งก่อให้เกิดความรุนแรงเกียจต่อคนทั่วไป ตามความในประกาศกระทรวงอุตสาหกรรมมาตรฐานน้ำทิ้งจากโรงงานอุตสาหกรรม (กรมโรงงานอุตสาหกรรม, 2542) กำหนดให้สีในน้ำทิ้งไม่เป็นที่น่ารังเกียจ ดังนั้นน้ำทิ้งจากโรงงานฟอกข้อมก่อนปล่อยออกจากโรงงาน ต้องผ่านระบบบำบัดเพื่อทำการกำจัดสารต่างๆ รวมทั้งสีที่ตกค้างก่อน ซึ่งวิธีการกำจัดสีมีหลายวิธีดังนี้

3.5.1 การตกตะกอนด้วยสารเคมี (chemical coagulation)

เป็นกระบวนการกำจัดสีที่ใช้กันอย่างกว้างขวาง โดยมักใช้ร่วมกับการปรับค่าความเป็นกรดด่าง และสามารถใช้เป็นกระบวนการกำจัดขั้นต้น ก่อนกระบวนการกำจัดทางชีวิทยาสารตกตะกอนที่นิยมใช้คือ ปูนขาว สารส้ม เฟอร์รัสคลอไรด์ หรือเฟอร์รัสเซลไฟฟ์ เป็นต้นการกำจัดสีโดยกระบวนการตกตะกอนด้วยสารส้ม เป็นผลจากการทำให้โมเลกุลของสีถูกดูดซับบนอนุภาคของสารส้ม ทำให้เกิดตะกอนของสีจมตัวลงในน้ำทิ้ง จากนั้นทำให้น้ำทิ้งเป็นกลางก่อนปล่อยลงท่อน้ำทิ้ง

เทคนิคนี้สามารถกำจัดสีออกได้อย่างมีประสิทธิภาพ แต่เนื่องจากน้ำทิ้งจะมีลักษณะแตกต่างไปตามชนิดของโมเลกุลสีข้อม ถ้าสีข้อมมีโมเลกุลเล็ก เช่น สีประเภทสีเอสิดสีรี แอคทีฟ การเกิดตะกอนของสีโดยใช้สารส้มจะไม่สามารถทำได้ ดังนั้นต้องปรับปรุงประสิทธิภาพของปฏิกิริยาการตกตะกอนให้เป็นไปอย่างสมบูรณ์ โดยใช้สารช่วยให้เกิดการรวมตัวของตะกอน เช่น โพลีอะลีกโตรไโลที่ ซึ่งต้องใช้ในปริมาณที่เหมาะสม เนื่องจากความเข้มข้นของโพลีอะลีกโตรไโลที่ที่เหลืออยู่ในน้ำทิ้งจะส่งผลเสียต่อกระบวนการไนตริฟิเกชัน

3.5.2 กระบวนการกำจัดทางชีววิทยา (biological treatment)

กระบวนการนี้อาศัยจุลินทรีย์ในการลดสี โดยจุลินทรีย์ที่เติบโตขึ้นมาใหม่จะมีการดูดซับสีไปด้วยทำให้สามารถกำจัดสีได้แบ่งออกเป็น 2 ระบบ คือ

(1) ระบบตะกอนเร่ง (activated sludge) เป็นกระบวนการกำจัดน้ำทิ้งทางชีววิทยา ซึ่งอาศัยจุลินทรีย์ในการทำลาย หรือเปลี่ยนรูปของมวลสารต่างๆ ที่มีอยู่ในน้ำทิ้ง ให้มีค่าความสกปรกลดลง

(2) ระบบบ่อเติมอากาศ (aerated lagoon) ดัดแปลงจากการกำจัดน้ำทิ้งแบบที่มีอากาศและไม่มีอากาศรวมกันโดยเพิ่มเครื่องเติมอากาศที่ผิวน้ำ ระบบนี้คล้ายกับระบบตะกอนเร่ง ต่างกันเพียงบ่อนี้จะมีขนาดค่อนข้างใหญ่จากพื้นดินโดยตรง คุณภาพของน้ำเมื่อผ่านกระบวนการนี้จะมีค่าปีโอดีลดลงประมาณร้อยละ 30-50

3.5.3 การดูดซับด้วยถ่านกัมมันต์ (activated carbon)

การดูดซับบนถ่านกัมมันต์เป็นกระบวนการดูดซับที่นิยมใช้อย่างแพร่หลาย สามารถใช้กำจัดสีได้อย่างมีประสิทธิภาพ แต่มีข้อจำกัดที่น้ำหนักโมเลกุลของของเสียที่จะถูกดูดซับต้องมีน้ำหนักโมเลกุลประมาณ 400 ซึ่งโดยทั่วไปน้ำหนักโมเลกุลของของเสียในอุตสาหกรรมสีจะมีน้ำหนักโมเลกุลต่ำกว่า 400 และสูงกว่า 1200 ดังนั้นก่อนการกำจัดสีด้วยกระบวนการดูดซับบนถ่านกัมมันต์ จะต้องมีการปรับขนาดโมเลกุลของของเสียให้เหมาะสมก่อน โดยการไฮโดรไลซิส ด้วยปูนขาว ซึ่งต้องใช้ปูนขาวปริมาณมากในการปรับ pH ของสารละลายให้อยู่ในช่วง 10-11 ซึ่งส่งผลให้ pH ของน้ำทิ้งสูงดังนั้นต้องมีการปรับ pH ให้เป็นกลางก่อนปล่อยทิ้ง ด้วยการกำจัดสีด้วยกระบวนการดูดซับบนถ่านกัมมันต์เป็นกระบวนการที่ทำให้โมเลกุลของสีดูดติดบนผิวของถ่านกัมมันต์ ดังนั้นประสิทธิภาพการดูดซับสีจะเพิ่มขึ้นตามปริมาณรูปrunของถ่านกัมมันต์ เพราะพื้นที่ผิวจำเพาะมากขึ้น แต่การทำให้โมเลกุลของสีหลุดออกจากผิวของถ่านนั้นทำได้ยาก ต้นทุนการนำถ่านกัมมันต์กลับมาใช้ใหม่จึงสูงมาก เพราะต้องผ่านการเผาและการกำจัดากซึ่งมีค่าใช้จ่ายสูง รวมถึงค่าใช้จ่ายในส่วนที่มีการปรับ pH ก่อนปล่อยออกจากโรงงานด้วย ทำให้เทคนิคนี้ไม่เป็นที่นิยมแม้จะมีประสิทธิภาพการกำจัดสีสูงก็ตาม

3.5.4 การออกแบบโดยใช้ไนโตรเจนออกไซด์ด้วยไออกซอน (ozone treatment)

โดยทั่วไปไม่เลกุลสีเหลืองจะมีหมู่โคโรโนฟอร์ที่เป็นสารประกอบอินทรีย์ประเภทวงแหวนกับพันธะคู่หรือพันธะเดี่ยว ดังนั้นการที่จะทำลายไม่เลกุลของสีน้ำ ต้องทำลายหมู่โคโรโนฟอร์ที่เป็นพันธะคู่หรือพันธะเดี่ยวก่อน การไออกซอนชั้น (ozonation) เป็นการออกแบบโดยใช้ไนโตรเจนออกไซด์ที่เป็นพันธะเคมีของหมู่โคโรโนฟอร์ของไม่เลกุลด้วยไออกซอน แต่เนื่องจากไออกซอนเป็นตัวออกแบบโดยใช้ไนโตรเจนออกไซด์ที่แรงมาก จะทำปฏิกิริยากับสารประกอบในน้ำทึ่งอย่างรวดเร็วเมื่อเกิดปฏิกิริยาออกแบบโดยใช้ไนโตรเจนออกไซด์ชั้น ไม่เลกุลของสีข้อมูลส่วนใหญ่ไม่สามารถดักจับได้ เนื่องจากไออกซอนเป็นสารประกอบชนิดใหม่ที่เป็นพิษต่อสิ่งแวดล้อมมากกว่าสารเริ่มต้นเดิม

3.5.5 เทคโนโลยีมembrane (membrane technology)

กระบวนการกำจัดสีด้วยมembrane (membrane) สามารถใช้ในการกำจัดสี นำเอาสารเคมีที่ใช้ในการข้อมูลและสีข้อมูลบางชนิดกลับมาใช้ใหม่ได้ แบ่งออกเป็น 3 ประเภทดังนี้

(1) ไมโครฟิลเตอร์ชั้น (microfiltration) ใช้ในการกำจัดสีข้อมูลที่มีลักษณะเป็นคลออลloid (colloid)

(2) ออสโมซิลชั้นกลับ (reverse osmosis) เหมาะสำหรับใช้กำจัดไออกซอนสีข้อมูลและไม่เลกุลของสีข้อมูลที่มีขนาดใหญ่ เป็นกระบวนการที่จะต้องผ่านมembrane 2 ชั้นตอน ก่อนมembrane ออสโมซิลชั้นกลับที่บรรจุน้ำกร่อย (brackish water) และมembrane ออสโมซิลชั้นกลับที่บรรจุน้ำทะเล (sea water) ซึ่งมembrane แรกจะสามารถกำจัดสีได้ถึงร้อยละ 90 ความเข้มข้นของสีที่เหลือจะถูกส่งผ่านไปยังมembrane ที่สอง และสามารถกำจัดสีได้ถึงร้อยละ 94

(3) ไนโตรเจนมembrane (dynamic membrane) ใช้กำจัดสีข้อมูลที่มีลักษณะเป็นคลออลloid ที่มีขนาดใหญ่ โดยใช้ตัวรองรับที่มีรูพรุน เช่น เหล็ก สแตนเลส วัสดุคาร์บอนหรือเซรามิกซึ่งต่อมากาได้พัฒนามาใช้ hydrous zirconium (IV) oxide และกรดโพลีอะครีลิก(Zr/PAA) เพื่อปรับปรุงขนาดของรูพรุน กระบวนการนี้สามารถกำจัดสีได้ถึงร้อยละ 95 หรือมากกว่า

3.5.6 นาโนฟิลเตอร์ชั้น (nanofiltration)

ใช้กำจัดสีข้อมประเกทสีรีแอคทีฟที่ใช้ข้อมเส้นไยฝ้าย เนื่องจากการข้อมสีรีแอคทีฟต้องใช้สารอิเลคโทร ໄโลท์ช่วยในการข้อม เช่น โซเดียมคลอไรต์(NaCl) โซเดียมซัลเฟต (Na_2SO_4) ซึ่งกระบวนการนี้สามารถแยกสารโพลีอิเล็กโทร ໄโลท์ เหล่านี้ออกมานำกลับมาใช้ได้ด้วย

วิธีการกำจัดสีในน้ำทิ้ง โรงงานฟอกข้อมอาจใช้วิธีไดร์ฟิล์มดังกล่าว หรืออาจใช้ร่วมกันก็ได้ ซึ่งประสิทธิภาพในการกำจัดขึ้นอยู่กับสารเคมีที่นำมาใช้ในการผลิตสี บางครั้งพบว่า วิธีการเดียวอาจไม่สามารถกำจัดสีข้อมได้อย่างเหมาะสม จำเป็นต้องมีวิธีอื่นร่วมด้วยเนื่องจาก โรงงานฟอกข้อมมีการใช้สีข้อมหลายประเภทด้วยกัน (กรมโรงงานอุตสาหกรรม, 2542)

4. กระบวนการดูดซับ

การดูดซับเป็นปรากฏการณ์ที่สำคัญของกระบวนการทางกายภาพ ชีวภาพ และเคมี การดูดซับได้ถูกนำมาใช้อย่างแพร่หลายในการกำจัดน้ำทิ้ง การดูดซับเป็นความสามารถของสารในการดึงโมเลกุลหรือคอลloidที่อยู่ในแก๊สหรือของเหลวให้มาเกาะจับและติดบนผิว ซึ่งเป็นปรากฏการณ์เคลื่อนย้ายจากของเหลวหรือแก๊สماขึ้นผิวของของแข็งที่เป็นส่วนสำคัญของกระบวนการนี้ โดยโมเลกุลหรือคอลloidที่เคลื่อนย้ายมา เรียกว่า ตัวถูกดูดซับ (Adsorbate) ส่วนของแข็งที่มีผิวเป็นที่เกาะจับของตัวถูกดูดซับ เรียกว่า Adsorbent ซึ่งคุณสมบัติที่สำคัญที่สุดของตัวดูดซับ คือ ความพรุนเพื่อเพิ่มพื้นที่ผิวสัมผัส และคุณสมบัติอื่นๆ เช่น โครงสร้าง การจัดเรียงตัว ขนาด และความสม่ำเสมอ ซึ่งคุณสมบัติต่างๆเหล่านี้ล้วนมีความสำคัญต่อประสิทธิภาพในการดูดซับ การเลือกตัวดูดซับที่เหมาะสมทำให้สามารถแยกโมเลกุลหรือคอลloidออกจากสารละลาย โดยตัวถูกดูดซับจะเกาะบนผิwtัวดูดซับจนอิ่มตัวแล้ว จากนั้นสามารถนำตัวดูดซับกลับมาใช้ใหม่ได้อีก โดยการໄล์โมเลกุลหรือคอลloidที่ถูกดูดซับไว้ออกไปโดยการเปลี่ยนสภาพสมดุล เช่น การเปลี่ยนอุณหภูมิ เปลี่ยนความดัน เปลี่ยนพิื้นที่ เป็นต้น

การดูดซับจึงเป็นกระบวนการเคลื่อนย้ายของตัวถูกดูดซับจากตัวกลางหนึ่งไปสะสมที่พื้นผิวของตัวดูดซับ ซึ่งเกิดขึ้นเมื่อมีการสัมผัสกันระหว่างพื้นที่ผิวของตัวดูดซับกับตัวถูกดูดซับ โดยตัวถูกดูดซับจะไปเกาะติดที่ผิวของตัวดูดซับ เช่น พื้นผิวระหว่างของเหลวกับของแข็ง พื้นผิวระหว่างของแข็งกับก้าช พื้นผิวระหว่างของแข็งกับของแข็งและพื้นผิวระหว่างของเหลวกับของเหลวกระบวนการดูดซับเหล่านี้สามารถเกิดขึ้นเองตามธรรมชาติ เช่น สารอินทรีย์หรือโลหะถูกดูดซับใน

динหรือตอกอนดินในทะเล มหาสมุทร และแม่น้ำ กระบวนการคุณชับที่เกิดขึ้นโดยมนุษย์ เช่น การใช้ถ่านกัมมันต์ในการคุณชับเพื่อกำจัดสิ่งปนเปื้อนจากอากาศและน้ำ กระบวนการคุณชับนี้มีการนำไปประยุกต์ใช้ประโยชน์ในด้านวิศวกรรมสิ่งแวดล้อมหลายด้าน เช่น การใช้ดินเหนียวคุณชับมาฝาดิน หรือคุณชับโลหะหนักจากเหลังฝังกลบเพื่อป้องกันการปนเปื้อนของสารพิษที่จะลงสู่ชั้นน้ำได้ดี

การคุณชับจะทำให้ไมเลกุลของสารที่ถูกคุณชับไว้จะถูกจำกัดความเป็นอิสระในการเคลื่อนย้ายเมื่อเทียบกับไมเลกุลอิสระที่ไมถูกคุณชับ ไมเลกุลที่ไมถูกคุณชับนั้นจะเกิดกระบวนการเปลี่ยนรูปของสารเคมี การย่อยสลายด้วยแสงหรือการย่อยสลายด้วยจุลินทรีย์ ซึ่งสามารถเกิดขึ้นได้ง่ายกว่าไมเลกุลที่ถูกคุณชับเอาไว้บนตัวคุณชับ (นิพนธ์ และ ภณิตา, 2550)

4.1 กลไกการคุณชับและอัตราการเคลื่อนย้ายไมเลกุลของตัวคุณชับในกระบวนการคุณชับ

4.1.1 กลไกการคุณชับ แบ่งเป็น 3 ขั้นตอน ดังนี้

1) การแพร่ภายนอก (External Diffusion) การแพร่ภายนอกเป็นกลไกที่ไมเลกุลของตัวคุณชับเข้าถึงตัวคุณชับ ซึ่งพื้นที่ผิวของตัวคุณชับมีของเหลวห่อหุ้มโดยไมเลกุลแทรกผ่านชั้นของของเหลวเข้าถึงผิวน้ำของตัวคุณชับ

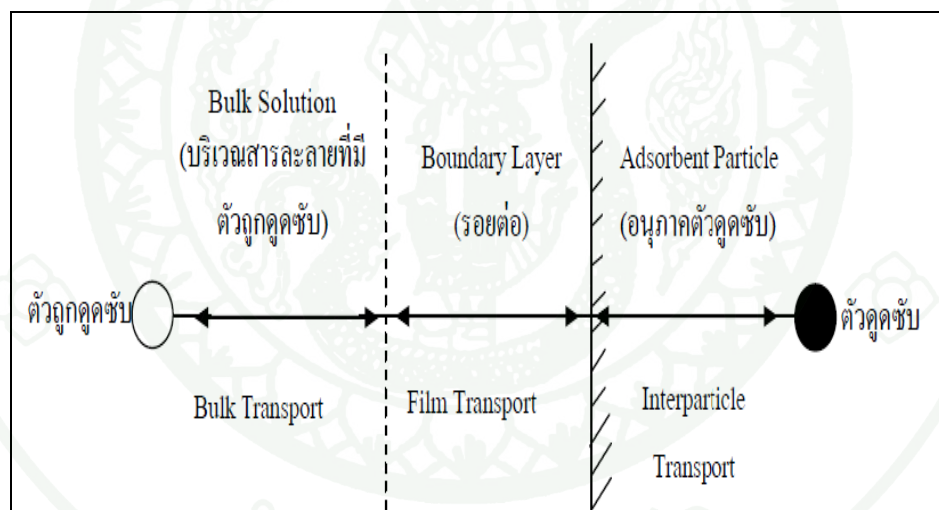
2) การแพร่ผ่านภายใน (Internal Diffusion) เป็นกลไกที่ไมเลกุลของตัวคุณชับแพร่กระจายเข้าสู่บริเวณพื้นที่ผิวภายในโพรงตัวคุณชับ เพื่อให้เกิดการคุณชับ

3) ปฏิกิริยาพื้นผิว (Surface Reaction) ปฏิกิริยาพื้นผิวเป็นกลไกที่ไมเลกุลของตัวคุณชับคุณติดที่ผิวของตัวคุณชับซึ่งเป็นกระบวนการที่รวดเร็วมากเมื่อเปรียบเทียบกับกระบวนการแพร่

4.1.2 อัตราการเคลื่อนย้ายไมเลกุลของตัวคุณชับ

อัตราการคุณชับมีความสำคัญมาก อัตราการคุณชับที่เกิดขึ้นอย่างรวดเร็วจะทำให้ระบบเข้าสู่ภาวะสมดุลได้เร็ว อัตราการคุณชับจะถูกควบคุมโดยขั้นตอนที่มีการต้านทานมากที่สุดในการเคลื่อนย้ายไมเลกุล ซึ่งขั้นตอนที่ชาที่สุดจะเป็นขั้นตอนกำหนดอัตราการคุณชับ ขั้นตอนในการคุณชับแบ่งออกเป็น 3 ขั้นตอนอยู่ดังนี้ ดังแสดงในภาพที่ 13

- 1) การขนส่งอนุภาค (Bulk Transport) เป็นขั้นตอนที่เกิดขึ้นเร็วที่สุด ไม่เลกูลของตัวถูกคุณค่าในของเหลวจะถูกส่งไปที่ผิวน้ำของชั้นของเหลวบางๆ หรือผิวเข้าสู่สภาวะสมดุลน้ำที่ห่อหุ้มตัวคุณค่า
- 2) การขนส่งชั้นฟิล์ม (Film Transport) เป็นขั้นตอนที่ไม่เลกูลที่ผิวน้ำของชั้นของเหลวบางๆ แทรกตัวเข้าสู่ผิวน้ำของสารคุณค่า การขนส่งชั้นฟิล์มเป็นกระบวนการที่ตัวถูกคุณค่าแพร่ผ่านฟิล์มน้ำไปยังผิวของตัวคุณค่า จัดเป็นขั้นตอนที่กำหนดอัตราการคุณคิดผิวขั้นตอนหนึ่ง
- 3) การขนส่งภายในอนุภาค (Interparticle Transport) เป็นการแพร่ของไม่เลกูลตัวถูกและลายเข้าสู่โพรงหรือรูพรุนของสารคุณค่า เรียกว่า การแพร่เข้าสู่โพรง (Pore Diffusion) และทำให้เกิดการคุณค่าขึ้นภายในขั้นตอนนี้จัดเป็นขั้นตอนที่จำกัดอัตราการคุณค่า เช่นเดียวกัน



ภาพที่ 13 ขั้นตอนการเคลื่อนย้ายไม่เลกูลของตัวถูกคุณค่าไปยังตัวคุณค่า

ที่มา: นิพนธ์ และ ภณิตา (2550)

การบีดติดของตัวคุณซับบนพื้นที่ผิวของตัวคุณซับจะมีแรงบีดเหนี่ยวเกิดขึ้น ซึ่งอาจเป็นแรงบีดเหนี่ยวทางกายภาพหรือทางเคมีหรือทั้งสองแบบ

4.2 แรงบีดเหนี่ยวระหว่างโมเลกุล

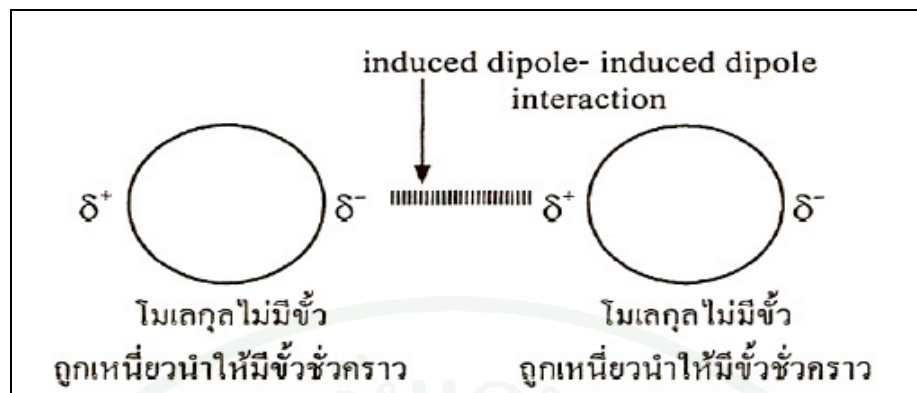
แรงบีดเหนี่ยวระหว่างโมเลกุลของตัวคุณซับบนผิวของตัวคุณซับนั้น อาจเป็นแรงบีดเหนี่ยวระหว่างโมเลกุลแบบทางกายภาพ (Physical Force) หรือแรงบีดเหนี่ยวระหว่างโมเลกุลแบบทางเคมี (Chemical Force) หรือในบางกรณีอาจเกิดแรงบีดเหนี่ยวระหว่างโมเลกุลทั้งสองแบบ

4.2.1 แรงบีดเหนี่ยวระหว่างโมเลกุลแบบทางกายภาพที่เกี่ยวกับการดูดซับ

แรงแวนเดอร์วัลส์ (Van der Waal force) คือ แรงที่บีดเหนี่ยวโมเลกุล (โโคเวเลนต์) ให้อยู่ด้วยกัน โดยโมเลกุล (โโคเวเลนต์) ทุกชนิดทั้งโมเลกุลมีข้าวและโมเลกุลไม่มีข้าวต่างมีแรงแวนเดอร์วัลส์บีดเหนี่ยวระหว่างโมเลกุลกับโมเลกุล แรงแวนเดอร์วัลส์ มี 3 ประเภทดังนี้

1) แรงแวนเดอร์วัลส์ระหว่างโมเลกุลไม่มีข้าว ซึ่ง เรียกว่า แรงлонดอน (London Force) หรือแรงแผ่กระจาย (Dispersion Force) เกิดขึ้นได้เนื่องจากอิเล็กตรอนในโมเลกุลเคลื่อนที่อยู่ตลอดเวลาในขณะใดขณะหนึ่ง กลุ่มหมอกอิเล็กตรอนในโมเลกุลไม่ได้กระจายอยู่อย่างสม่ำเสมอในลักษณะที่สมมาตร แต่จะเคลื่อนที่ไปหนาแน่นด้านใดด้านหนึ่ง ทำให้ด้านนั้นมีอำนาจข้าวไฟฟ้าลบมากขึ้นกว่าปกติ อีกด้านก็จะแสดงอำนาจข้าวไฟฟ้าบวก หรือกล่าวได้ว่า ทำให้โมเลกุลนั้นถูกดึง โมเลกุลมีข้าวชั่วคราว (Induced Dipole) โดยวิธีนี้โมเลกุลจะเกิดการเหนี่ยวนำกันต่อๆ ไปจนเกิดแรงดึงดูดระหว่างโมเลกุลที่มีข้าวที่เกิดจากการเหนี่ยวนำ (Induced Dipole-Induced Dipole Attraction)

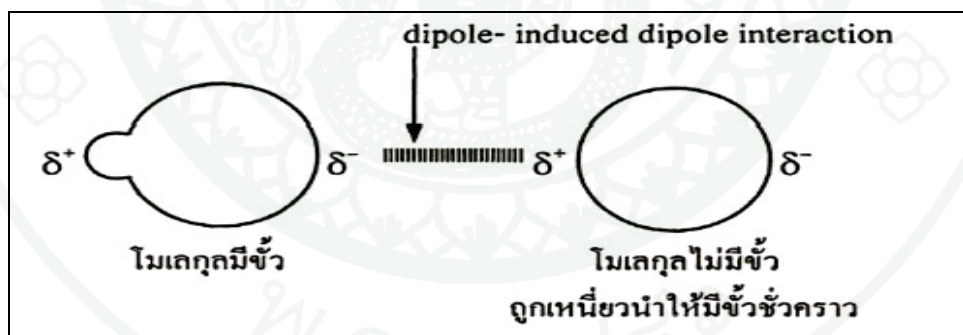
แรงแวนเดอร์วัลส์มีค่าเพิ่มขึ้นตามมวลโมเลกุล เพราะเมื่อโมเลกุลมีขนาดใหญ่ขึ้น จำนวนอิเล็กตรอนย่อมเพิ่มขึ้นด้วย เมื่ออิเล็กตรอนจำนวนมากไปอยู่หนาแน่นทางด้านใดด้านหนึ่ง จะแสดงอำนาจไฟฟ้าลบมาก และด้านตรงข้ามก็จะมีอำนาจข้าวไฟฟ้าบวกมากด้วย แรงดึงดูดระหว่างข้าวที่เกิดจากการเหนี่ยวนำจึงมีความแข็งแรงมากขึ้นตามไปด้วย ดังแสดงในภาพที่ 14



ภาพที่ 14 แรงดึงดูดระหว่างโนเลกูลไม่มีข้า ที่อุกเหนี่ยวนำให้มีข้าชั่วคราว

ที่มา: นิพนธ์ และ คณิตา (2550)

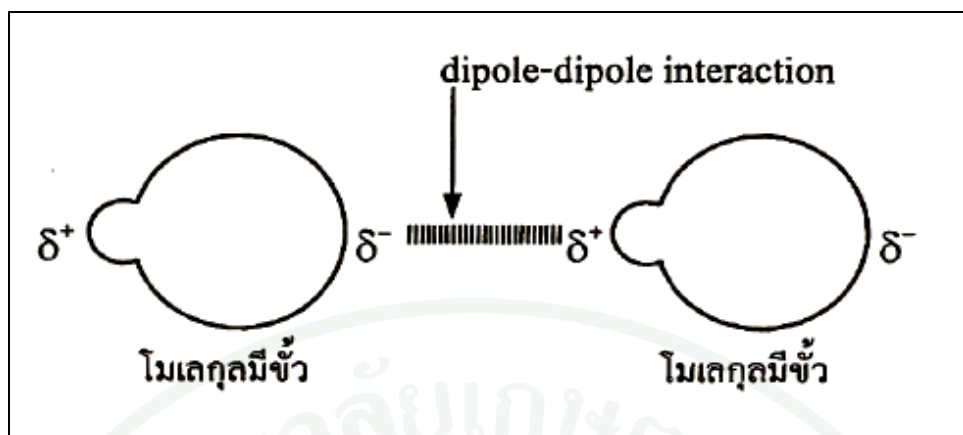
2) แรงดึงดูดระหว่างโนเลกูลมีข้ากับโนเลกูลไม่มีข้า กรณีเช่นนี้เกิดจากโนเลกูลมีข้าเข้าใกล้โนเลกูลไม่มีข้า จะเกิดการเหนี่ยวนำทำให้โนเลกูลที่อุกเหนี่ยวนำกล้ายืนในโนเลกูลมีข้าตามไปด้วย จึงเกิดแรงดึงดูดระหว่างข้ากับข้าที่เกิดจากการเหนี่ยวนำ (Dipole-Induced Dipole Attraction) ดังแสดงในภาพที่ 15



ภาพที่ 15 แรงดึงดูดระหว่างข้ากับข้าที่เกิดจากการเหนี่ยวนำ

ที่มา: นิพนธ์ และ คณิตา (2550)

3) แรงดึงดูดระหว่างโนเลกูลมีข้า ด้านหนึ่งของโนเลกูลจะแสดงอำนาจข้าไฟฟ้าบวกและอีกด้านหนึ่งแสดงอำนาจข้าไฟฟ้าลบ ข้าไฟฟ้าบวกกับข้าไฟฟ้าลบจึงดึงดูดกันเรียกว่าแรงไดโอล-ไดโอล (Dipole-Dipole Attraction) ดังแสดงในภาพที่ 16



ภาพที่ 16 แรงดึงดูดระหว่างโมเลกุลมีขั้ว

ที่มา: นิพนธ์ และ คณิตา (2550)

ในกรณีที่โนเลกุลประกอบด้วยอะตอมของไฮโดรเจน กับอะตอมของชาตุอื่น ที่มีค่าอิเล็กโตรเนutrality สูง ได้แก่ ชาตุฟลูออเรน ออกซิเจน และไฮโดรเจน ทำให้เกิดพันธะมีสภาพ มีข้าสูง โดยด้านไฮโดรเจนอะตอมมีสภาพข้าบวกจะเกิดแรงดึงดูดกับอิเล็กตรอนคู่ โดยเดียวของ อะตอมที่มีอิเล็กโตรเนutrality สูงในโนเลกุลที่อยู่ข้างเคียงแรงดึงดูดนี้ ยาวที่เกิดขึ้นในลักษณะเช่นนี้ เรียกว่า พันธะไฮโดรเจน (Hydrogen Bond)

4.2.2 แรงทีดหนี่ยวทางคณิต

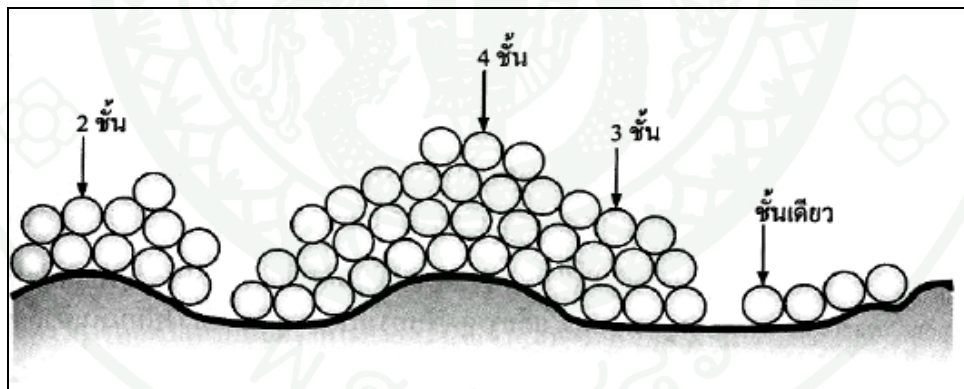
แรงขึ้นเหนี่ยวทางเคมี คือ การสร้างพันธะเคมีระหว่างตัวคุณค่ากับตัวถูกคุณค่า ซึ่งอาจเป็นพันธะไออกอนิก (แรงดึงดูดระหว่างไออกอนิกกับไออกอนิก) หรือพันธะโกรเวลันท์ การใช้อิเล็กตรอนร่วมกัน โดยเกิดสมดุลทึ้งแรงดูด (อิเล็กตรอนกับโปรตอน) และแรงผลัก (อิเล็กตรอนกับอิเล็กตรอน และโปรตอนกับโปรตอน) การเกิดปฏิกิริยาเคมีระหว่างตัวถูกคุณค่าและตัวคุณค่า มีผลทำให้เกิดสารผลิตภัณฑ์ขึ้น และการคุณค่าจะเป็นการคุณค่าแบบชั้นเดียว (Monolayered) ทำให้ไม่สามารถผันกลับได้ (Irreversible Process) จึงไม่เกิดการราย

4.3 รูปแบบของการดูดซับ

สามารถแบ่งออกได้เป็น 2 ประเภทคือ

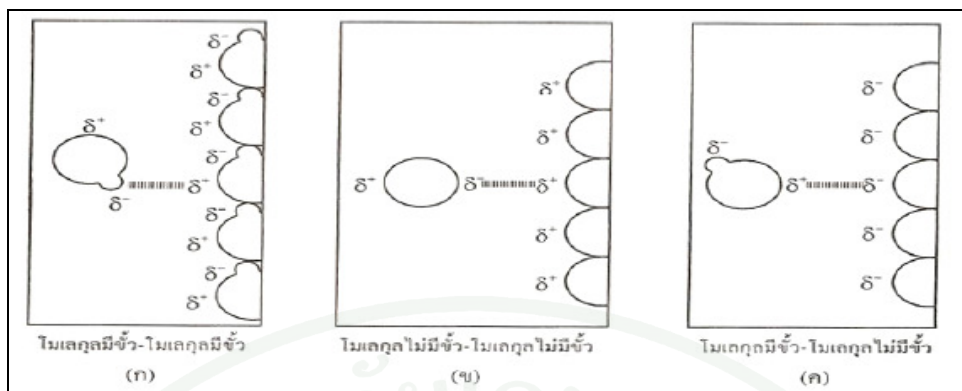
4.3.1 การดูดซับทางกายภาพ (Physisorption or Physical Adsorption or Van Der Waals Adsorption)

เป็นแรงที่ทำให้เกิดการเกาะ หรืออีดเหนี่ยวยะห่วง โนมเลกุลของตัวถูกดูดซับกับโนมเลกุลที่พื้นผิวน้ำของตัวถูกดูดซับ จัดเป็นแรงดูดค่อนข้างอ่อน เช่นแรงแวนเดอร์วัลส์ แรงไดโลอล-ไดโลอล ไม่เกิดการเปลี่ยนแปลงคุณสมบัติทางเคมีทั้งของตัวถูกดูดซับและตัวดูดซับ โดยที่โนมเลกุลของตัวถูกดูดซับเกาะอยู่บนพื้นผิwtตัวดูดซับในลักษณะที่ซ้อนกันเป็นหลายชั้น (Multilayered) และจำนวนชั้นของโนมเลกุลตัวถูกดูดซับจะเพิ่มขึ้น การจัดเรียงตัวของโนมเลกุล การกระจายตัว และการเหนี่ยวนำ จัดเป็นปัจจัยที่มีผลต่อการดูดซับทางกายภาพ การดูดซับทางกายภาพโดยทั่วไป จะเกิดขึ้นที่อุณหภูมิต่ำ ทำให้พลังงานของระบบลดลงทำให้ระบบมีความเสถียรมากขึ้น ดังแสดงในภาพที่ 17,18



ภาพที่ 17 การดูดซับของตัวถูกดูดซับบนพื้นผิwtตัวดูดซับแบบชั้นเดียว สองชั้น สามชั้น และสี่ชั้น

ที่มา: นิพนธ์ และ คณิตา (2550)



ภาพที่ 18 ลักษณะการยึดเหนี่ยวด้วยแรงทางกายภาพ

- หมายเหตุ (ก) ลักษณะการดูดซับที่เกิดขึ้นเมื่อ ไม่เลกุลของตัวถูกดูดซับและตัวดูดซับต่างกันเป็น ไมเลกุลมีข้าวทั้งคู่
- (ข) ลักษณะการดูดซับที่เกิดขึ้นเมื่อ ไมเลกุลของตัวถูกดูดซับและตัวดูดซับต่างกันเป็น ไมเลกุลไม่มีข้าวทั้งคู่
- (ค) ลักษณะการดูดซับที่เกิดขึ้นเมื่อ ไมเลกุลตัวถูกดูดซับเป็น ไมเลกุลมีข้าวและ ไมเลกุลตัว ดูดซับเป็น ไมเลกุล ไม่มีข้าว

ที่มา: นิพนธ์ และ คณิตา (2550)

4.3.2 การดูดซับทางเคมี (Chemisorption)

จะมีลักษณะเหมือนกับการเกิดปฏิกิริยาเคมี กล่าวคือ จะต้องมีการสร้าง พันธะเคมีของตัวถูกดูดซับกับพื้นผิวของตัวดูดซับ การดูดซับทางเคมี มีการถ่ายโอนอิเล็กตรอน (สร้างพันธะไออ่อนิก) หรือการใช้อิเล็กตรอนร่วมกัน (สร้างพันธะโคเวเลนต์) ทำให้แรงยึดเหนี่ยว ค่อนข้างสูงกว่าแรงยึดเหนี่ยวที่เกิดขึ้นในการดูดซับทางกายภาพ มีผลทำให้การดูดซับทางเคมีโดย ส่วนใหญ่จะผันกลับไม่ได้ เมื่อเปรียบเทียบกับการดูดซับทางกายภาพที่สามารถจะเกิดการผันกลับ ได้ภายใต้สภาวะเดียวกัน การดูดซับทางเคมีจะเกิดขึ้นในบริเวณที่จำเพาะเจาะจงเท่านั้น และ ไมเลกุลตัวถูกดูดซับจะอยู่บริเวณดังกล่าว จะเป็นแบบขึ้นเดียวและเกิดได้ดีที่อุณหภูมิสูง แต่การ ดูดซับทางกายภาพเกิดได้ทั่วไปบนพื้นผิวตัวดูดซับ

การคุณภาพของภูมิปัญญาที่พัฒนาต่อ ประมาณ 10 หรือน้อยกว่า 10 กิโลแคลอรีต่อโมลของตัวภูมิคุณภาพ สำหรับการคุณภาพเคมีจะให้พัฒนาสูงโดยประมาณ 20-100 กิโลแคลอรีต่อโมลของตัวภูมิคุณภาพ

4.4 ตัวคุณภาพ

สารที่มีความสามารถในการคุณภาพมีหลายชนิด อาจแบ่งได้เป็น 5 ประเภท

1) สารอนินทรีย์ เช่น ดินเหนียวชนิดต่างๆ แมกนีเซียมออกไซด์ ซิลิกา กัมมันต์ อะลูมิเนียมกัมมันต์ ถ่านกระดูก สินแร่จำพวกอะลูมิโนซิลิเกต เช่น Kaolinite เป็นต้น ตัวคุณภาพสารอนินทรีย์จะมีพื้นที่ผิวจำเพาะประมาณ 50-200 ตารางเมตรต่อกรัม และคุณภาพไม่เกิดสารพิษ ไม่ก่อให้การใช้ประโยชน์จากสารคุณภาพสารอนินทรีย์มีข้อจำกัด

2) ถ่านกัมมันต์ มีพื้นที่ผิวจำเพาะประมาณ 500-1400 ตารางเมตรต่อกรัม เป็นตัวคุณภาพที่มีประสิทธิภาพ และมีการนำไปใช้งานอย่างกว้างขวางในด้านต่างๆ เช่น ฟอกสี ใช้ในการกำจัดกลิ่นและรส ใช้ในการกำจัดตะกอนในโรงงานเบียร์เป็นต้น

3) สารอินทรีย์สังเคราะห์ ได้แก่ สารแลกเปลี่ยนไอออน (เรชิน) ชนิดพิเศษที่สังเคราะห์ขึ้นเพื่อกำจัดสารอินทรีย์ต่างๆ สารเรชินเหล่านี้มีพื้นที่ผิวจำเพาะประมาณ 300-500 ตารางเมตรต่อกรัม

4) วัสดุชีวภาพ (Biomaterials) สำหรับเป็นวัสดุเหลือใช้ทางด้านการเกษตร เช่น บีเดื่อยเปลือกถุง (นำมาทำเป็นไกโตกาน) กาลคนafeที่ใช้แล้ว กาลชาที่ใช้แล้ว กาลถั่วเหลือง ฝางข้าว เปลือกไม้ถ่านจากการเผาดันพุทธรักษาด้านธุปุกุาย ซังข้าวโพด ดันยางพารา ต้น kokกลม และถั่วแอกอบคำ เป็นต้น

5) สารคุณภาพชีวภาพ (Biosorbent) ได้แก่ เชลล์จุลินทรีย์ เช่น เชลล์ของแบคทีเรียส์ หรือราสายพันธุ์ต่างๆ และสาหร่าย

4.5 ปัจจัยที่มีอิทธิพลต่อการคุณภาพ

1) อัตราการเขย่า เพื่อให้มีการดูดติดผิวจากขึ้นอยู่กับการแพร์ฟั่นฟิล์ม หรือการแพร์ฟ้าสู่ไฟฟ้า ถ้าอัตราการเขย่าต่ำฟิล์มน้ำซึ่งล้อมรอบสารคุณภาพผิวจะมีความหนามากและเป็นอุปสรรคต่อ

การเคลื่อนที่ของโมเลกุลของสารถูกดูดติดผิวเข้าไปหาสารดูดติดผิว ดังนั้นการแพร่ผ่านชั้นฟิล์ม เป็นปัจจัยกำหนดอัตราเร็วของการดูดติดผิว ในตรงกันข้าม อัตราการเรย่าสูง จะเกิดฟิล์มบาง ทำให้ โมเลกุลสามารถเคลื่อนที่ผ่านฟิล์มน้ำเข้าหาสารดูดติดผิวได้รวดเร็วกว่าการเคลื่อนที่เข้าไปในรูพูน ในการนี้ การแพร่ผ่านรูพูนจะเป็นตัวกำหนดอัตราเร็วในการดูดติดผิว

2) ขนาดและพื้นที่ผิวของสารดูดติดผิว ความสามารถในการดูดติดผิวมีความสัมพันธ์ โดยตรงกับพื้นที่ผิวจำเพาะ นั่นคือ สารดูดติดผิวที่มีพื้นที่ผิวมากย่อมดูด โมเลกุลของสารถูกดูดติดผิว ได้มากกว่าสารดูดติดผิวที่มีพื้นที่ผิวน้อย และอัตราการดูดติดผิวเป็นอัตราส่วนผลกระทบกับขนาดสารดูดติดผิว เช่น คาร์บอนพง (Powder Activated Carbon, PAC) มีอัตราเร็วในการดูดติดผิวสูงกว่าคาร์บอนแบบเกร็ด (Granular Activated Carbon, GAC)

3) ขนาดและลักษณะของสารถูกดูดติดผิว ขนาดของสารหรือ โมเลกุล มีความสำคัญมาก ต่อการดูดติดผิว ซึ่งส่วนใหญ่เกิดขึ้นในโพรงของสารดูดติดผิว เช่น การดูดติดผิวจะเกิดขึ้นได้ดีที่สุดเมื่อสารมีขนาดเล็กกว่าซองว่างภายในพอดี (พอดีเข้าไปในซองว่างได้) ทั้งนี้ เพราะว่าแรงดึงดูดระหว่างสารถูกดูดติดผิวและสารดูดติดผิวจะมีค่ามากที่สุด โมเลกุลขนาดเล็กจะถูกดูดเข้าไปในซองว่างภายในก่อน จากนั้น โมเลกุลขนาดใหญ่กว่าจะถูกดูดเข้าไปบ้าง อาจกล่าวได้ว่า ความสามารถในการดูดติดผิวจะแปรผกผันกับขนาด โมเลกุลของตัวถูกดูดติดผิว นั่นคือ เมื่อ นำหนัก โมเลกุลเพิ่มขึ้น ความสามารถในการดูดติดผิวจะลดลง

4) ความสามารถในการละลาย ของสารถูกดูดติดผิว ความสามารถในการละลาย ของตัวถูกละลาย เป็นปัจจัยสำคัญในการดูดติดผิว การดูดติดผิวจะเพิ่มขึ้นเมื่อความสามารถในการละลาย ของตัวถูกละลาย ในตัวทำละลายลดลง เนื่องจากในการดูดติดผิwtัวถูกละลายจะต้องถูกแยกออกจากตัวทำละลาย ในที่นี้คือ น้ำ ดังนั้นสารที่ไม่ละลายน้ำ หรือละลายได้น้อยจะสามารถถูกดูดติดผิวได้ดี

5) พิอิทธิพลต่อการแตกตัวเป็นไอออนและการละลาย ของสารต่าง ๆ ดังนี้ จึงมี พลกระแทบท่อการดูดติดผิว ด้วย นอกจากราชีว โตรเจน ไอออนของก๊าซเป็นไอออนที่สามารถเกาะติดผิวของสารดูดติดผิวได้ดี

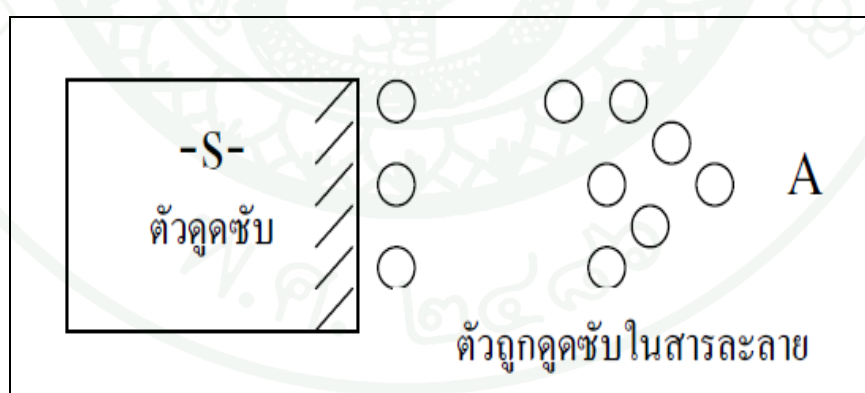
6) อุณหภูมิ มีอิทธิพลต่ออัตราเร็วและขีดความสามารถในการดูดติดผิว กล่าวคือ อัตราเร็ว เพิ่มขึ้นตามการเพิ่มของอุณหภูมิ และลดลงตามการลดของอุณหภูมิ แต่ขีดความสามารถในการดูดติดผิว

จะลดลงที่อุณหภูมิสูงและจะมีค่าเพิ่มขึ้นที่อุณหภูมิต่ำ ทั้งนี้เพราะการดูดติดผิวเป็นปฏิกิริยาแบบกระบวนการความร้อน

7) เวลาเข้าสู่สภาวะสมดุล เป็นพารามิเตอร์ที่มีผลต่อประสิทธิภาพของการดูดติดผิว และอายุการใช้งานของตัวดูดซับ โดยที่เวลาเข้าสู่สภาวะสมดุลมีความสัมพันธ์กับประสิทธิภาพการดูดติดผิวเพียงช่วงหนึ่งเท่านั้น ซึ่งถ้าเวลาเข้าสู่สภาวะสมดุลเฉลี่ยจากช่วงนี้แล้ว ก็จะไม่มีผลต่อประสิทธิภาพการดูดติดผิวเลย

4.6 สมดุลการดูดซับ (Adsorption Equilibrium)

เมื่อเติมตัวดูดซับปริมาณหนึ่งลงไปในสารละลายที่มีโมเลกุลตัวถูกดูดซับเข้มข้น Co ในช่วงเริ่มต้นโมเลกุลตัวถูกดูดซับบางส่วนไปเกาะติดกับพื้นผิwtัวดูดซับ เมื่อระยะเวลาผ่านไปจะมีจำนวนโมเลกุลตัวถูกดูดซับไปเกาะติดกับพื้นผิwtัวดูดซับเพิ่มมากขึ้น ในขณะเดียวกันโมเลกุลตัวถูกดูดซับบางส่วนที่เกาะติดกับพื้นผิwtะพยายามอุดตัน อัตราการเคลื่อนที่ของตัวดูดซับจะลดลงกว่าอัตราการดูดซับ เนื่องจากตัวดูดซับที่เคลื่อนที่ยากอุดตัน ทำให้อัตราการดูดซับลดลง จนกว่าอัตราการดูดซับเท่ากับอัตราการเคลื่อนที่ของตัวดูดซับ ระบบเข้าสู่สภาวะสมดุล ณ สภาวะสมดุลการดูดซับ จำนวนโมเลกุลของตัวถูกดูดซับและจำนวนโมเลกุลตัวถูกดูดซับที่เคลื่อนที่อยู่จะคงที่



ภาพที่ 19 การเคลื่อนย้ายโมเลกุลตัวถูกดูดซับไปยังตัวดูดซับ

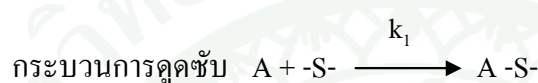
ที่มา: นิพนธ์ และ ณิชา (2550)

ให้ A เป็นโมเลกุลของตัวถูกคุณดับ มีความเข้มข้นเริ่มต้นเป็น C_0 โมลต่อลิตร ในสารละลาย

S- เป็นโมเลกุลของตัวคุณดับ

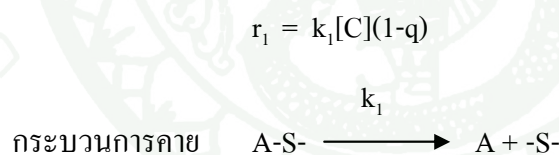
q เป็นสัดส่วนโมเลกุลตัวถูกคุณดับที่ถูกคุณดับบนพื้นผิวของตัวคุณดับ

(1-q) เป็นสัดส่วนโมเลกุลตัวถูกคุณดับที่ไม่ถูกคุณดับ



r_1 แทนอัตราการคุณดับ ซึ่งจะเปรียบเทียบความเข้มข้นของตัวถูกคุณดับในสารละลายหรือความเข้มข้นของตัวถูกคุณดับที่เหลืออยู่ในสารละลายให้เท่ากัน C และยังเปรียบเทียบสัดส่วนโมเลกุลตัวถูกคุณดับที่ไม่ถูกคุณดับบนพื้นผิวของตัวคุณดับ

k_1 แทนค่าคงที่อัตราการคุณดับ



r_2 แทนอัตราการคายดับ ซึ่งจะเปรียบเทียบสัดส่วนโมเลกุลตัวถูกคุณดับที่ถูกคุณดับบนพื้นผิวของตัวคุณดับเท่านั้น

k_2 แทนค่าคงที่อัตราการคาย 1

$$r_2 = k_2(q)$$

$$\text{ณ สภาวะสมดุล} \quad r_1 = r_2$$

$$k_1[C](1-q) = k_2(q)$$

$$\frac{q}{(1-q)} = \frac{k_1}{k_2} [C] = K[C]$$

เมื่อ K เป็นค่าคงที่สมดุลการดูดซับ



ณ ສກາວະສນດුල

เมื่อ q เป็นปริมาณตัวถูกคูดซับที่ถูกคูดซับบนพื้นผิวของตัวคูดซับต่อมวลตัวคูดซับ มีหน่วยเป็นปริมาณตัวถูกคูดซับต่อมวลตัวคูดซับเป็นโมลต่อกิโลกรัม (mol/kg) หรือ โมลต่อกิกรัม (mol/g)

(g) หรือกิโลกรัม (kg) W เป็นมวลของตัวคุณซับที่ใช้หน่วยเป็นน้ำหนัก เช่น มิลลิกรัม (mg) กรัม

V เป็นปริมาตรของสารละลายที่มีตัวถูกคูดซับละลายอยู่ หน่วยเป็นลูกบาศก์เซนติเมตร (cm^3) หรือลิตร (l)

C_0 เป็นความเข้มข้นของตัวถูกคัดซับก่อนการคัดซับที่อยู่ในสารละลายน้ำ หน่วยเป็นความเข้มข้นเป็น มोลต่อลิตร (mol/l)

C เป็นความเข้มข้นของตัวถูกคัดซับที่เหลืออยู่ในสารละลายมีหน่วยเป็น
ความเข้มข้นเป็นโมลต่อลิตร (mol/l)

q อาจเรียกว่า ความจุของการดูดซับ (Adsorption Capacity)

ณ สถานะสมดุลของการดูดซับ จะได้ว่า

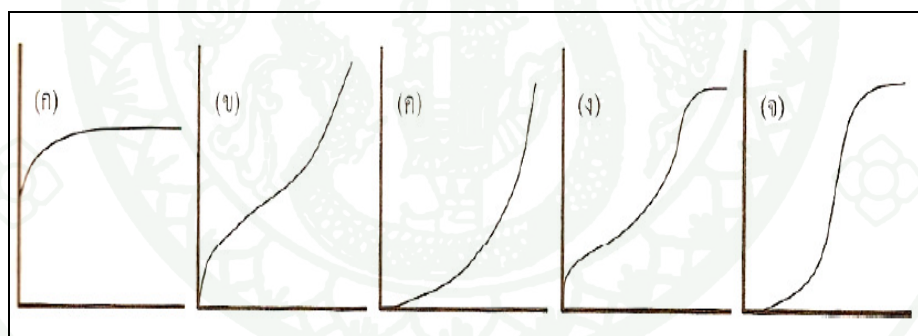
ปริมาณตัวคูณซับบนพื้นผิวของตัวคูณซับ = ปริมาณตัวคูณคูณซับที่หลุดออกมานอกตัวคูณซับ

$$qW = V(C_0 - C) \quad \dots \dots \dots \quad (3)$$

4.7 ໄວໂჟເທອຣມຂອງການດູດໜັບ

ไอโซเทอร์มของการคุณภาพ เป็นสมการแสดงอิทธิพลปริมาณตัวถูกคุณภาพบนพื้นผิวตัวคุณภาพต่อปริมาณของตัวคุณภาพ (q) กับความเข้มข้นของตัวถูกคุณภาพที่เหลืออยู่ในสารละลาย (C) ที่สภาวะสมดุล ณ อุณหภูมิคงที่

ถ้าเขียนกราฟระหว่างค่า q ในแกนต์ส์ และค่า C ในแกนนอนจะให้รูปแบบพื้นฐานของไฮโซเทอร์มของการคัดชั้น 5 แบบ ดังแสดงในภาพที่ 20



ภาพที่ 20 ไอโซเทอร์มการดูดซับแบบพื้นฐาน

ที่มา: นิพนธ์ และ คณิตา (2550) จ้างโดย Maron and Prutton (1961)

(ก) จัดเป็นໄໂລໂຫເວົ່ມຂອງກາຮຸດສັບທີ່ເກີດຂຶ້ນເປັນແບບຫຸ້ນເຈິຍວ່າວຽກ
(ຂ) ອື່ງ (ຈ) ເປັນໄໂລໂຫເວົ່ມຂອງກາຮຸດສັບເປັນແບບຫລາຍຫຸ້ນ

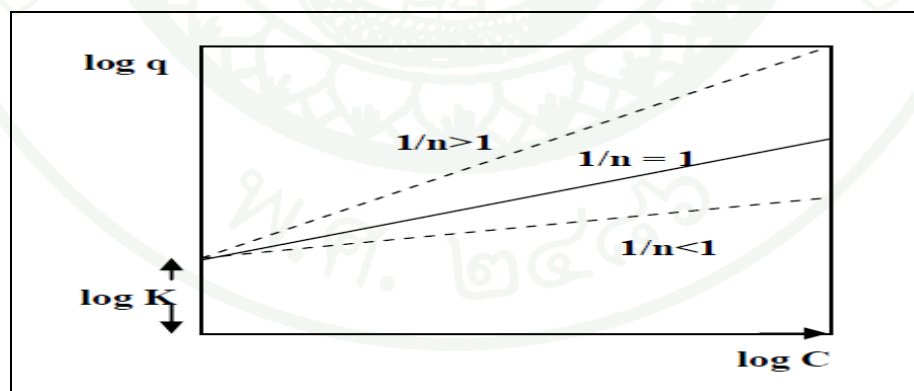
สมการໄອໂໂເທອຣົມຂອງການດູດໜັບຈະອາສີຍແບບຈຳລອງການດູດໜັບທາງຄົນິຕິສາສົຕົມໃນ
ທີ່ນີ້ຈະກຳລ່ວງຢືນ 2 ສມກາຣທີ່ນີ້ນີ້ມາໃຊ້ກັນ ດັ່ງນີ້

4.7.1 สมการการดูดซึบของฟรุนดิช (Freundlich Adsorption Isotherm) โดยนักเคมีฟิสิกส์ชาวเยอรมัน Herbert Max Finalay Freundlich (1880-1941) ใช้อธิบายไอโซเทอร์มของการดูดซึบภายในได้สมมติฐานที่ว่าพื้นผิวของตัวดูดซึบเป็นแบบวิวิชพันธ์ (Heterogeneous Adsorption Surface พื้นผิวไม่เป็นเนื้อเดียวกันตลอด) มีรูปแบบของสมการเป็นดังนี้

สมการที่ (4) ไม่ให้ความสัมพันธ์เชิงเส้นตรง K และ n เป็นค่าคงที่ของฟรุนดิช (Freundlich Constant) ของแต่ละระบบที่กำลังศึกษาหรือทดลอง และ n ใช้อธินายลักษณะไฮโซเทอร์ม ของการคุณซับ โดยทั่วๆ ไป n จะมีค่ามากกว่าหนึ่ง

เมื่อจัดรูปสมการที่ (4) ให้อยู่ในรูปสมการเด่นตรง โดยใส่ลูกการิทึมทั้งสองข้างของสมการจะได้

เมื่อเขียนกราฟระหว่าง $\log q$ กับ $\log C$ จะได้กราฟเส้นตรงที่มีความชันเท่ากับ $\frac{1}{n}$ และมีจุดตัดเท่ากับ $\log K$



ภาพที่ 21 ไอโซเทอร์มการดูดซับแบบเชิงเส้นตรงของฟรอนดิช

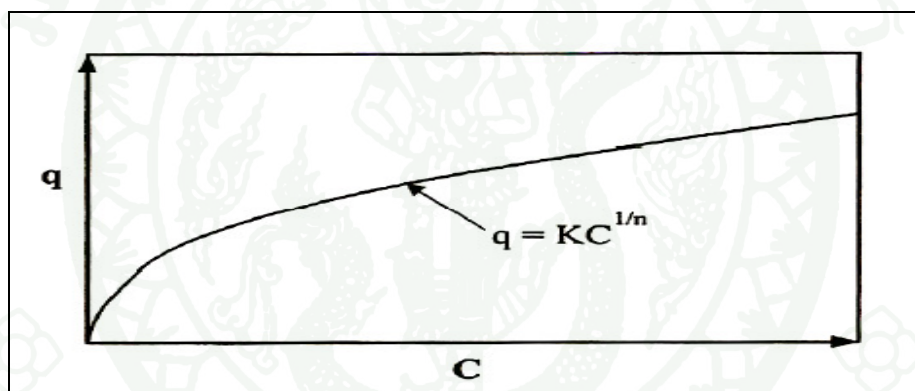
ที่มา: นิพนธ์ และ คณิตา (2550)

ถ้า $\frac{1}{n} = 1$ ไอโซเทอร์มของการดูดซับเป็นแบบเส้นตรง

ถ้า $\frac{1}{n} < 1$ บอกถึงความสามารถในการดูดซับของตัวดูดซับจะต่ำในทุกค่าของความเข้มข้น C หรือกล่าวว่ามีปริมาณพื้นผิวนบนตัวดูดซับในปริมาณจำกัดในการดูดซับ

ถ้า $\frac{1}{n} > 1$ บอกถึงความสามารถของการดูดซับของตัวดูดซับจะดูดซับได้มาก หรือกล่าวว่าบิเวณพื้นที่ผิวนของตัวดูดซับมีปริมาณมากในการดูดซับ

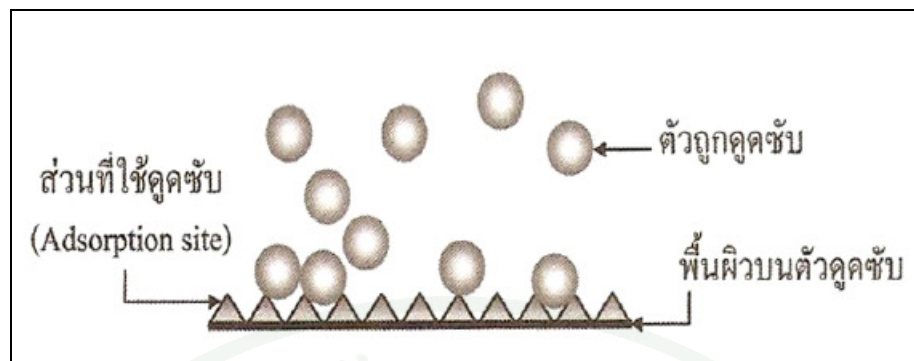
เมื่อเขียนกราฟระหว่างค่า q และ C จากสมการที่ (4) ดังภาพที่ จะไม่สามารถบอกถึงปริมาณของตัวถูกดูดซับถูกดูดซับได้มากสุด เนื่องจากตัวถูกดูดซับสามารถจะเกิดการซ้อนทับกันได้



ภาพที่ 22 ไอโซเทอร์มของการดูดซับแบบไม่เชิงเส้นของฟรุนดิช

ที่มา: นิพนธ์ และ คณิตา (2550)

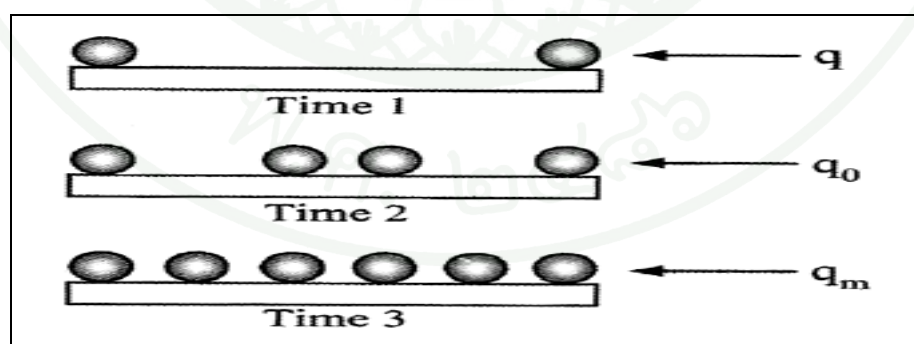
4.7.2 สมการการดูดซับของแลงเมียร์ (Langmuir Adsorption Isotherm) ถูกพัฒนาขึ้นโดยนักเคมีชาวอเมริกา Irving Langmuir ในปี ค.ศ. 1916 ผู้ได้รับรางวัลโนเบลสาขาเคมีในปี ค.ศ. 1932



ภาพที่ 23 กลไกการดูดซับของตัวถูกคูดซับบนพื้นผิวตัวคูดซับแบบชั้นเดียว เมื่อตัวถูกคูดซับถูกดูดซับไว้แล้ว จะไม่มีการขยายออกจากพื้นผิวตัวคูดซับ

ที่มา: นิพนธ์ และ ณิชา (2550)

โดยมีข้อกำหนดว่า พื้นผิวนตัวคูดซับเป็นแบบเดียวกันหมด (Monogeneous Adsorption Surface) มีกลไกการดูดซับเหมือนกัน การดูดซับของตัวถูกคูดซับบนพื้นผิวของตัวคูดซับเป็นแบบชั้นเดียว ตัวถูกคูดซับจะจัดเรียงตัวเพียงชั้นเดียวบนพื้นผิวตัวคูดซับ โดยที่ไม่เกิดการซ้อนทับกัน พื้นผิวนตัวคูดซับจะมีจำนวนจำกัด และเมื่อตัวถูกคูดซับถูกดูดซับไว้แล้ว จะไม่มีการเคลื่อนที่ (เคลื่อนย้าย) หรือเปลี่ยนตำแหน่งกับตัวถูกคูดซับอื่นบนพื้นผิวตัวคูดซับ พื้นผิวตัวคูดซับจะถูกปกคลุมด้วยตัวถูกคูดซับมากขึ้น เมื่อความเข้มข้นของสารละลายเพิ่มขึ้น จนมีตัวถูกคูดซับถูกคูดซับจนอิ่มตัว (ถูกคูดซับได้มากที่สุด) ดังแสดงในภาพที่ 24



ภาพที่ 24 ตัวถูกคูดซับปกคลุมจนเต็มพื้นที่ผิวของตัวคูดซับแบบชั้นเดียว ปริมาณตัวถูกคูดซับที่ถูกดูดซับสูงสุดบนพื้นผิวเท่ากับ q_m

ที่มา: นิพนธ์ และ ณิชา (2550)

จากความรู้เรื่องสมดุลการคูดซับ และจากสมการที่ (1) ถือว่าการคูดซับได้มากสุดเท่ากับหนึ่งรูปแบบของสมการแล่งเมียร์ จะใช้สมการที่ (1) เพียงต้องคูณปริมาณตัวถูกคูดซับที่ถูกคูดซับได้มากสุดต่อปริมาณตัวคูดซับ แทนด้วย q_m ดังนั้น สมการที่ (1) จึงมีรูปแบบดังนี้

เมื่อจัดรูปสมการที่ (6) ให้อยู่ในรูปสมการเส้นตรง จะได้

$$\frac{1}{q} = \frac{1}{q_m} + \frac{1}{K q_m C} \quad \dots \dots \dots (7)$$

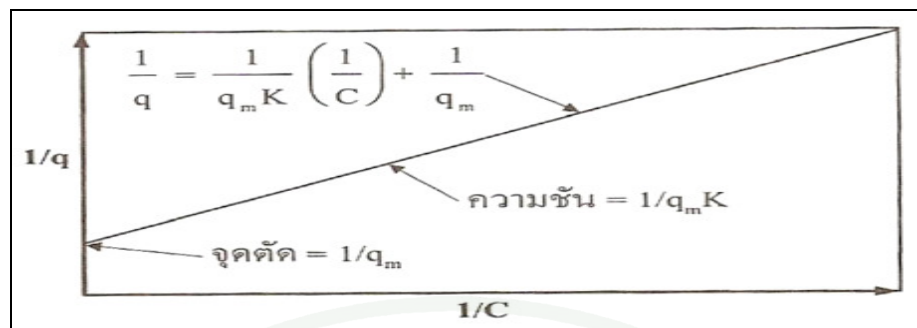
เมื่อ q คือ ปริมาณตัวถูกคุณชับบนพื้นที่ผิวตัวคุณชับต่อปริมาณของตัวคุณชับ (ความสามารถการคุณชับ) (มิลลิกรัมต่อกรัม)

q_m คือ ความสามารถสูงสุดในการดูดซับ (มิลลิกรัม/กรัม)

K គីអូ កោកងទីការទូទៅ

C คือ ความเข้มข้นที่สภาวะสมดุล (มิลลิกรัม/ลิตร)

เขียนกราฟระหว่าง $\frac{1}{q}$ และ $\frac{1}{C}$ จะได้กราฟเส้นตรงมีค่าความชันเท่ากับ $\frac{1}{Kq_m}$



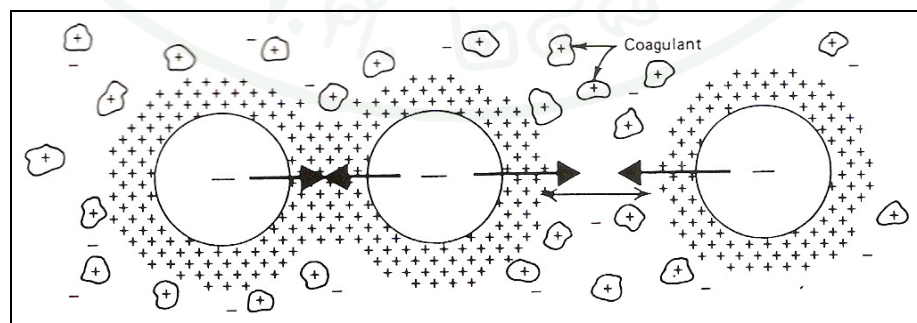
ภาพที่ 25 ไอโซเทอร์มการคุณซับแบบเชิงเส้นของแดงเมียร์

ที่มา: นิพนธ์ และ ภณิตา (2550)

5. กระบวนการโโคแอกกูเลชั่นสำหรับใช้ในการกำจัดสีข้อม

5.1 กระบวนการ โโคแอกกูเลชั่น (Coagulation)

กระบวนการ โโคแอกกูเลชั่น เป็นการตกลงกันทางเคมีของน้ำขัดเป็นกระบวนการ สำคัญในการปรับปรุงคุณภาพน้ำ ประกอบด้วย 2 กลไก ได้แก่ (1) กลไกส่วนแรกเป็นการทำลาย เสถียรภาพของอนุภาคความขุ่นด้วยการเติมสารเคมีลงในน้ำเพื่อที่จะทำให้การกระจาย ของสารเคมีเป็นไปได้อย่างดี (2) กลไกส่วนที่สองเป็นการทำให้อนุภาคซึ่งถูกทำลายเสถียรภาพและ สัมผัสกันเพื่อให้มีโอกาสจับตัวกันเป็นอนุภาคขนาดใหญ่ และน้ำหนักมากขึ้นเกิดเป็นปุ๋ย เรียกว่า ฟล็อกกูเลชั่น (Flocculation) ซึ่งจะเกิดขึ้นด้วยกลไกทางเคมีโดยการผสมเบาๆ และใช้เวลามาก (ประมาณ 20-30 นาที) กลุ่มน้ำที่มีขนาดใหญ่จะตกลงกันอย่างรวดเร็วในถังตกลงกัน



ภาพที่ 26 สารเคมีช่วยตกลงกันช่วยลดแรงผลักระหว่างอนุภาค

ที่มา: ณรงค์ (2545)

ไขขุทธิ์ และ ปรีชา (2536) กล่าวว่า การกำจัดสีโดยกระบวนการตกรตะกอนด้วยสารตกรตะกอนที่นิยมใช้คือ ปูนขาว สารส้ม เฟอร์รัสคลอไรด์ หรือเฟอร์รัสซัลเฟต เป็นต้น จึงส่งผลต่อการทำให้ไม่เลกุดของสีถูกดูดซับบนอนุภาคของสารส้มทำให้เกิดตะกอนของสีจมตัวลงในน้ำทึ้ง จากนั้นทำให้น้ำทึ้งเป็นกกลางก่อนปล่อยลงสู่ท่อน้ำทึ้ง กระบวนการนี้สามารถกำจัดสีได้อย่างมีประสิทธิภาพ แต่เนื่องจากน้ำทึ้งมีลักษณะที่แตกต่างไปตามชนิดของไม้เลกุดสีข้อม ถ้าสีข้อมมีไม้เลกุดขนาดเล็ก (สีประเทสีแอ็ชดี สีรีแอ็คทีฟ) การเกิดตะกอนของสีโดยใช้สารส้มจะไม่สามารถทำได้ ดังนั้น จึงต้องปรับปรุงประสิทธิภาพของปฏิกิริยาการตกรตะกอนให้เป็นไปอย่างสมบูรณ์ โดยใช้สารช่วยให้เกิดการรวมตัวของตะกอน เช่น พอลิอิเลกโทรไลท์ และสามารถใช้ร่วมกับการปรับค่าความเป็นกรด-เบส และใช้เป็นกระบวนการกำจัดขั้นต้นก่อนกระบวนการกำจัดทางชีววิทยา สมบัติค้านการละลายนำของสีข้อมมีความสำคัญต่อความยากง่ายในการกำจัดออกจากน้ำทึ้ง ถ้าเป็นสีที่ละลายนำไม่ได้ การกำจัดโดยวิธีตกรตะกอนจะสามารถทำได้ง่าย แต่ถ้าเป็นสีที่ละลายนำไปได้ การกำจัดสีให้หมดไปเป็นเรื่องที่ทำได้ค่อนข้างยาก สีแต่ละประเภทจึงมีวิธีการกำจัดแตกต่างกันออกไปตามประเภทและโครงสร้างทางเคมีของสีที่ใช้ในการข้อม

5.2 การเลือกใช้สารสร้างตะกอน

สารสร้างตะกอน (Coagulant) มีหน้าที่ในการทำลายเสถียรภาพของอนุภาคคลอ络อยด์ และทำให้ตะกอนยึดเหนี่ยวกันแข็งแรงขึ้น เพื่อไม่ให้ฟลีกที่เกิดขึ้นต้องแตกตัวออก ซึ่งสารสร้างตะกอนกลุ่มที่มีอุณหภูมิเนียมเป็นองค์ประกอบหรืออุณหภูมิเนียมโคลาคูลาเคนท์ เมื่อเติมสารสร้างตะกอนลงในน้ำ จะทำให้ไม้เลกุดแตกตัวเป็นอุณหภูมิเนียมไอก้อน (Al^{3+}) และไอก้อนเชิงซ้อนจำนวนมากที่เกิดจากการไฮโดรไลซิสของอุณหภูมิเนียมโคลาคูลาเคนท์

1) อุณหภูมิเนียมซัลเฟต ($\text{Al}_2(\text{SO}_4)_3 \cdot 14\text{H}_2\text{O}$) หรือสารส้ม(Alum) เป็นสารสร้างตะกอนที่นิยมใช้กันมากที่สุด สารส้มที่อยู่ในรูป ($\text{Al}_2(\text{SO}_4)_3 \cdot 14\text{H}_2\text{O}$) จัดเป็นเกลือกรด มีลักษณะเป็นเกล็ด ดังนั้นจึงสามารถกัดกร่อนโลหะได้ ละลายนำได้ดี อาจอยู่ในรูปของแข็งหรือสารละลายได้

2) สารส้มที่เป็นของเหลว ละลายนำ (Al_2O_3) ประมาณร้อยละ 5.8-8.5 โดยมวล และราคาถูกกว่าชนิดแรก

3) โซเดียมอุณหภูมิเนitat ประกอบด้วย (Al_2O_3) ทำให้อยู่ตัวได้ด้วยโซเดียมไฮดรอกไซด์ ควรใช้สารชนิดนี้ร่วมกับสารส้มเพื่อให้เกิดประสิทธิภาพ

4) แยกตัวเตดซิลิกา นิยมใช้ร่วมกับสารส้มจะทำให้เกิดการตกตะกอนได้เร็วขึ้นและจัดเป็นสารช่วยสร้างตะกอนของสารส้ม

ปราโมทย์ (2551) กล่าวว่า การสร้างตะกอนและการรวมตัวของตะกอนนั้น เป็นการเติมสารส้มหรือเรียกชื่อทางเคมีว่าอลูมิเนียมชาลไฟต์ ($\text{Al}_2(\text{SO}_4)_3$) เพื่อลดความเสถียรของอนุภาคขนาดเล็กพากคอลลอยด์ในน้ำหรือความปุ่นของน้ำทำให้ออนุภาคเหล่านี้รวมตัวกันเป็นของแข็งที่มีอนุภาคขนาดใหญ่และหนักขึ้น โดยอาศัยกระบวนการทางกายภาพร่วมด้วย คือกระบวนการผสมเร็วและผสมช้า นอกจากนี้ต้องมีการปรับพีโซชองน้ำให้กระบวนการสร้างและรวมตัวของตะกอนให้มีประสิทธิภาพโดยสารเคมีที่นิยมใช้ปรับพีโซชในกระบวนการนี้คือ ปูนขาว ($\text{Lime}; (\text{Ca}(\text{OH})_2)$)

5.3 ปัจจัยที่มีผลต่อกระบวนการสร้างตะกอน

กระบวนการสร้างตะกอนสามารถดำเนินการไปได้อย่างมีประสิทธิภาพขึ้นอยู่กับปัจจัยต่างๆ ดังนี้

1) ชนิดของคอลลอยด์ในน้ำ เนื่องจากคอลลอยด์ในน้ำเป็นสารอินทรีย์หรือสารอนินทรีย์ที่มีสภาพเป็นประจุบวกหรือประจุลบ หรือเป็นคอลลอยด์ประเภทไม่ชอบน้ำ (Hydrophobic) สามารถถูกกำจัดออกจากน้ำได้ง่ายกว่าประเภทชอบน้ำ (Hydrophilic)

2) อุณหภูมิ มีผลต่อปฏิกิริยาเคมีที่เกิดขึ้น โดยเมื่ออุณหภูมิลดลง จะทำให้ความหนืด (Viscosity) ของน้ำเพิ่มขึ้น ส่งผลให้อัตราการตกตะกอนของฟลักอช้าง เพราะมีแรงเสียดทานเพิ่มขึ้นเนื่องจากความหนืดของน้ำเพิ่มขึ้น นอกจากนี้ค่าพีโซจะเปลี่ยนแปลงไปเมื่ออุณหภูมิเปลี่ยนแปลงโดยจะมีผลมากในกรณีใส่สารเคมีช่วยตกตะกอนในปริมาณต่ำ และเมื่ออุณหภูมิลดลงทำให้อัตราการเกิดปฏิกิริยาต่างๆ ของสารเคมีในน้ำลดลงด้วย

3) ความเป็นเบสของน้ำ ทำหน้าที่เป็นบัฟเฟอร์ต้านทานการเปลี่ยนแปลงค่าพีโซ เพื่อให้ปฏิกิริยาในการกำจัดอนุภาคคอลลอยด์มีประสิทธิภาพมากขึ้นสำหรับสารสร้างตะกอนบางชนิด ได้แก่ อลูมิเนียมชาลไฟต์และเกลือของเหล็ก ซึ่งเป็นกรดเมื่อเติมลงไปในน้ำจะไปลดค่าความเป็นเบสในน้ำและมีผลทำให้น้ำมีฤทธิ์กัดกร่อนได้

4) ค่าพีอีช สารที่ใช้ในการตอกตะกอนแต่ละชนิดจะให้ประสิทธิภาพดีที่สุดที่ค่าพีอีชที่แตกต่างกัน การเติมสารสร้างตะกอนลงในน้ำที่ไม่มีอยู่ในช่วงค่าพีอีชที่เหมาะสม นอกจากจะทำให้ลึ้นเปลือยสารเคมีที่ใช้แล้ว ยังทำให้คุณภาพน้ำไม่ดีและเกิดกระบวนการตอกตะกอนที่ไม่ดีขึ้น

5) ชนิดและปริมาณของสารเคมีสร้างตะกอน สารสร้างตะกอนแต่ละชนิดมีความ
เหมาะสมในการทำลายอนุภาคคลออลอยด์ได้แตกต่างกัน รวมทั้งยังต้องคำนึงถึงปริมาณที่ใช้
ลักษณะของกลุ่มตะกอนที่เกิดขึ้น ความเร็วในการตกตะกอน ราคาและความยากง่ายในการใช้งาน

6) เกลือของสารอนินทรีย์ การมีอนุมูลชั้ดเฟตหรือฟอสเฟตละลายอยู่ในน้ำทึ่งจะมีผลทำให้ประสิทธิภาพการจับตัวเป็นฟลีอกเปลี่ยนแปลงไป ผลกระทบอ่อนชันนิดต่างๆ ต่อการจับตัวเป็นฟลีอกจะทำให้เกิดการเปลี่ยนแปลง คือ เปลี่ยนแปลงช่วง pH ที่ดีที่สุดในการเกิดฟลีอกเปลี่ยนแปลงระยะเวลาในการเกิดฟลีอก ปริมาณของสารเคมีที่เหมาะสมที่ช่วยในการตกรอกgon สำหรับการเกิดฟลีอกจะเปลี่ยนแปลงไป และปริมาณสารเคมีช่วยตกรอกgonที่เหลือในน้ำเปลี่ยนแปลงไป

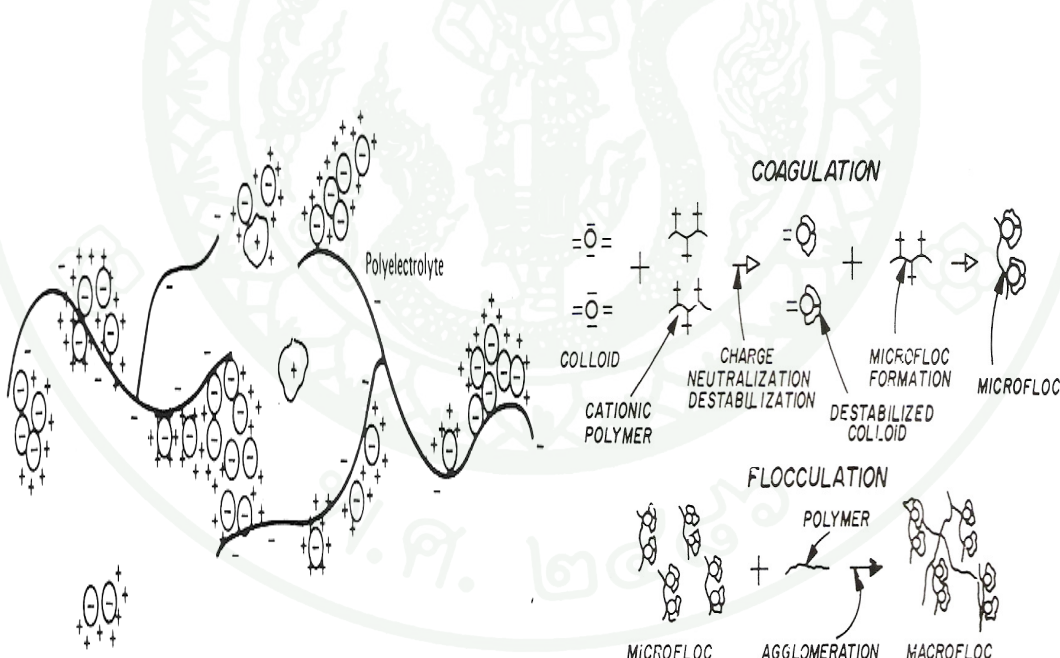
7) ความชุ่นในน้ำเกิดจากเศษดินและแร่ธาตุต่างๆ ซึ่งมีขนาดตั้งแต่ 0.002-0.005 มิลลิเมตร อนุภาคเหล่านี้จะตกตะกอนลงกันได้เมื่อถ้าหากมีเวลา magma การใส่สารเคมีช่วย ตกตะกอนจะทำให้เกิดฟลีอกได้ง่ายและรวดเร็ว เพียงแต่ปรับค่าให้เหมาะสม คือ ใส่สารช่วย ตกตะกอนเพิ่มขึ้นตามความชุ่นที่เพิ่มขึ้น แต่การเพิ่มขึ้นของสารเคมีไม่ได้เป็นสัดส่วนโดยตรงกับ ความชุ่นที่เพิ่มขึ้น และถ้าไม่มีความชุ่นมาก ควรใส่สารช่วยตกตะกอนเพียงเล็กน้อย เพราะโอกาสที่ อนุภาคต่างๆจะมาชนกันและจับตัวกันมีมาก

8) การกวน เพื่อให้เกิดการปั่นกวนขึ้นในน้ำ ในตอนแรกจะเป็นการกวนเร็วๆ ที่มีการเติมสารเคมีช่วยตัดตะกอนเพื่อให้สารเคมีกระจายตัวในน้ำอย่างทั่วถึงและช่วยเพิ่มอัตราการซักกันระหว่างอนุภาคความบุนกับสารเคมีใหม่ๆ ขึ้น โอกาสที่จะจับตัวเป็นฟลีอกก็จะเพิ่มขึ้น ระยะเวลาในการกวนเร็วๆ ประมาณ 30-60 วินาที การกวนช้า ก็เพื่อให้ฟลีอกขนาดเล็กๆ ที่เกิดจาก การกวนเร็วๆ โอกาสที่จะซักกันเพิ่มขึ้น เพื่อจับตัวรวมกันเป็นฟลีอกที่มีขนาดใหญ่มากขึ้น การกวนนี้ต้องการเพียงแค่ให้ฟลีอกลอยตัวอยู่ในน้ำได้โดยไม่ตกรอกgon ไม่ให้กวนแรงจนกระแทกฟลีอก แตกออก เพราะแรงเช่น ระยะเวลาที่เหมาะสมในการกวนช้าอยู่ประมาณ 30-60 นาที

9) อัตราการเกิดฟลีก ในระยะแรกของการเกิดฟลีก จะมีอนุภาคมากกันถี่มาก เท่าใด อัตราการเกิดการจับตัวเป็นฟลีกก็จะมีมากขึ้นเท่านั้น ซึ่งนอกจากจะช่วยเพิ่มจำนวนฟลีกแล้วยังเพิ่มน้ำหนักและขนาดของฟลีกอีกด้วย ทำให้จมตัวได้ง่ายยิ่งขึ้น ถ้าหากว่าตัวอ่อน弱 เป็นน้ำที่มีความชุ่นอย่างพบร้าบีญหาว่าเกิดฟลีกยากและตกตะกอนช้า

5.4 สารเคมีเพิ่มประสิทธิภาพการตกตะกอน

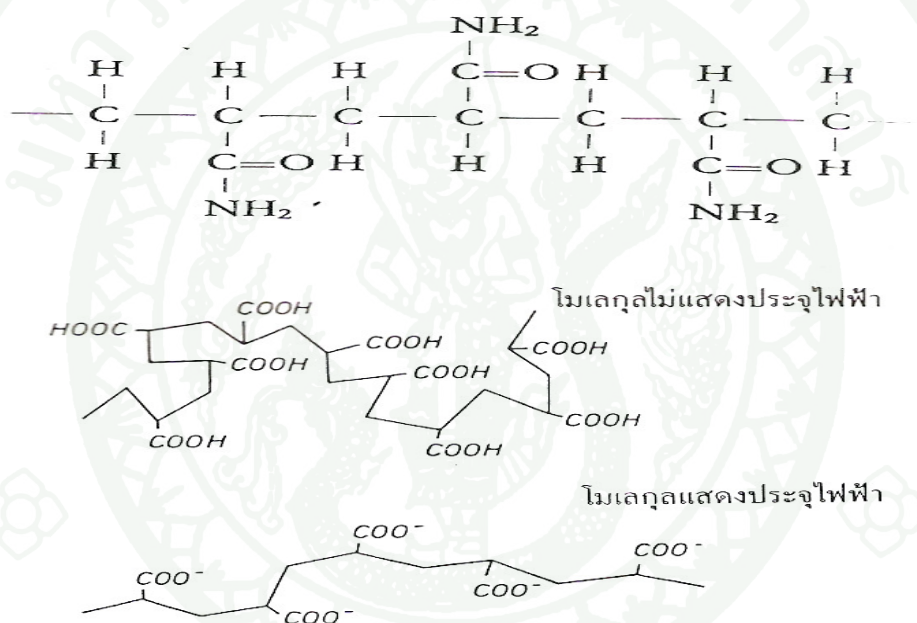
ในการตกตะกอนด้วยสารเคมีช่วยตกตะกอนนั้น ในบางครั้งจะพบปัญหานี้ในเรื่อง ตกตะกอนตกช้า ฟลีกมีลักษณะเปื้อยู่ๆ แตกง่ายเมื่อถูกน้ำพัดพาในถังตกตะกอน หรือบางครั้งถ้าน้ำมีความชุ่นมากกว่าปกติ เกินกำลังของอุปกรณ์ที่จะรับความชุ่นได้ จึงต้องใส่สารเคมีพาก Polymers เพื่อเพิ่มประสิทธิภาพในการตกตะกอน เพราะมีลักษณะเป็นเส้นยาว (Chain) และมีประจุไฟฟ้าด้วยซึ่งจะช่วยให้ออนุภาคคลออลลอยด์จับตัวรวมตัวกันเป็นฟลีกเร็วขึ้น และช่วยให้ฟลีกเล็กๆ จับตัวกันเป็นตะกอนเม็ดใหญ่ขึ้น ดังแสดงในภาพที่ 27



ภาพที่ 27 ลักษณะของโพลีอิเล็กโทรไลต์ช่วยจับอนุภาค และลักษณะการจับตัวรวมตัวเมื่อใส่โพลีเมอร์

ที่มา: ณรงค์ (2545)

Polyelectrolytes ที่นิยมใช้กันในปัจจุบัน เป็นสารอินทรีย์สังเคราะห์ซึ่งมีน้ำหนักโมเลกุลสูงอยู่ในช่วง 10,000–1,000,000 หรือมากกว่า สารเหล่านี้ได้แก่พลาสติก Polyacrylamides, Polymines, polyacrylates, Polyethyleneimine สารเหล่านี้มีโครงสร้างเป็นร่างแทะและมีโมเลกุลขนาดใหญ่ สามารถแตกตัวได้ในน้ำแสดงประจุไฟฟ้าได้ ซึ่งมี Ionic Strength และ Adsorption Activity สูงสำหรับประเภทของ Polyelectrolytes มี 4 ชนิด คือ (1) Anionic มีประจุลบ (2) Cationic มีประจุบวก (3) Ampholytic มีทั้งประจุบวกและลบ (4) Non-ionic ไม่แสดงประจุไฟฟ้า ดังแสดงในภาพที่ 28



ภาพที่ 28 สูตรโครงสร้างของโพลีอะลีกโพรไอล์ตและการปรากฏประจุไฟฟ้าของโพลีอะลีกโพรไอล์ต

ที่มา: ณรุ่งค์ (2545)

Polyelectrolytes พลาสติก Anionic และ Non-ionic Polyelectrolytes นิยมใช้ร่วมกับสารสัมเมื่อช่วยให้ฟลีอกขับตัวได้รวดเร็ว และมีขนาดใหญ่ขึ้น นอกจากนี้ยังช่วยลดปริมาณสารสัมเมื่อใช้ได้อีกด้วย ซึ่งถ้าคิดค่าใช้จ่ายรวมแล้วจะเป็นการประหยัดกว่าการใช้สารสัมเพียงชนิดเดียว

5.5 ขั้นตอนสำคัญในการเติมสารเคมีในกระบวนการสร้างตะกอน

ในการเติมสารเคมีในกระบวนการสร้างตะกอนจำเป็นต้องมีขั้นตอนเพื่อให้สารเคมีกระจายไปในน้ำได้อย่างทั่วถึงและเกิดตะกอนได้

1) การกวนเร็ว (Flash Mixing or Rapid Mixing) มีหน้าที่ดังนี้

- (1) ทำหน้าที่กระจายสารเคมีให้สมลงในน้ำอย่างทั่วถึง โดยใช้ระยะเวลาอ่อนโยนที่สุด
- (2) ทำให้เกิดการทำลายเสถียรภาพของอนุภาคและเกิดการรวมเป็นตะกอนขึ้น

เมื่อน้ำที่มีสิ่งเจือปนผสมกับสารเคมีโดยผ่านการกวนเร็ว อนุภาคขนาดเล็ก เช่น คลอลอຍด์ จะก่อตัวเป็นตะกอนขนาดเล็ก ซึ่งสามารถมองเห็นได้ด้วยตาเปล่า มีขนาดเท่าปลายเข็ม หมุด ตะกอนขนาดเล็กจะทำหน้าที่เป็นจุดเริ่มต้นในการก่อตัวเป็นตะกอนที่มีขนาดใหญ่ขึ้นในกระบวนการสร้างตะกอนต่อไป โดยขั้นตอนการกวนเร็วเป็นขั้นตอนที่มีความสำคัญอย่างยิ่ง หากสารเคมีที่เติมลงไปไม่มีการกระจายตัวอย่างทั่วถึงในน้ำ กระบวนการทำลายเสถียรภาพของอนุภาค จะไม่มีประสิทธิภาพและสารเคมีที่เติมลงไปในน้ำแทนที่จะทำปฏิกิริยา กับอนุภาค แต่อาจไปทำปฏิกิริยากับองค์ประกอบของน้ำแทน เช่น สารสัมทำปฏิกิริยา กับความเป็นเบส เกิดเป็นตะกอน Al(OH)_3 ทำให้ต้องใช้สารเคมีในการสร้างตะกอนปริมาณที่มากขึ้น

2) การกวนช้า (Slow Mixing) เป็นขั้นตอนต่อจากการกวนเร็ว จำแนกได้ดังนี้

- (1) เป็นระบบรวมตะกอนที่ถูกทำลายเสถียรภาพจากขั้นตอนการกวนเร็ว
- (2) เป็นการสร้างความปั่นป่วนให้กับน้ำ เพื่อให้อนุภาคที่ถูกทำลายเสถียรภาพ และเกิดเป็นตะกอนขนาดเล็ก มีการเคลื่อนที่และมีโอกาสสัมผัสกัน เกิดการเกาะติดก่อตัวให้มีน้ำหนักและขนาดเพิ่มขึ้น เรียกว่า พลีอก การควบคุมการลดหลั่นของความปั่นป่วนแกรเดียน (G) จากมาลงมาหาน้ำออยเพื่อทำให้พลีอกเกิดการรวมตัวกันได้ดี และไม่ทำให้เกิดการแตกตะกอนก่อน หรือเกิดการแตกตัวของพลีอก เนื่องจากความปั่นป่วนมากเกินไป ขั้นตอนนี้ควรคำนึงถึงลักษณะของสิ่งเจือปนหรืออนุภาคในน้ำรวมทั้งชนิดของสารเคมีที่ใช้ เพื่อทำให้เกิดพลีอกขึ้น จึงจะทำให้การออกแบบการกวนช้า เพื่อให้ความปั่นป่วนแกรเดียนลดหลั่นลงมากจากมากไปหาน้ำออยได้อย่าง

เหมาะสม การทดลองด้วยเครื่องจาร์เทสต์ซึ่งมีส่วนช่วยในการศึกษาถึงความปั่นปวนแกรเดียนที่เหมาะสมกับคุณภาพน้ำหนึ่งๆ และสารเคมีที่ใช้ในการสร้างตะกอนได้

6. ผลงานวิจัยที่เกี่ยวข้อง

จินตนา (2550) ศึกษาการเตรียมตัวคุณชับจากผักตบชวาในการกำจัดลีเช่อม โดยเรกท์จากน้ำทึ้ง โรงงานฟอกซ้อมสิ่งทอ โดยใช้กระบวนการทางฟิสิกส์และเคมีเพื่อปรับสภาพตัวคุณชับซึ่งตัวคุณชับที่ได้มีลักษณะเป็นผลและถูกปรับสภาพด้วยสารละลายโซเดียมไฮดรอกไซด์ความเข้มข้น 15% 20% 25% และตัวคุณชับที่ไม่ปรับสภาพ ทำการศึกษาสภาวะที่เหมาะสมของค่า พีเอช ปริมาณตัวคุณชับ เวลาการปั่นกวน เวลาการสัมผัส และความเข้มข้นลีเช่อม โดยเรกท์โดยทำการทดลองแบบแบ่งช่วง พบร่วมประสิทธิภาพตัวคุณชับเป็นไปตามกลไกสมการการคุณชับของฟรุนลิชและแลงเมียร์ซึ่งแสดงให้เห็นว่าผงตัวคุณชับจากผักตบชวาสามารถกำจัดลีเช่อม โดยเรกท์ได้อย่างมีประสิทธิภาพ

ภัญญ์ทิตา (2531) ศึกษาการกำจัดความชุ่นของน้ำโดยใช้เม็ดมะรุม โดยการเตรียมสารละลายจากเม็ดมะรุมเข้มข้น 2% นำสารละลายดังกล่าวมาใช้ทดสอบเช่นเดียวกับสารตะกอนตัวอื่นๆ เพื่อหาปริมาณสารที่ใช้แน่นอน วิธีที่ใช้ในการทดสอบคือ การทำjar-test โดยทำการกวนเร็วที่ความเร็ว 130 รอบต่อนาที เป็นระยะเวลา 2 นาที และกวนช้าที่ความเร็วรอบ 17-18 รอบต่อนาที เป็นระยะเวลา 10 นาที พบร่วมประสิทธิภาพการกำจัดความชุ่นที่มีช่วง > 15 ถึง 10,000 NTU สามารถกำจัดความชุ่นได้ภายในระยะเวลา 1-2 ชั่วโมง

อริศรา (2539) ศึกษาการกำจัดลีจากน้ำเสียโดยวิธีที่แตกต่างกัน 3 วิธี คือ 1) การกำจัดลีโดยใช้สารส้ม 2) การกำจัดลีโดยการคุณชับ 3) การกำจัดลีโดยสารส้มร่วมกับการคุณชับ สารคุณชับที่ใช้ในการทดลองได้แก่ ถ่านกัมมันต์ ชนิดเกรดค และปีลีกลอย โดยแบ่งการศึกษาออกเป็น 2 ส่วน คือ ส่วนแรกเป็นการกำจัดลีสังเคราะห์โดยลีที่ใช้เป็น ลีที่ละลายน้ำได้ 4 ประเภท คือ ลีเบสิก, ลีได แรกท์, ลีรีแอคทีฟ และลีเอเซิค โดยที่ลีเอเซิค ลีไดแรกท์ และลีรีแอคทีฟ มีประจุลบ และลีเบสิกมีประจุบวก ประสิทธิภาพในการกำจัดลี กำจัดลีโดยใช้สารส้มโดยสารส้มสามารถกำจัดลีในกลุ่มประจุลบได้มากกว่าร้อยละ 80 ยกเว้นลี Levafix Navy Blue ที่มีประสิทธิภาพในการกำจัดร้อยละ 11.00 เมื่อมีการเติมสารลดลีชนิด Colfoc RD ร่วมกับสารส้ม สามารถกำจัดลี Levafix Navy Blue ได้เพิ่มขึ้นเป็นร้อยละ 88.00 ส่วนสารส้มกำจัดลีประจุบวกได้น้อยมาก การกำจัดลีโดยใช้ถ่านเป็นตัวคุณชับพบว่าสามารถคุณชับลีในประจุบวก ได้ดีกว่าในประจุลบ ในขณะที่การกำจัดลีโดยใช้ปีลีกลอย พบร่วมความสามารถกำจัดลีได้เพิ่มขึ้นจากการใช้สารส้ม ส่วนที่สองเป็นการกำจัดลีจากโรงงาน

ฟอกข้อมพบว่า การกำจัดสีข้อมโดยใช้สารส้มมีประสิทธิภาพร้อยละ 67.7-72.8 ลดค่าซีไอดี (COD) ได้ร้อยละ 65.0-74.0 ส่วนการกำจัดสีโดยใช้วิธีอื่นๆ เช่น การใช้ถ่าน การใช้สารส้มร่วมกับถ่าน พบว่ามีค่าใช้จ่ายสูงเมื่อเทียบกับประสิทธิภาพ ส่วนการใช้ขี้เก้า洩อยซึ่งเป็นของเสียจากการเผาไหม้สามารถกำจัดสีได้มาก แต่การใช้สารส้มร่วมกับขี้เก้า洩อย พบว่า ประสิทธิภาพการกำจัดสีไม่ได้เพิ่มขึ้น เมื่อเทียบกับการใช้สารส้มเพียงอย่างเดียว

อำนาจ (2546) ได้ศึกษาการใช้โพลีอะลูมิเนียมคลอไคร์ดร่วมกับแกลบเนาชิลิกาอะลูมินา หรือ เก้า洩อย อย่างได้อย่างหนึ่ง ใน การกำจัดสีนำากาส่า ด้วยกระบวนการ โโคแอกูเลชั่น ใช้น้ำากาส่าที่ผ่านการกำจัดโดยบ่อน้ำดทางชีวภาพ โดยนำมาเจือจาง 5 เท่า ค่าความเข้มสีอยู่ที่ประมาณ 900 – 1200 เอสู และน้ำากาส่าที่ไม่ผ่านการกำจัดโดยกระบวนการชีวภาพ ความเข้มสีประมาณ 1300 – 1500 เอสู พบว่า การใช้โพลีอะลูมิเนียมคลอไคร์ด 8 กรัมต่อลิตร สามารถกำจัดสีได้ร้อยละ 94.64 สำหรับน้ำที่ผ่านการกำจัดทางชีวภาพแล้ว และใช้โพลีอะลูมิเนียมคลอไคร์ด 10 กรัมต่อลิตร สามารถกำจัดสีได้ร้อยละ 65.89 สำหรับน้ำที่ไม่ผ่านการกำจัดทางชีวภาพ

Harrelkas *et al.* (2009) ศึกษาการกำจัดน้ำทิ้งจากโรงงานฟอกข้อมโดยการใช้โโคแอกูเลชั่น-ฟลีอกกูเลชั่น ร่วมกับการคุณซับด้วยผงถ่านกัมมันต์ พบว่า ค่าพีเอชที่เหมาะสมสำหรับกระบวนการ โโคแอกูเลชั่น-ฟลีอกกูเลชั่น(CF) คือ พีเอช 5 , สารละลายน AI2(SO4)3 ใช้ในการตกรตะกอน 100 มิลลิกรัมต่อลิตร และ 4 มิลลิกรัมต่อลิตร ในการสร้างตะกอน ซึ่งสามารถลดค่าซีไอดีและความเข้มข้นสีจากน้ำทิ้งได้อีกทึ้ง การใช้วิธีการ โโคแอกูเลชั่น-ฟลีอกกูเลชั่นร่วมด้วยไมโครฟิวเตอรชั่น (MF) หรืออัลตร้าฟิวเตอรชั่น (UF) และการคุณซับด้วยผงถ่านกัมมันต์ โดย CF/MF, CF/UF, และ CF/PAC สามารถกำจัดค่าซีไอดีได้ร้อยละ 37, 42 และมากกว่าร้อยละ 80 ตามลำดับ และสามารถลดความเข้มข้นของสีได้ถึงร้อยละ 65,74 และ 50 ตามลำดับ

อุปกรณ์และวิธีการ

อุปกรณ์

1. อุปกรณ์

- 1.1 เครื่องยูวี-วิสิเบิล สเปกโตร ไฟโตมิเตอร์ (UV-Visible Spectrophotometer) รุ่น Spectrum SP-1105
- 1.2 เครื่องวัด pH รุ่น model 410 บริษัท Thermo Orion., USA
- 1.3 เครื่องชั่งน้ำหนักชนิดคละเอียง อ่านค่าละเอียด 0.0001 g รุ่น WB-0250003 บริษัท KERM & Sohn GmbH
- 1.4 เครื่องเทย়া (shaker) รุ่น Model VRN-480 บริษัท Gemmy Industrial Corp.
- 1.5 ตู้อบ (Oven) รุ่น OF-11E บริษัท JEIO TECH, KOREA
- 1.6 กระดาษกรอง GF/C ขนาด 0.45 ไมครอน บริษัท whatman
- 1.7 เดสซิเกเตอร์ (Dessicator)
- 1.8 ใบพัด และ มอเตอร์
- 1.9 เครื่องปั่นคละเอียง
- 1.10 เครื่องแก้วต่างๆ ที่ใช้ในห้องปฏิบัติการที่ล้างด้วยกรดและนำกลับจนสะอาด

2. สารเคมี

2.1 สารละลายสีข้อมมาตรฐาน 9 สี ได้แก่ 6% Super Black G, 2% Turquoise H-GN, 2% Yellow LS-4G, 2% Yellow LS-R-01, 2% Orange LS-BR, 4% Navy LS-G, 2% Red LS-B, 2% Blue LS-3R และ 2% Br.Blue LS-G

2.2 โซเดียมไฮดรอกไซด์ (Sodium hydroxide, NaOH)

2.3 สารละลายไฮโดรคลอริก (Hydrochloric, HCl)

3. วัสดุดูดซับ

3.1 ผงเมล็ดมะรุม

3.2 ถ่านบิทูมินัสเชิงพาณิชย์

วิธีการ

1. การเตรียมสารละลาย

1.1 การเตรียมสารละลายสีข้อมมาตรฐาน เป็นขั้น 10, 20, 30, 40 และ 50 มิลลิกรัมต่อลิตร

ชั้งสีข้อมมาตรฐานแต่ละสี (มีทั้งหมด 9 สี ดังแสดงในตารางที่ 3) 0.01 กรัม ใส่ในบีกเกอร์แต่ละใบละลายด้วยน้ำกลั่นและปรับปริมาตรเป็น 1,000 มิลลิลิตร ในขวดปรับปริมาตรแต่ละใบจะได้สารละลายสีข้อมมาตรฐานแต่ละสีเป็นขั้น 10 มิลลิกรัมต่อลิตร ทำการทดลองเช่นเดียวกันแต่ชั้งสีข้อมมาตรฐานแต่ละสี 0.02, 0.03, 0.04 และ 0.05 กรัม จะได้สารละลายสีข้อมมาตรฐานแต่ละสีเป็นขั้น 20, 30, 40 และ 50 มิลลิกรัมต่อลิตร ตามลำดับ ดังแสดงในภาพที่ 29



ภาพที่ 29 สารละลายสีข้อมมาตรฐานแต่ละสีที่เตรียมได้

1.2 การเตรียมสารละลายสีข้อมผสม ชนิดที่ 1

นำสารละลายสีข้อมมาตรฐานแต่ละสีเป็นขั้น 50 มิลลิกรัมต่อลิตร มาปริมาตรเท่ากันทุกสี ผสมจนเป็นเนื้อเดียวกัน และนำสารละลายสีข้อมผสมที่เตรียมได้ใช้ในการศึกษาทดลองเป็นนำเสนอสังเคราะห์ แทนนำเสนอจากโรงงานย้อมผ้า โครงการพัฒนาดอยตุง

1.3 การเตรียมสารละลายสีข้อมผสม ชนิดที่ 2

นำสารละลายสีข้อมมาตรฐานแต่ละลีบเข้มข้น 30 มิลลิกรัมต่อลิตร มาปริมาตรเท่ากันทุกตัว และทำการทดลองเช่นเดียวกับข้อ 1.2

2. การเตรียมตัวคูดซับผงเมล็ดมะรุมและถ่านบิทูมนัสเซิงพาณิชย์

2.1 ผงเมล็ดมะรุม เตรียมโดยนำฝักมะรุมที่แก่จัดมาแกะเอาเมล็ดออกจากเปลือกหุ้มเมล็ดจากนั้นนำเมล็ดมาตากแดดจนกระทั่งเมล็ดแห้งสนิท แล้วอบที่อุณหภูมิ 103–105 องศาเซลเซียส เป็นเวลา 2 ชั่วโมงเพื่อไล่ความชื้นออก นำเมล็ดที่แห้งแล้ว มาปั่นด้วยเครื่องปั่นจนเป็นผงละเอียดจากนั้นเก็บไว้ในเดสเซนเตอร์ เพื่อใช้ในการศึกษาวิจัยต่อไป

2.2 ถ่านบิทูมนัสเซิงพาณิชย์ เตรียมโดยนำถ่านบิทูมนัสเซิงพาณิชย์มาอบที่อุณหภูมิ 103–105 องศาเซลเซียส เป็นเวลา 2 ชั่วโมงเพื่อไล่ความชื้นออก จากนั้นเก็บไว้ในเดสเซนเตอร์ เพื่อใช้ในการศึกษาวิจัยต่อไป

3. การเตรียมกราฟมาตรฐานของสารละลายสีข้อมผสม

เตรียมสารละลายสีข้อมมาตรฐาน ความเข้มข้น 10, 20, 30, 40 และ 50 มิลลิกรัมต่อลิตร โดยทำการเตรียมดังวิธีการในข้อ 1.1 จากนั้นนำสารละลายสีข้อมผสม นำมาวัดค่าดูดกลืนแสงด้วยเครื่องยูวี-วิสิเบิล สเปกโตรโฟโตมิเตอร์ (UV-Visible Spectrophotometer) ที่ค่าความยาวคลื่น 400, 420, 434, 546, 588, 594, 616, 662 และ 666 นาโนเมตร ตามลำดับ

**ตารางที่ 3 สีข้อม (Reactive dye) จากโรงงานข้อมผ้า โครงการพัฒนาดอยตุง 9 ชนิด และค่าความ
ยาวคลื่นที่เหตุละสีดูดกลืนแสง ได้ดีที่สุด**

Dyes	$\lambda_{\text{max}} (\text{nm})$
	6% Super Black G
	2% Turquoise H-GN
	2% Yellow LS-4G
	2% Yellow LS-R-01
	2% Orange LS-BR
	4% Navy LS-G
	2% Red LS-B
	2% Blue LS-3R
	2% Br.Blue LS-G

4. ศึกษาสภาวะที่เหมาะสมในการคุณชับสีข้อมในน้ำเสียสังเคราะห์ ด้วยผงเมล็ดมะรุมและถ่านบิทูมินัสน้ำแข็งพานิชย์โดยวิธีการทดลองแบบทดลอง

ในการศึกษาได้ใช้สารละลายสีข้อมผสมชนิดที่ 1 ใน การทดลอง และปัจจัยที่ทำการศึกษาเพื่อให้ได้สภาวะที่เหมาะสมสำหรับการคุณชับสีข้อมด้วยผงเมล็ดมะรุมและถ่านบิทูมินัสน้ำแข็งพานิชย์ มีดังนี้

4.1 ศึกษาปริมาณผงเมล็ดมะรุมเริ่มต้น

ชั้งผงเมล็ดมะรุมปริมาณ 1, 2, 3, 4, 5, 6, 7 และ 8 กรัมต่อสารละลายสีข้อมผสมชนิดที่ 1 ปริมาตร 50 มิลลิลิตร นำไปเบ่าด้วยเครื่องเบาที่ความเร็วรอบ 100 รอบต่อนาที เป็นระยะเวลา 30 นาที ตั้งทิ้งไว้ 30 นาที กรองสารละลายผ่านกระดาษกรองขนาด 0.45 ไมครอน นำไปวัดค่าคุณลักษณะที่ความขาวคลื่น 400, 420, 594, 616, 434, 588, 546, 666 และ 662 นาโนเมตรตามลำดับ และวิเคราะห์หาประสิทธิภาพการคุณชับสีข้อมของผงเมล็ดมะรุม ทำการทดลองซ้ำ 3 ครั้ง และนำถ่านบิทูมินัสน้ำแข็งพานิชย์มาทำการทดลองเช่นเดียวกับผงเมล็ดมะรุม

4.2 ศึกษาอิทธิพลของพีเอช

ชั้งผงเมล็ดมะรุมในปริมาณเท่ากันที่ทำให้ประสิทธิภาพการคุณชับสูงสุดที่ได้จากการทดลองในข้อ 4.1 ต่อสารละลายสีข้อมผสม 50 มิลลิลิตรที่มีการปรับค่าพีเอชให้มีค่าเท่ากับ 4, 5, 7 และ 8 จากนั้นทำการทดลองเช่นเดียวกับข้อ 4.1 และนำถ่านบิทูมินัสน้ำแข็งพานิชย์มาทำการทดลองเช่นเดียวกัน

4.3 ศึกษาอิทธิพลของความเร็วรอบการเบ่า

ทำการทดลองเช่นเดียวกับข้อ 4.2 โดยปรับพีเอชให้มีค่าเท่ากับพีเอชที่ให้ร้อยละการคุณชับดีที่สุดจากการทดลองข้อ 4.2 และแปรผันความเร็วรอบการเบาเป็น 0, 50, 100, 150 และ 200 รอบต่อนาที และนำถ่านบิทูมินัสน้ำแข็งพานิชย์มาทำการทดลองเช่นเดียวกัน

4.4 ศึกษาอิทธิพลของระยะเวลาเบี่ยง

ทำการทดลองเช่นเดียวกับข้อ 4.3 โดยเบี่ยงที่ความเร็วรอบเท่ากับความเร็วรอบที่ให้ร้อยละการดูดซับดีที่สุดจากการทดลองข้อ 4.3 และแบ่งพันระยะเวลาเบี่ยงเป็น 15, 30, 45, 60, 75, 90, 105 และ 120 นาที และนำถ่านบิทูมินัสเซิงพาณิชย์มาทำการทดลองเช่นเดียวกัน

4.5 ศึกษาอิทธิพลของระยะเวลาเข้าสู่สมดุล

ทำการทดลองเช่นเดียวกับข้อ 4.4 โดยระยะเวลาเบี่ยงนานเท่ากับระยะเวลาที่ให้ร้อยละการดูดซับดีที่สุดจากการทดลอง ข้อ 4.4 และแบ่งพันระยะเวลาเข้าสู่สภาวะสมดุลเป็น 0, 30, 60, 90 และ 120 นาที และนำถ่านบิทูมินัสเซิงพาณิชย์มาทำการทดลองเช่นเดียวกัน

4.6 ศึกษาอิทธิพลของความเข้มข้นสารละลายสีข้อมผสม

ทำการทดลองเช่นเดียวกับข้อ 4.5 โดยระยะเวลาเข้าสู่สมดุลนานเท่ากับระยะเวลาที่ให้ร้อยละการดูดซับดีที่สุดจากการทดลองข้อ 4.5 และแบ่งความเข้มข้นสารละลายสีข้อมผสมเป็น 10, 20, 30, 40 และ 50 มิลลิกรัมต่อลิตร และนำถ่านบิทูมินัสเซิงพาณิชย์มาทำการทดลองเช่นเดียวกัน

4.7 ศึกษาอิทธิพลของปริมาณผงเมล็ดมะรุมที่เหมาะสมและไอโซเทอร์มในการดูดซับสีข้อม

ชั้งผงเมล็ดมะรุมป्रิมาณ 1, 2, 3, 4 และ 5 กรัม ทำการทดลองเช่นเดียวกับข้อ 4.6 โดยตั้งทึ้งไวนานเท่ากับระยะเวลาที่เข้าสู่สภาวะสมดุลที่ให้ร้อยละการดูดซับดีที่สุดจากการทดลองข้อ 4.6 และนำข้อมูลที่ได้มาเขียนไอโซเทอร์มของแอลเมียร์และฟรุนดิชและนำถ่านบิทูมินัสเซิงพาณิชย์มาทำการทดลองเช่นเดียวกัน

4.8 ศึกษาประสิทธิภาพการคุณชับสีข้อมในสารละลายน้ำที่มีมาตรฐาน ด้วยผงเมล็ดมะรุม และถ่านบิทูมินัสเชิงพาณิชย์โดยทำการทดลองแบบเบตซ์

ทำการทดลองที่สภาวะที่เหมาะสม โดยชั่งผงเมล็ดมะรุมในปริมาณเท่ากับที่ให้ร้อยละ การคุณชับสูงสุดที่ได้จากการทดลองในข้อ 4.7 ทำการทดลองเช่นเดียวกับข้อ 4.7 โดยทำการทดลอง 7 ชั่วโมง

5. การเก็บตัวอย่างน้ำทึบจากโรงงานข้อมผ้า โครงการพัฒนาดอยตุง และวิเคราะห์คุณภาพน้ำ

ทำการเก็บตัวอย่างน้ำทึบจากโรงงานข้อมผ้า โครงการพัฒนาดอยตุง หลังผ่านการกำจัดก่อนปล่อยลงสู่แหล่งน้ำสาธารณะ โดยทำการเก็บตัวอย่างน้ำขนาด 20 ลิตร ด้วยตัวอย่างน้ำทึบ 1-2 ครั้ง ก่อนจะทำการเก็บตัวอย่างน้ำใส่ภาชนะเก็บน้ำ นำน้ำด้วยตัวอย่างมาวิเคราะห์ปริมาณสีข้อมและดัชนีคุณภาพน้ำ ได้แก่ อุณหภูมิ (temperature), ของแข็งทั้งหมด (total solids), ของแข็งแขวนลอย (total suspended soild), ของแข็งละลายน้ำ (total dissolved solids), ค่าความเป็นกรด-ด่าง (pH), ค่าการนำไฟฟ้า (conductivity), ค่าความเค็ม (salinity), ออกซิเจนที่ละลายน้ำ (dissolved oxygen, DO) และ ค่าความสกปรกของน้ำ (biochemical oxygen demand, BOD)

6. ศึกษาประสิทธิภาพการคุณชับสีข้อมในตัวอย่างน้ำทึบจากโรงงานข้อมผ้า โครงการพัฒนาดอยตุง ด้วยผงเมล็ดมะรุมและถ่านบิทูมินัสเชิงพาณิชย์ โดยทำการทดลองแบบเบตซ์

นำน้ำทึบจากโรงงานข้อมผ้า โครงการพัฒนาดอยตุง มาทดลองใช้ในสภาวะที่เหมาะสมที่ได้จากการทดลองแบบเบตซ์ โดยชั่งผงเมล็ดมะรุมในปริมาณเท่ากับที่ให้ร้อยละการคุณชับสูงสุดที่ได้จากการทดลองในข้อ 4.8 ทำการทดลองเช่นเดียวกับข้อ 4.8 โดยทำการทดลอง 7 ชั่วโมง จากนั้นนำน้ำทึบที่ผ่านการคุณชับด้วยผงเมล็ดมะรุม มาวิเคราะห์ดัชนีคุณภาพน้ำหลังการคุณชับ สำหรับถ่านบิทูมินัสเชิงพาณิชย์ทำการทดลองเช่นเดียวกับผงเมล็ดมะรุม

7. ศึกษาประสิทธิภาพการกำจัดสีข้อมในน้ำเสียสังเคราะห์และน้ำทิ้งจากโรงงานย้อมผ้า ด้วยกระบวนการโคแอกกูเลชั่น โดยใช้วิธีจาร์เทสต์

ในการศึกษาใช้สารละลายน้ำสีข้อมผสมชนิดที่ 2 ในการศึกษา

7.1 ทำการศึกษาประสิทธิภาพการกำจัดสีข้อมในสารละลายน้ำสีข้อมผสมด้วยกระบวนการโคแอกกูเลชั่น โดยใช้วิธีจาร์เทสต์ ดังแสดงในภาพที่ 30 ในที่นี้ประยุกต์ใช้พงเมล์ดมารุ่ม เพื่อหาปริมาณสารสร้างตะกอนที่เหมาะสม (optimum dose) และค่าพีเอชที่เหมาะสม (optimum pH) มีขั้นตอนดังต่อไปนี้



ภาพที่ 30 การศึกษาประสิทธิภาพการกำจัดสีข้อมในสารละลายน้ำสีข้อมผสมด้วยกระบวนการโคแอกกูเลชั่น โดยวิธีจาร์เทสต์

7.1.1 ศึกษาปริมาณสารสร้างตะกอนที่เหมาะสมโดยใช้พงเมล์ดมารุ่มในการทดลองแบบหยาบ

1) นำสารละลายน้ำสีข้อมผสม ปริมาตร 800 มิลลิลิตร มาเติมลงใน บีกเกอร์ขนาด 1000 มิลลิลิตร จำนวน 6 ใบ

2) ใส่สารละลายน้ำสีข้อมผสมด้วยความเร็ว 100 รอบต่อนาที เป็นระยะเวลา 1 นาที เพื่อให้ตัวอย่างน้ำพสมเข้ากันเป็นอย่างดี

3) เติมสารสร้างตะกอนที่ต้องการทดสอบ (ผงเมล็ดมะรุม) ลงในน้ำตัวอย่างโดยศึกษาที่ปริมาณตั้งแต่ 0.5-2 กรัม ทำการทดลอง 3 ช้ำ

4) กรณเร็วด้วยความเร็ว 100 รอบต่อนาที เป็นระยะเวลา 1 นาที เพื่อให้น้ำตัวอย่างและสารสร้างตะกอนผสมเข้ากันเป็นอย่างดี

5) กรณช้าด้วยความเร็ว 50 รอบต่อนาที เป็นระยะเวลา 5 นาที และความเร็วรอบ 20 รอบต่อนาที เป็นระยะเวลา 5 นาที

6) ปล่อยให้เกิดการตกตะกอนโดยตั้งทิ้งไว้เป็นระยะเวลา 30 นาที จากนั้นนำกรองด้วยผ้าขาวบางที่เตรียมไว้และนำสารละลายที่กรองได้มาวิเคราะห์ ความเข้มข้นของแต่ละสีข้อมค่าพิเศษ และความชุ่น

7) นำผลการทดลองที่ได้มาวิเคราะห์หาปริมาณสารสร้างตะกอนที่เหมาะสมแบบละเอียดต่อไป

7.1.2 ศึกษาค่าพิเศษที่เหมาะสมในการตกตะกอน

ดำเนินการทดลองเช่นเดียวกับข้อ 7.1.1 โดยการปรับค่าพิเศษในน้ำตัวอย่างตั้งแต่ช่วงพิเศษ 4-8 ด้วยสารละลายกรดไฮดรคลอริก 1 โมลต่อลิตร และสารละลายโซเดียมไฮดรอกไซด์ 1 โมลต่อลิตร แล้วนำผลการทดลองที่ได้มาวิเคราะห์หาค่าพิเศษที่เหมาะสมในการตกตะกอน

7.1.3 ศึกษาปริมาณสารสร้างตะกอนที่เหมาะสมในการตกตะกอนแบบละเอียด

ดำเนินการทดลองเช่นเดียวกับข้อ 7.1.2 โดยการเติมสารสร้างตะกอนที่ต้องการทดสอบลงในน้ำตัวอย่าง โดยใช้ผงเมล็ดมะรุมที่ให้ผลการทดลองที่ดีที่สุดในข้อ 7.1.1 ลงในสารละลายสีข้อมผสมที่ระดับความเข้มข้น 30 มิลลิกรัมต่อลิตร แล้วนำผลการทดลองที่ได้มาวิเคราะห์หาปริมาณสารสร้างตะกอนที่เหมาะสมในการตกตะกอนแบบละเอียด

7.2 ทำการศึกษาประสิทธิภาพการจำจัดสีข้อมในน้ำเสียจากโรงงานข้อมผ้าโครงการพัฒนาดอยดุง อันเนื่องมาจากพระราชดำริ ด้วยกระบวนการโคแอคทีฟเลชั่น โดยใช้วิธีจาร์เทสต์ โดย

ทำการศึกษาทดลองเช่นเดียวกันกับ ข้อ 7.1 จากนั้นนำน้ำที่ผ่านกระบวนการกำจัดแล้วมาวิเคราะห์คุณภาพน้ำหลังการกำจัด

8. ศึกษาประสิทธิภาพเพื่อการประยุกต์ใช้งานจริงในการกำจัดสีเยื่อโดยใช้ผงเมล็ดมะรุมเป็นสารสร้างตะกอน

8.1 ทดลองกับน้ำเสียสังเคราะห์

นำสารละลายสีเยื่อผสมชนิดที่ 2 ปริมาตร 20 ลิตร ปรับพิอุชให้มีค่าเท่ากับพิอุชที่ให้ร้อยละการดูดซับดีที่สุดที่ได้จากการทดลองข้อ 4.2 ทำการทดลองโดยศึกษาที่ปริมาณตั้งแต่ 5-45 กรัม โดยใช้ใบพัดปั่นกวนเร็วเป็นเวลา 1 นาที เพื่อให้น้ำเสียสังเคราะห์ผสมเข้ากันเป็นอย่างดี จากนั้นเติมสารสร้างตะกอนลงไป (ผงเมล็ดมะรุม) และใช้ใบพัดปั่นกวนเร็วเป็นเวลา 1 นาที เพื่อให้น้ำเสียสังเคราะห์และสารสร้างตะกอนผสมเข้ากันเป็นอย่างดี จากนั้นใช้แท่งแก้วปั่นกวนช้าเป็นเวลา 10 นาที และปล่อยให้เกิดการตกตะกอนโดยตั้งทิ้งไว้เป็นระยะเวลา 30 นาที จากนั้นนำมากรองด้วยผ้าขาวบางและนำสารละลายที่กรองได้มาวิเคราะห์ ความเข้มข้นของแต่ละสีเยื่อ ความชุ่นและประสิทธิภาพการกำจัด ดังแสดงในภาพที่ 31



ภาพที่ 31 อุปกรณ์ที่ใช้ในการกำจัดสีเยื่อเพื่อการนำไปประยุกต์ใช้งานจริง

8.2 ทดลองกับน้ำทึบจากโรงงานข้อมผ้า โครงการพัฒนาดอยตุง อันเนื่องมาจากพระราชดำริ

นำน้ำทึบจากโรงงานข้อมผ้า โครงการพัฒนาดอยตุงอันเนื่องมาจากพระราชดำริ ปริมาตร 20 ลิตร ลิตร ปรับพีอิชให้มีค่าเท่ากับพีอิชที่ให้ร้อยละการดูดซับดีที่สุดที่ได้จากการทดลองข้อ 4.2 ดำเนินการทดลองเช่นเดียวกับข้อ 8.1 จากนั้นนำน้ำที่ผ่านกระบวนการกำจัดสีข้อมแล้วมาวิเคราะห์คุณภาพน้ำหลังการกำจัดและประสิทธิภาพการกำจัด

สถานที่ทำการทดลอง

ทำการทดลอง ณ ห้องปฏิบัติการเคมี วิทยาลัยสิ่งแวดล้อม มหาวิทยาลัยเกษตรศาสตร์

ระยะเวลาในการทดลอง

ระยะเวลาที่ทำการศึกษาทดลอง 12 เดือน ตั้งแต่เดือน กันยายน พ.ศ. 2553 ถึง กันยายน พ.ศ. 2554

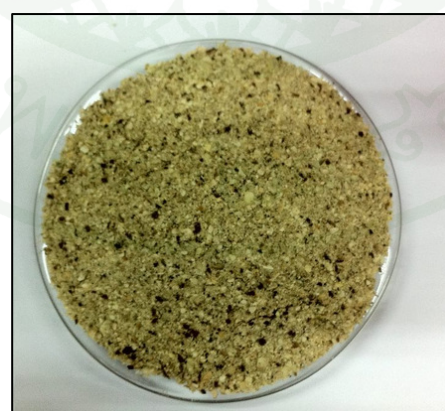
ผลและวิจารณ์

การศึกษาวิจัยนี้เป็นการศึกษาเพื่อเปรียบเทียบความสามารถในการดูดซับสีข้อม้า 9 ชนิด ในน้ำเสียจากโรงงานข้อม้า โครงการพัฒนาดอยตุง โดยใช้ผงจากเมล็ดมะรุมและถ่านบิทูมนิสเชิง พานิชย์ เป็นตัวดูดซับ การทดลองแบ่งออกเป็น 2 ตอน คือ ตอนที่ 1 เป็นการทำการทำทดลองแบบ แบตช์เพื่อศึกษาปัจจัยที่มีผลต่อการดูดซับ ได้แก่ พีเอช, ความเร็วของการเขย่า, ระยะเวลาการเขย่า, ระยะเวลาสัมผัส, ความเข้มข้นของสารละลายสีข้อมผสม, ปริมาณตัวดูดซับ และวิเคราะห์หาไฮโซ เทอร์การดูดซับ โดยใช้สมการของแลงเมียร์และฟรุนดิช ตอนที่ 2 เป็นการทำทดลองด้วยกระบวนการ โโคแอกกูเลชั่นโดยวิธีจาร์เกสต์ และการนำไปประยุกต์ใช้งานจริง ได้ผลการทดลองดังนี้

1. ลักษณะของตัวดูดซับที่ใช้ในการทดลอง

1.1 ผงเมล็ดมะรุม

นำฝิกมะรุมที่แก่จัดมาแกะเอาเมล็ดออกจากเปลือกหุ้มเมล็ด จากนั้นนำเมล็ดมาตาก แดดจนกระทั้งเมล็ดแห้งสนิท แล้วอบที่อุณหภูมิ 103–105 องศาเซลเซียส เป็นเวลา 2 ชั่วโมง เพื่อ ไล่ความชื้นออก นำเมล็ดที่แห้งแล้วมาปั่นด้วยเครื่องปั่นจนเป็นผงละเอียด พบว่า ผงเมล็ดมะรุมที่ เตรียมได้มีลักษณะเป็นผงสีเหลืองอ่อนปนน้ำตาลอ่อน มีความละเอียดปานกลาง ดังแสดงในภาพ ที่ 32



ภาพที่ 32 ผงเมล็ดมะรุม

1.2 ถ่านบิทูมินัสเชิงพาณิชย์

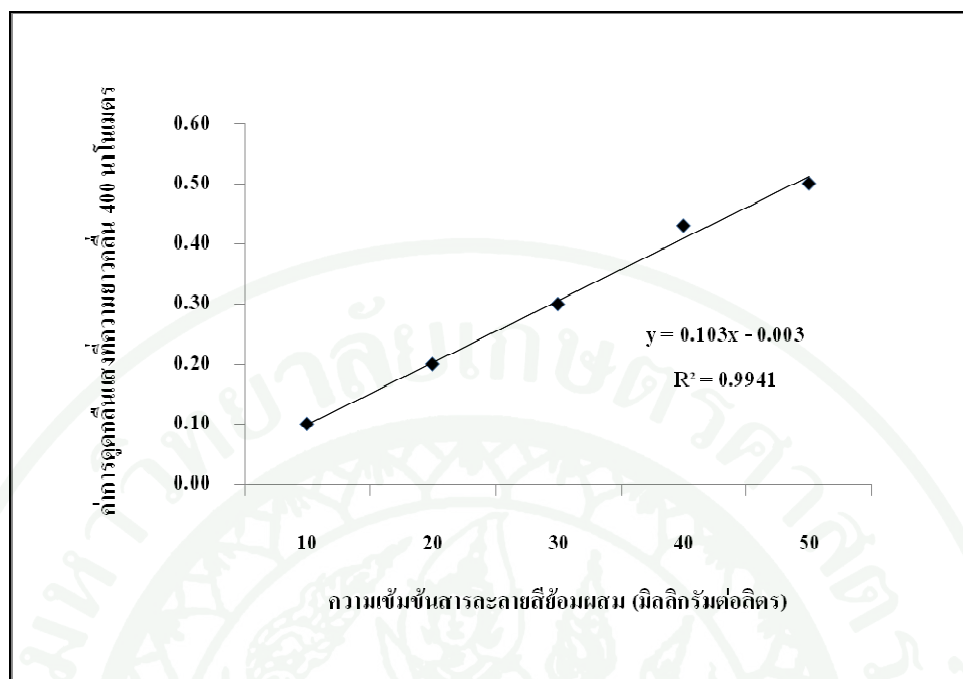
ถ่านบิทูมินัสเชิงพาณิชย์ก่อนนำมาใช้ในการทดลองต้องนำมาอบที่อุณหภูมิ 103–105 องศาเซลเซียส เป็นเวลา 2 ชั่วโมง เพื่อลดความชื้นออก ถ่านบิทูมินัสเชิงพาณิชย์ที่ใช้ในการทดลอง มีลักษณะเป็นเกล็ดสีดำ มีความมันวาว ค่าไฟอของถ่านพบว่า ถ่านบิทูมินัสเชิงพาณิชย์มีไฟอประมาณ 9-10 ดังแสดงในภาพที่ 33



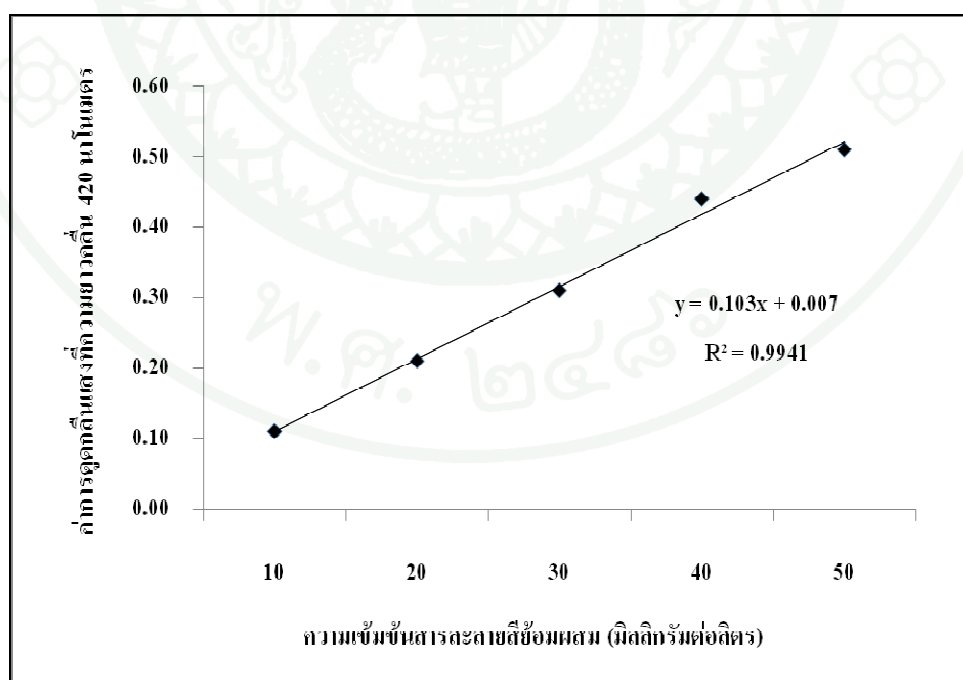
ภาพที่ 33 ถ่านบิทูมินัสเชิงพาณิชย์

2. กราฟมาตรฐานของสารละลายสีข้อมผสม

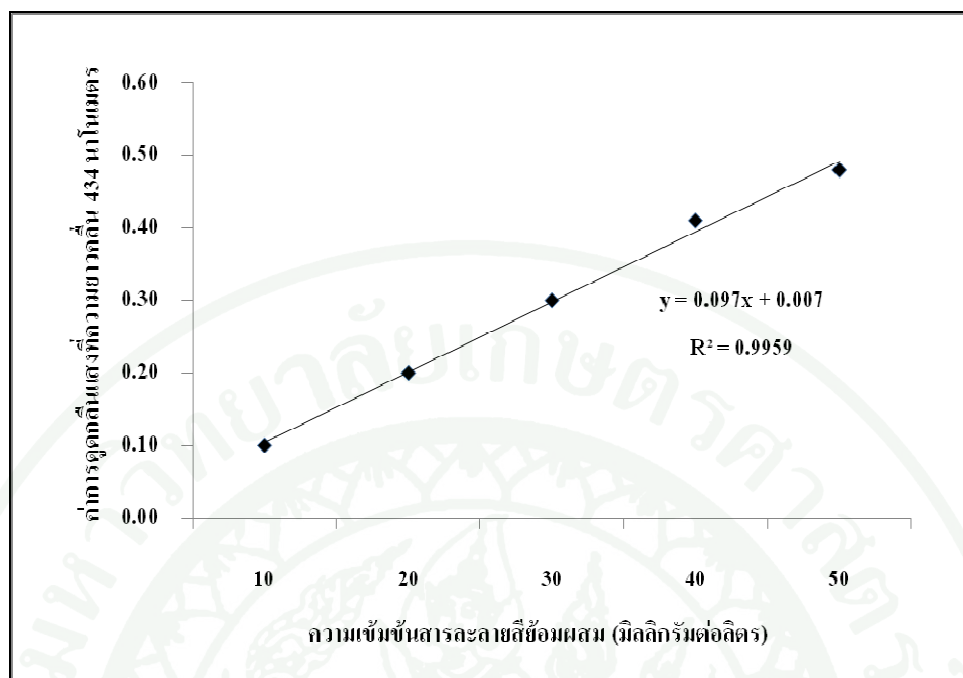
ทดลองโดยเตรียมสารละลายสีข้อมผสม ที่ความเข้มข้น 10, 20, 30, 40 และ 50 มิลลิกรัมต่อลิตร นำสารละลายสีข้อมมาตรฐานแต่ละสี แต่ละความเข้มข้น มาปริมาตรเท่ากันทุกสี จำนวนเจ็ด แล้วนำสีที่ได้มาจ่อแสงจากนั้นนำมาวัดค่าดูดกลืนแสงด้วยเครื่องยูวี-วิสิเบิล สเปกโตรโฟโตมิเตอร์ (UV-Visible Spectrophotometer) ที่ค่าความยาวคลื่น 400, 420, 434, 546, 588, 594, 616, 662 และ 666 นาโนเมตร ตามลำดับ เมื่อเขียนกราฟมาตรฐานแสดงความสัมพันธ์ระหว่างค่าการดูดกลืนแสง (แกนตั้ง) และความเข้มข้นของสารละลายสีข้อมผสม (แกนนอน) พบว่า ค่าสัมประสิทธิ์สหสัมพันธ์ (Rsquare) ของสารละลายสีข้อมผสม มีค่าเท่ากับ 0.9941, 0.9941, 0.9959, 0.9982, 0.9959, 0.9980, 0.9985, 0.9987 และ 0.9959 ตามลำดับ ซึ่งอยู่ในเกณฑ์ที่ยอมรับได้ดังแสดงในภาพที่ 34-42



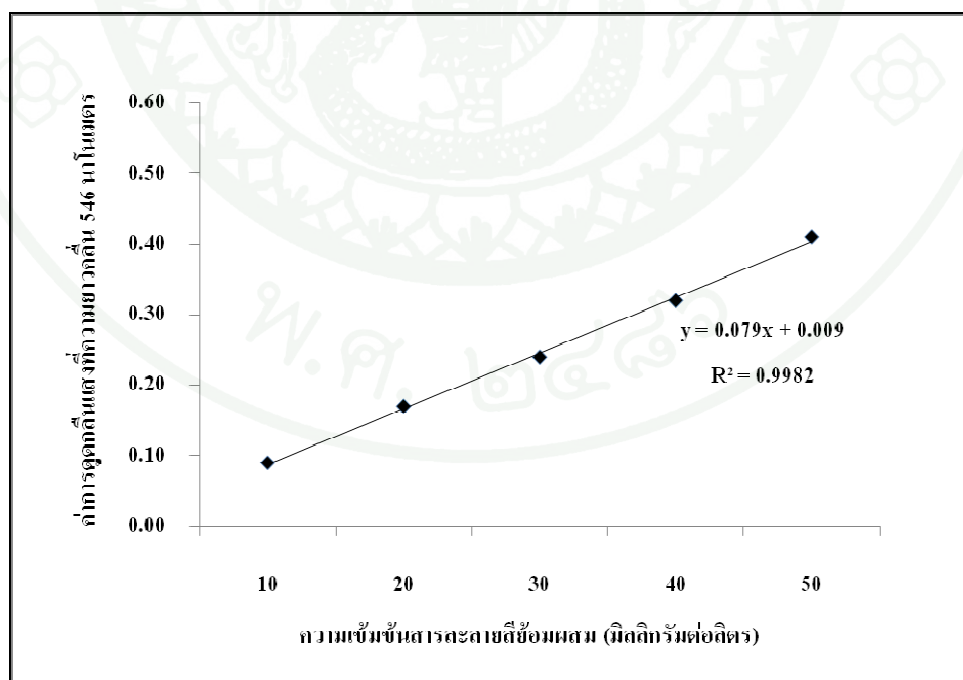
ภาพที่ 34 กราฟมาตรฐานของสารละลายนีโอ้มัฟฟ์ที่ความยาวคลื่น 400 นาโนเมตร



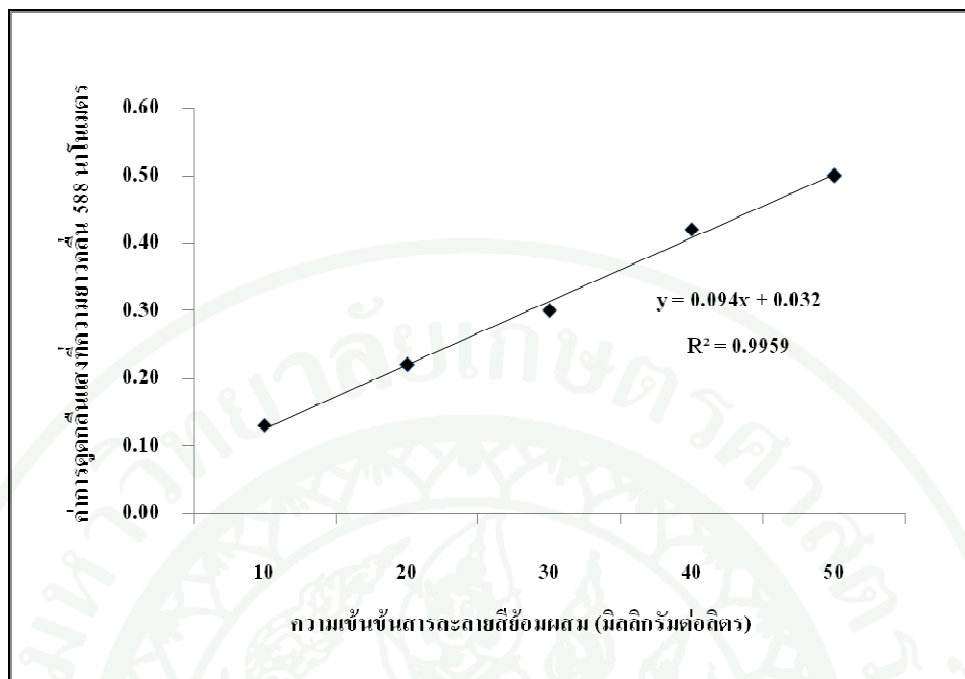
ภาพที่ 35 กราฟมาตรฐานของสารละลายนีโอ้มัฟฟ์ที่ความยาวคลื่น 420 นาโนเมตร



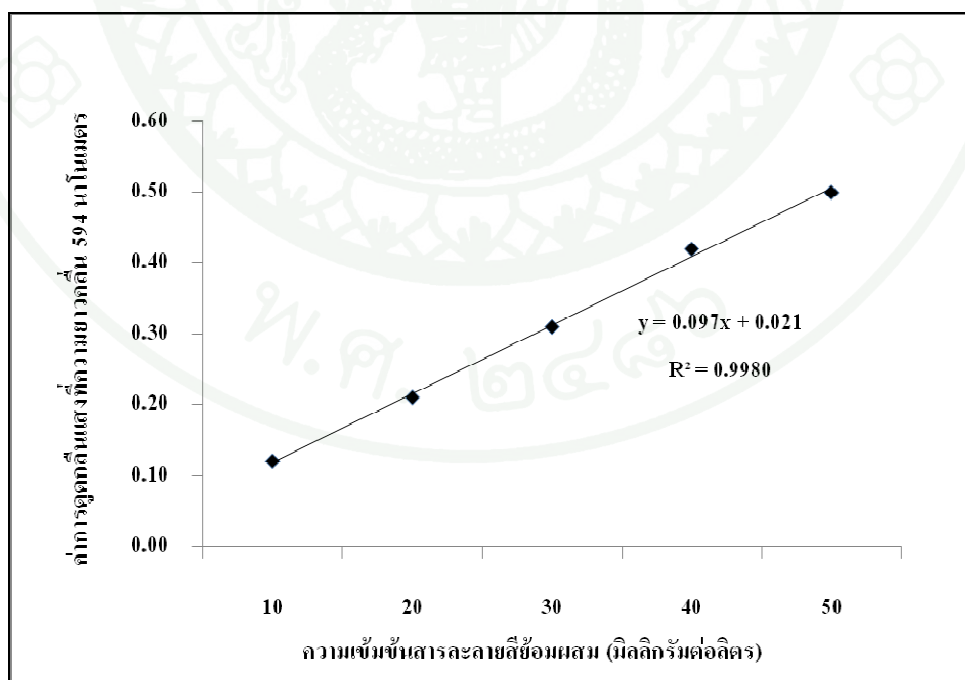
ภาพที่ 36 กราฟมาตราฐานของสารละลายสีข้อมผสมที่ความยาวคลื่น 434 นาโนเมตร



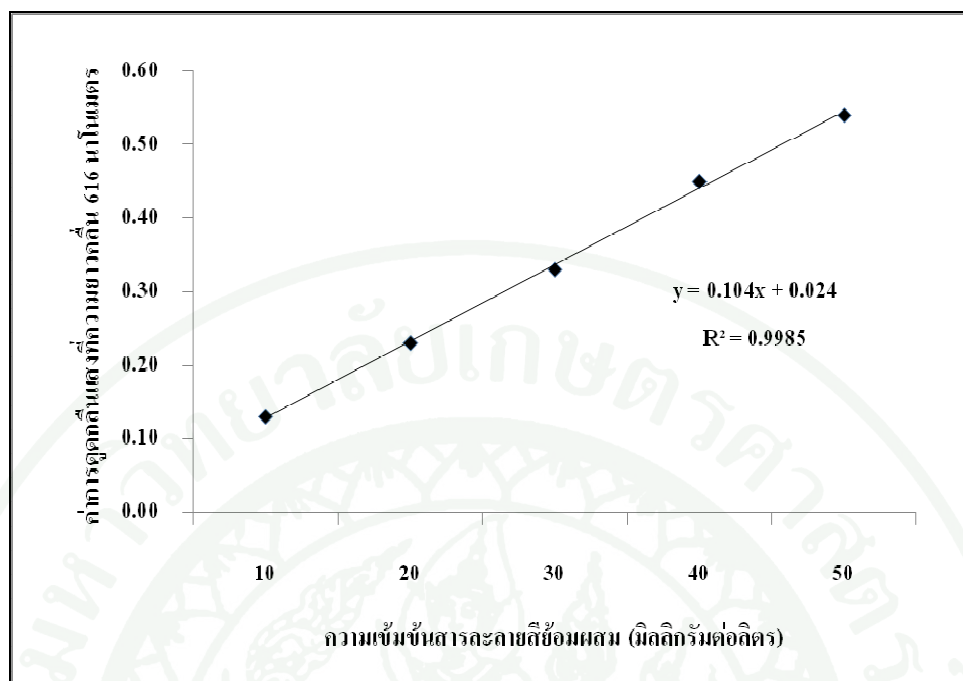
ภาพที่ 37 กราฟมาตราฐานของสารละลายสีข้อมผสมที่ความยาวคลื่น 546 นาโนเมตร



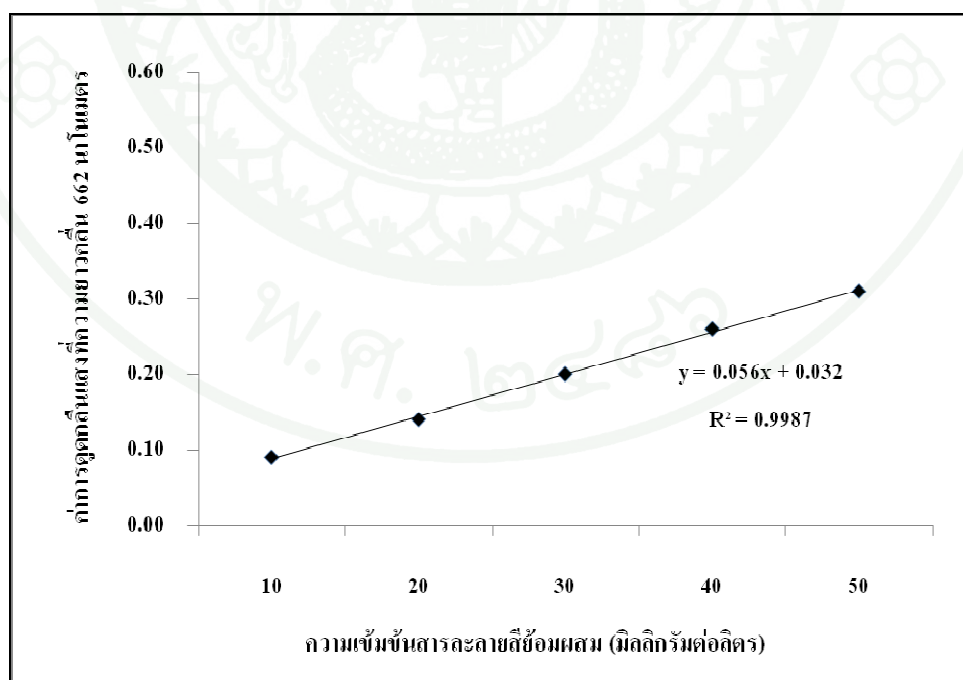
ภาพที่ 38 กราฟมาตราฐานของสารละลายสีข้อมผสมที่ความยาวคลื่น 588 นาโนเมตร



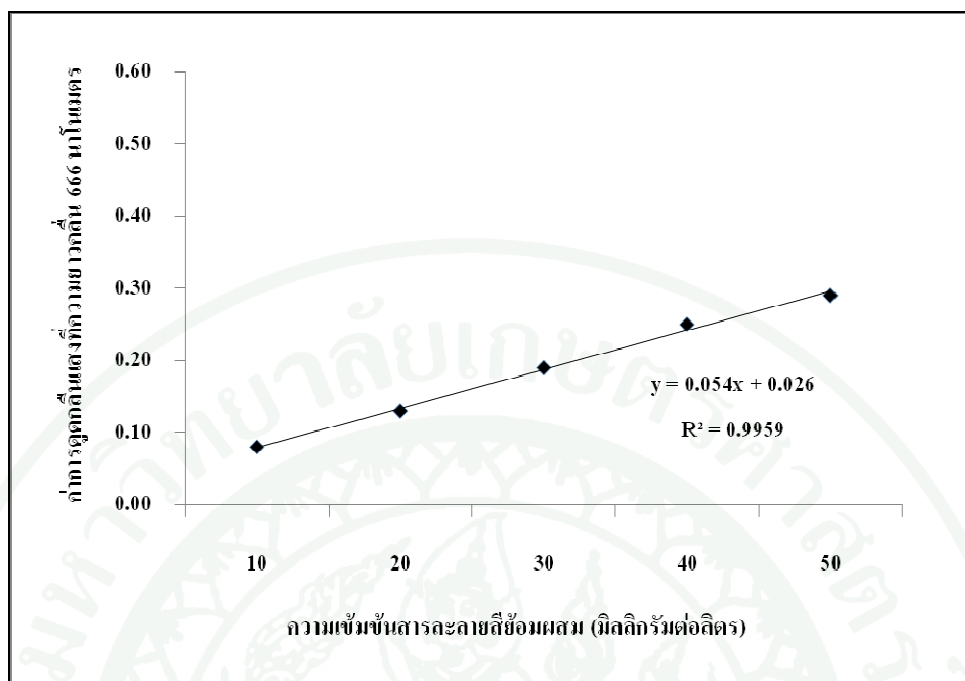
ภาพที่ 39 กราฟมาตราฐานของสารละลายสีข้อมผสมที่ความยาวคลื่น 594 นาโนเมตร



ภาพที่ 40 กราฟมาตราฐานของสารละลายน้ำในชั้น表層ที่ความยาวคลื่น 616 นาโนเมตร



ภาพที่ 41 กราฟมาตราฐานของสารละลายน้ำในชั้น表層ที่ความยาวคลื่น 662 นาโนเมตร



ภาพที่ 42 กราฟมาตราฐานของสาระลายลักษณ์อักษรที่ความยาวคลื่น 666 นาโนเมตร

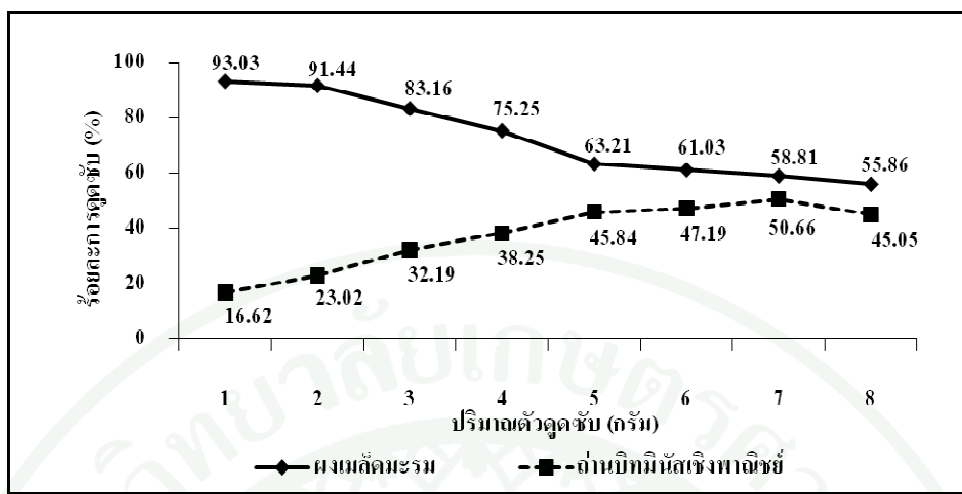
3. ผลการศึกษาสภาวะที่เหมาะสมในการคุดชับสีข้อมในน้ำทึ้งจากโรงงานย้อมผ้า โครงการพัฒนาดอยตุง ด้วยผงเมล็ดมะรุมและถ่านบิทูมินัสเชิงพาณิชย์โดยวิธีการทดลองแบบ辦法

3.1 ศึกษาปริมาณเริ่มต้น

จากการทดลองในข้อที่ 4.1 ได้นำผงเมล็ดมะรุมและถ่านบิทูมินัสเชิงพาณิชย์ปริมาณ 1, 2, 3, 4, 5, 6, 7 และ 8 กรัม ต่อสารละลายสีข้อมผสม 50 มิลลิลิตร แล้วนำไปเขย่าด้วยเครื่องเขย่าที่ความเร็วรอบ 100 รอบต่อนาที เป็นระยะเวลา 30 นาที ตั้งทึ้งไว้ 30 นาที จากนั้นกรองสารละลายผ่านกระดาษกรองขนาด 0.45 ไมครอน และนำไปวัดค่าคุดชับลีนแสงที่ความยาวคลื่น 400, 420, 594, 616, 434, 588, 546, 666 และ 662 นาโนเมตร มีผลการทดลองดังนี้

ผลการทดลองพบว่า ผงเมล็ดมะรุมมีประสิทธิภาพในการคุดชับสีข้อมในสารละลายสีข้อมผสมได้ทึ้ง 9 ชนิด และประสิทธิภาพในการคุดชับสีข้อมจะมีค่าลดลงเมื่อปริมาณตัวคุดชับมีมากขึ้น ดังแสดงในภาพที่ 43 และตารางที่ 4 จะพบว่าผงเมล็ดมะรุม ที่ปริมาณ 1 กรัม ให้ประสิทธิภาพการคุดชับสีข้อมสูงสุดคือ ร้อยละ 93.03 ดังนั้นจึงเลือกใช้ผงจากเมล็ดมะรุมที่ปริมาณ 1 กรัมมาใช้ในการศึกษาและทดลองปัจจัยอื่นๆต่อไป

ผลการทดลองพบว่า ถ่านบิทูมินัสเชิงพาณิชย์มีประสิทธิภาพในการคุดชับสีข้อมในสารละลายสีข้อมผสมได้ทึ้ง 9 ชนิด และประสิทธิภาพในการคุดชับสีข้อมจะมีค่าเพิ่มขึ้นเมื่อปริมาณตัวคุดชับมีมากขึ้น ดังแสดงในภาพที่ 36 และตารางที่ 3 จะพบว่าถ่านบิทูมินัสเชิงพาณิชย์ ที่ปริมาณ 7 ให้ประสิทธิภาพการคุดชับสีข้อมสูงสุดคือ ร้อยละ 50.66 ดังนั้นจึงเลือกใช้ถ่านบิทูมินัสเชิงพาณิชย์ที่ปริมาณ 7 กรัม มาใช้ในการศึกษาและทดลองปัจจัยอื่นๆต่อไป



ภาพที่ 43 ความสัมพันธ์ระหว่างปริมาณเริ่มต้นต่อร้อยละการดูดซับสีเข้มด้วยผงเมล็ดคุณภาพและถ่านบิทูมินัสเชิงพาณิชย์

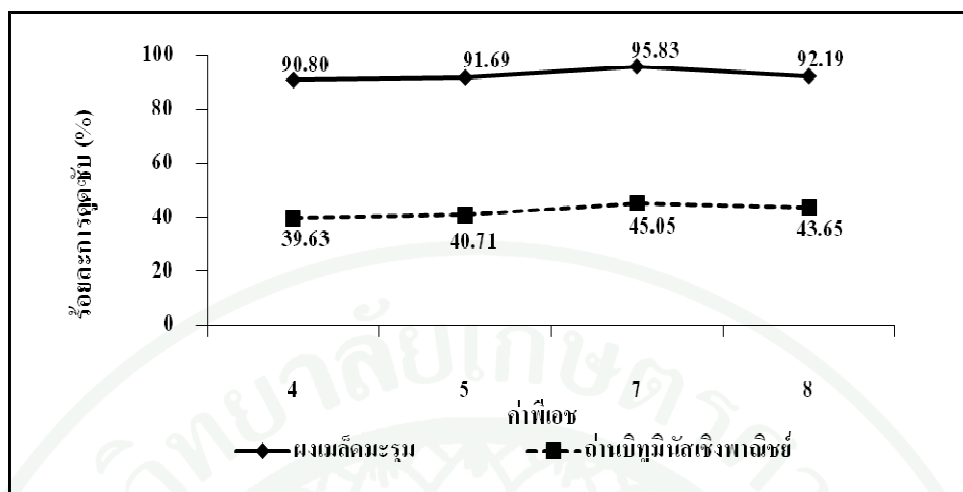
ตารางที่ 4 อิทธิพลของปริมาณเริ่มต้นต่อร้อยละการดูดซับสีเข้มด้วยผงเมล็ดคุณภาพและถ่านบิทูมินัสเชิงพาณิชย์

ปริมาณตัวคูดชั้บ (กรัม)	ร้อยละการดูดซับสีเข้มของ ผงเมล็ดคุณภาพ	ร้อยละการดูดซับสีเข้มของ ถ่านบิทูมินัสเชิงพาณิชย์
1	93.03	16.62
2	91.44	23.02
3	83.16	32.19
4	75.25	38.25
5	63.21	45.84
6	61.03	47.19
7	58.81	50.66
8	55.86	45.05

3.2 ศึกษาอิทธิพลของพีเอช

จากการทดลองในข้อที่ 4.1 ทำให้ทราบปริมาณผงเมล็ดมะรุมและปริมาณถ่านบิทู มินสเซิงพาณิชย์ที่เหมาะสมกือ ผงเมล็ดมะรุมปริมาณ 1 กรัม มีประสิทธิภาพการดูดซับสีข้อมในสารละลายสีข้อมผสมได้สูงสุดร้อยละ 93.03 และถ่านบิทูมินสเซิงพาณิชย์ปริมาณ 7 กรัม มีประสิทธิภาพการดูดซับสีข้อมในสารละลายสีข้อมผสมได้สูงสุดร้อยละ 50.66 จากนั้นนำค่าปริมาณที่เหมาะสมมาศึกษาอิทธิพลของพีเอช โดยการนำสารละลายสีข้อมผสม ปริมาตร 50 มิลลิลิตร ที่มีการปรับค่าพีเอชให้มีค่าเท่ากับ 4, 5, 7 และ 8 มาทำการทดลองเช่นเดียวกับข้อ 4.1 มีผลการทดลองดังนี้

ผลการทดลองพบว่า เมื่อค่าพีเอชของสารละลายสีข้อมผสมสูงขึ้น ประสิทธิภาพในการดูดซับสีข้อมมาตรฐานผสมก็จะมีค่าสูงขึ้นด้วย โดยพบว่าที่พีเอช 7 ผงเมล็ดมะรุมและถ่านบิทูมินสเซิงพาณิชย์สามารถดูดซับสีข้อมได้ทั้ง 9 ชนิดดังนี้ 6% Super Black G (98.63) และ(49.31), 2% Turquoise H-GN (98.97) และ(35.56), 2% Yellow LS-4G (91.87) และ(51.52), 2% Yellow LS-R-01 (90.00) และ(50.60), 2% Orange LS-BR (92.00) และ(48.72), 4% Navy LS-G (98.11) และ(50.64), 2% Red LS-B (97.5) และ(41.88), 2% Blue LS-3R (97.92) และ(47.52) และ 2% Br.Blue LS-G (97.5) และ(29.76) ตามลำดับ และมีค่าการดูดซับสีสูงสุดกือ ร้อยละ 95.83 และ 45.05 ตามลำดับ หลังจากนั้นประสิทธิภาพการดูดซับสีข้อมก็จะมีค่าลดลงดังแสดงในภาพที่ 44 และตารางที่ 5 เมื่อเปรียบเทียบร้อยละการดูดซับสีข้อมจะพบว่าผงเมล็ดมะรุมจะมีค่าร้อยละการดูดซับสีข้อมที่มากกว่าถ่านบิทูมินสเซิงพาณิชย์อาจจะขอรับยาได้ว่าสีข้อมที่ใช้ในการทดลองซึ่งเป็นสีชนิด (Reactive Dyes) เป็นสีที่ละลายนำเสนอได้ เมื่ออยู่ในน้ำจะมีคุณสมบัติเป็นเบส และอยู่ในรูปของแอนิโอลอน ส่วนผงเมล็ดมะรุมจะประกอบไปด้วยสารเจลไฟฟ์ Polyelectrolyte เช่น สารเจลกาวิตามินและกรดอะมิโน ดังแสดงในตารางที่ 1 จึงทำให้เกิดแรงดึงดูดระหว่างไออกอนของโนเมเลกุล ทั้งนี้ประสิทธิภาพการดูดซับสีข้อมขึ้นอยู่กับสภาพความเป็นข้าของพื้นที่ผิวของตัวดูดซับ ที่พีเอชต่ำ ในสารละลายจะมีโปรตอนเพิ่มขึ้น ทำให้พื้นผิวของตัวดูดซับแสดงอำนาจไฟฟ้าบวก ทำให้เกิดแรงดึงเหนี่ยวกับโนเมเลกุลของสารละลายสีข้อมมาตรฐาน เกิดการถูกยึดจับด้วยแรงดึงดูดไฟฟ้า และเมื่อสารละลายมีพีเอชเพิ่มขึ้น มีผลทำให้มีไฮดรอกไซด์ไอออนในสารละลายเพิ่มขึ้น ซึ่งจะไปเยี่ยงจับกับพื้นผิวของตัวดูดซับทำให้พื้นผิวของตัวดูดซับมีอำนาจไฟฟ้าเป็นประจุลบ ส่งผลให้เกิดแรงผลักขึ้นระหว่างโนเมเลกุลของสารละลายสีข้อมมาตรฐานและตัวดูดซับ ทำให้การดูดซับมีประสิทธิภาพลดลง



ภาพที่ 44 ความสัมพันธ์ระหว่างพีเอชกับร้อยละการดูดซับสีข้อมด้วยพุงเมล็ดมะรุมและถ่านบิทูมินัส เชิงพาณิชย์

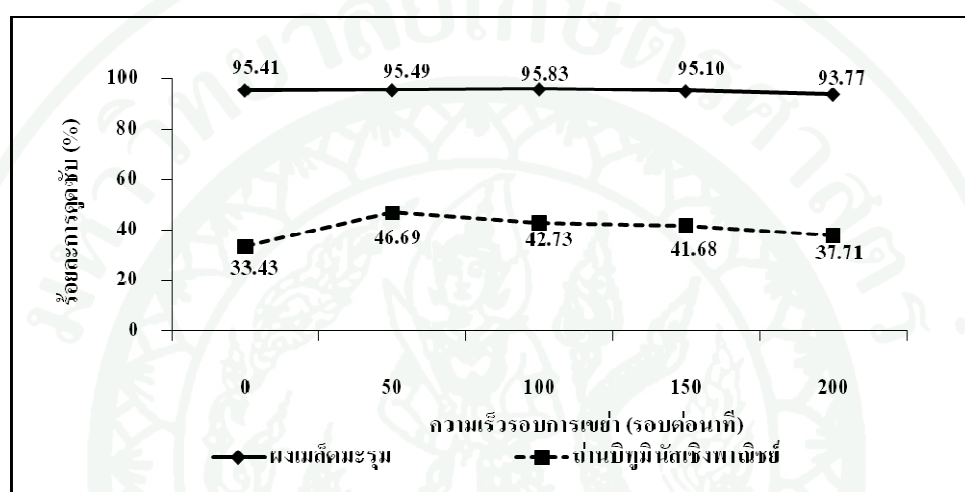
ตารางที่ 5 อิทธิพลของพีเอชต่อร้อยละการดูดซับสีข้อมด้วยพุงเมล็ดมะรุมและถ่านบิทูมินัสเชิงพาณิชย์

ค่าพีเอช	ร้อยละการดูดซับสีข้อมของ พุงเมล็ดมะรุม	ร้อยละการดูดซับสีข้อมของ ถ่านบิทูมินัสเชิงพาณิชย์
4	90.80	39.63
5	91.69	40.71
7	95.83	45.05
8	92.19	43.65

3.3 ศึกษาอิทธิพลของความเร็วในการเบี้ยง

จากการทดลองในข้อที่ 4.3 เมื่อเปรียบเทียบความเร็วในการเบี้ยงเป็น 0, 50, 100, 150 และ 200 รอบต่อนาที ผลการทดลองพบว่า พุงเมล็ดมะรุมและถ่านบิทูมินัสเชิงพาณิชย์สามารถดูดซับสีข้อมได้ทั้ง 9 ชนิดดังนี้ 6% Super Black G (98.63) และ(48.37), 2% Turquoise H-GN (98.97) และ(39.08), 2% Yellow LS-4G (91.87) และ(52.38), 2% Yellow LS-R-01 (90.00) และ(52.05), 2% Orange LS-BR (92.00) และ(50.31), 4% Navy LS-G (98.11) และ(49.38), 2% Red LS-

B (97.5) และ (45.53), 2% Blue LS-3R (97.92) และ (47.33) และ 2% Br.Blue LS-G (97.5) และ (35.80) ตามลำดับ และประสิทธิภาพการคุณภาพสีข้อมในสารละลายน้ำจะมีค่าเพิ่มขึ้นเมื่อความเร็ว รอบการปั่นกวนเพิ่มขึ้น โดยพบว่าผงเมล็ดมะรุมที่ความเร็วรอบการเบี้ยง 100 รอบต่อนาที มีค่าการ คุณภาพสีข้อมสูงสุดคือ ร้อยละ 95.83 ขณะที่ถ่านบิทูมินัสเชิงพาณิชย์ที่ความเร็วรอบการเบี้ยง 50 รอบ ต่อนาที มีค่าการคุณภาพสีข้อมสูงสุดคือ ร้อยละ 46.70 จากนั้นประสิทธิภาพการคุณภาพสีข้อมก็จะมีค่า ลดลง ดังแสดงในภาพที่ 45 และตารางที่ 6



ภาพที่ 45 ความสัมพันธ์ระหว่างความเร็วรอบการเบี้ยงกับร้อยละการคุณภาพสีข้อมด้วยผงเมล็ด มะรุมและถ่านบิทูมินัสเชิงพาณิชย์

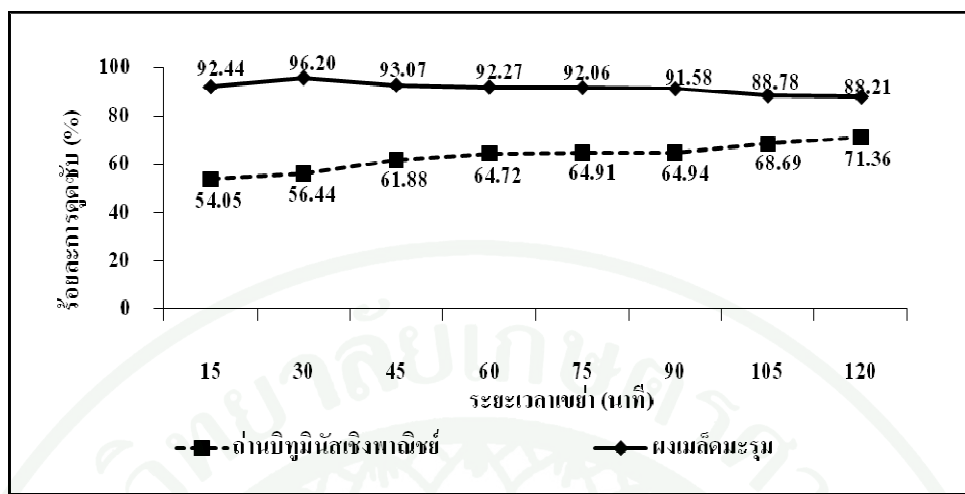
ตารางที่ 6 อิทธิพลของความเร็วรอบการเบี้ยงต่อร้อยละการคุณภาพสีข้อมด้วยผงเมล็ดมะรุมและ ถ่านบิทูมินัสเชิงพาณิชย์

ความเร็วรอบ การเบี้ยง (รอบต่อนาที)	ร้อยละการคุณภาพสีข้อมของ ผงเมล็ดมะรุม	ร้อยละการคุณภาพสีข้อมของ ถ่านบิทูมินัสเชิงพาณิชย์
0	95.41	33.43
50	95.49	46.69
100	95.83	42.73
150	95.10	41.68
200	93.77	37.71

อธิบายได้ว่าเมื่อความเร็วของ การ เข่าเพิ่มขึ้น จะส่งผลให้ประสิทธิภาพการคุณชับเพิ่มมากขึ้นเนื่องจากเมื่อความเร็วของ การ เข่าสูง จะทำให้ความหนาชั้นพิล์มของน้ำลดลง ไม่เกิดข่องตัว ถูกคุณชับเคลื่อนที่เข้าหาตัวคุณชับ ได้รวดเร็วขึ้นจนถึงระยะเวลาหนึ่งที่พื้นผิวของตัวคุณชับถูกครอบครองด้วยตัวคุณชับ ในขณะที่พื้นที่พื้นที่ผิวของตัวคุณชับที่มีจำนวนจำกัด ตัวคุณชับไม่สามารถคุณชับไว้ที่พื้นที่พื้นที่ผิวตัวคุณชับได้อีก จึงทำให้ประสิทธิภาพในการคุณชับลดลง (นิพนธ์ และ ณิตา, 2550)

3.4 ศึกษาอิทธิพลของระยะเวลาเข่า

จากการทดลองในข้อที่ 4.4 แบร์พันระยะเวลาเข่าเป็น 15, 30, 45, 60, 75, 90, 105 และ 120 นาที ผลการทดลองพบว่า เมื่อระยะเวลาเข่าเพิ่มขึ้น ส่งผลให้ประสิทธิภาพการคุณชับเพิ่มขึ้น เนื่องมาจากระยะเวลาเข่าที่นานทำให้ความหนาของชั้นพิล์มในน้ำลดลง ไม่เกิดข่องตัว ถูกคุณชับเคลื่อนที่เข้าหาตัวคุณชับ แต่เมื่อระยะเวลาผ่านไปกระบวนการคุณชับจะเริ่มเข้าสู่สมดุล (อัตราการคุณชับเท่ากับอัตราการถ่าย) โดยพบว่า ผงเมล็ดมะรุมและถ่านบิทูมนิ้สเชิงพาณิชย์สามารถคุณชับสีข้อมได้ทั้ง 9 ชนิดดังนี้ 6% Super Black G (94.67) และ (73.33), 2% Turquoise H-GN (98.77) และ (68.89), 2% Yellow LS-4G (92.31) และ (67.28), 2% Yellow LS-R-01 (90.38) และ (74.14), 2% Orange LS-BR (95.83) และ (74.82), 4% Navy LS-G (98.61) และ (74.36), 2% Red LS-B (100.00) และ (69.92), 2% Blue LS-3R (97.78) และ (72.79) และ 2% Br.Blue LS-G (97.44) และ (66.67) ตามลำดับ ผงเมล็ดมะรุมที่ระยะเวลาการเข่า 30 นาที มีประสิทธิภาพการคุณชับสีข้อมในสารละลายสีข้อมผสมสูงสุด โดยมีค่าการคุณชับเฉลี่ยคือ ร้อยละ 96.20 และถ่านบิทูมนิ้สเชิงพาณิชย์ที่ระยะเวลาการเข่า 120 นาที มีประสิทธิภาพการคุณชับสีข้อมในสารละลายสีข้อมผสมสูงสุด โดยมีค่าการคุณชับเฉลี่ยคือ ร้อยละ 71.36 ดังแสดงในภาพที่ 46 และตารางที่ 7



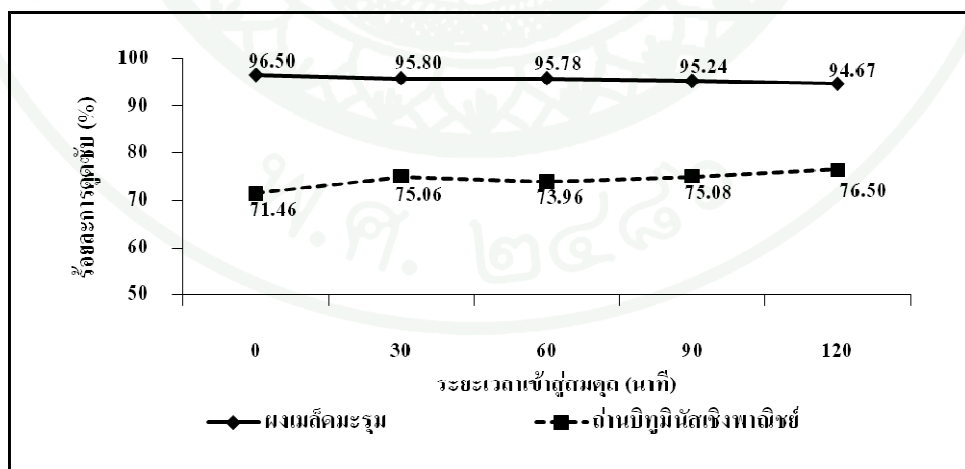
ภาพที่ 46 ความสัมพันธ์ระหว่างระยะเวลาเบื้องต้นกับร้อยละการคุดชับสีข้อมูลด้วยผงเมล็ดมะรุมและถ่านบิทูมินัสเชิงพาณิชย์

ตารางที่ 7 อิทธิพลของระยะเวลาเบื้องต้นต่อร้อยละการคุดชับสีข้อมูลด้วยผงเมล็ดมะรุมและถ่านบิทูมินัสเชิงพาณิชย์

ระยะเวลาเบื้องต้น (นาที)	ร้อยละการคุดชับสีข้อมูลของ ผงเมล็ดมะรุม	ร้อยละการคุดชับสีข้อมูลของ ถ่านบิทูมินัสเชิงพาณิชย์
15	92.44	54.05
30	96.20	56.44
45	93.07	61.88
60	92.27	64.72
75	92.06	64.91
90	91.58	64.94
105	88.78	68.69
120	88.21	71.36

3.5 ศึกษาอิทธิพลของระยะเวลาเข้าสู่สมดุล

จากการทดลองในข้อที่ 4.5 แปรผันระยะเวลาเข้าสู่ภาวะสมดุลเป็น 0, 30, 60, 90 และ 120 นาที ผลการทดลองพบว่า ผงเมล็ดมะรุมและถ่านบิทูมินัสเชิงพาณิชย์สามารถดูดซับสีข้อมูลได้ทั้ง 9 ชนิดดังนี้ 6% Super Black G (97.87) และ(77.33), 2% Turquoise H-GN (100.00) และ(70.11), 2% Yellow LS-4G (96.15) และ(75.29), 2% Yellow LS-R-01 (91.03) และ(80.61), 2% Orange LS-BR (93.88) และ(77.56), 4% Navy LS-G (98.00) และ(77.36), 2% Red LS-B (98.20) และ(73.33), 2% Blue LS-3R (97.04) และ(74.83) และ 2% Br.Blue LS-G (96.30) และ(69.14) ตามลำดับ และเมื่อระยะเวลาการสัมผัสเพิ่มขึ้น ส่งผลให้ประสิทธิภาพในการดูดซับสีข้อมูลสารละลายสีข้อมูลผสมมีค่าลดลง ซึ่งระยะเวลาเริ่มต้นนี้พื้นพิวของตัวดูดซับมีพื้นที่มาก ทำให้มีอัตราการดูดซับมีมากขึ้น จนถึงระยะเวลาหนึ่งบริเวณพื้นพิวของตัวดูดซับถูกปกคลุมไปด้วยตัวถูกดูดซับ (สารละลายสีข้อมูลผสม) ซึ่งตัวดูดซับจะเข้าสู่ภาวะสมดุล ทำให้อัตราการดูดซับลดลง (นิพนธ์ และกนิตา, 2550) ดังนี้ ประสิทธิภาพในการดูดซับสีข้อมูลด้วยผงเมล็ดมะรุมที่ระยะเวลาสัมผัส 0 นาที มีค่าการดูดซับเฉลี่ยสูงสุดคือ ร้อยละ 96.50 ขณะที่ถ่านบิทูมินัสเชิงพาณิชย์ที่ระยะเวลาสัมผัส 120 นาที มีค่าการดูดซับเฉลี่ยสูงสุดคือ ร้อยละ 76.50 แต่เนื่องจากค่าการดูดซับที่ระยะเวลาสัมผัสที่ 120 นาที และ 30 นาที มีค่าไม่แตกต่างกันมาก และเพื่อเป็นการประหยัดพลังงานและระยะเวลาในการทดลองจึงเลือกใช้ระยะเวลาสัมผัสที่ 30 นาที ซึ่งมีค่าการดูดซับเฉลี่ยคือ ร้อยละ 75.06 ดังแสดงในภาพที่ 47 และตารางที่ 8



ภาพที่ 47 ความสัมพันธ์ระหว่างระยะเวลาเข้าสู่สมดุลกับร้อยละการดูดซับสีข้อมูลด้วยผงเมล็ดมะรุม และถ่านบิทูมินัสเชิงพาณิชย์

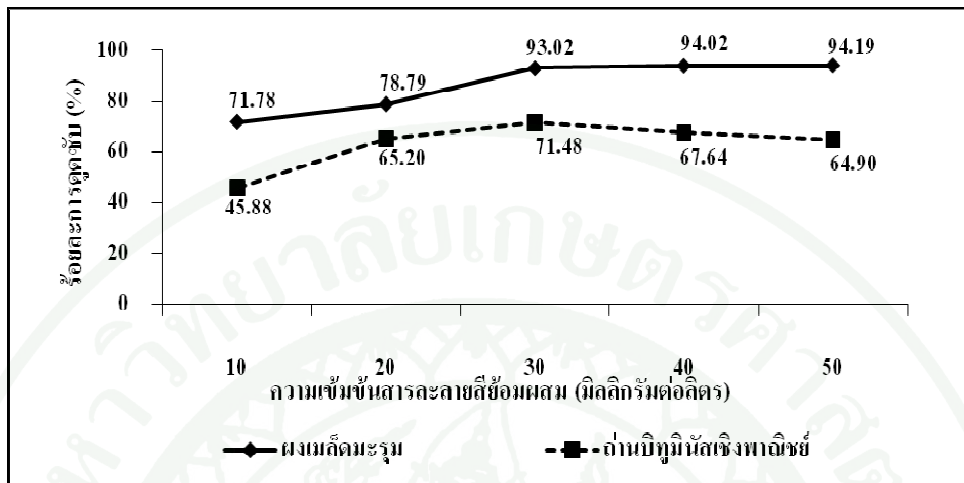
ตารางที่ 8 อิทธิพลของระยะเวลาเข้าสู่สมดุลต่อร้อยละการคูดซับสีข้อมูลด้วยพเมล์คอมะรูมและถ่านบิทูมินัสเชิงพาณิชย์

ระยะเวลาเข้าสู่สมดุล (นาที)	ร้อยละการคูดซับสีข้อมูล พเมล์คอมะรูม	ร้อยละการคูดซับสีข้อมูล ถ่านบิทูมินัสเชิงพาณิชย์
0	96.50	71.46
30	95.80	75.06
60	95.78	73.96
90	95.24	75.08
120	94.67	76.50

3.6 ศึกษาอิทธิพลของความเข้มข้นสารละลายสีข้อมูล

จากการทดลองในข้อที่ 4.6 แปรผันความเข้มข้นสารละลายสีข้อมูลเป็น 10, 20, 30, 40 และ 50 มิลลิกรัมต่อลิตร ผลการทดลองพบว่า พเมล์คอมะรูมและถ่านบิทูมินัสเชิงพาณิชย์สามารถคูดซับสีข้อมูลได้ทั้ง 9 ชนิดดังนี้ 6% Super Black G (93.83) และ (74.71), 2% Turquoise H-GN (92.60) และ (53.33), 2% Yellow LS-4G (90.00) และ (67.62), 2% Yellow LS-R-01 (82.22) และ (68.69), 2% Orange LS-BR (89.29) และ (72.04), 4% Navy LS-G (96.43) และ (76.34), 2% Red LS-B (98.41) และ (77.38), 2% Blue LS-3R (94.44) และ (77.42) และ 2% Br.Blue LS-G (100.00) และ (75.76) ตามลำดับ และเมื่อความเข้มข้นของสารละลายสีข้อมูลมีค่าเพิ่มขึ้นประสิทธิภาพในการคูดซับสารละลายสีข้อมูลจะมีค่าเพิ่มขึ้น จนถึงระดับหนึ่งประสิทธิภาพในการคูดซับสารละลายสีข้อมูลจะมีค่าลดลง ทั้งนี้การที่ความเข้มข้นเพิ่มขึ้น ส่งผลให้ประสิทธิภาพการคูดซับลดลง เนื่องจากความเข้มข้นที่เพิ่มสูงขึ้น พื้นผิวของตัวคูดซับจะถูกปอกครุਮด้วยตัวถูกคูดซับมากขึ้น ในขณะที่พื้นผิวของตัวคูดซับมีจำนวนจำกัด ตัวถูกคูดซับไม่สามารถคูดซับไว้ที่พื้นผิวของตัวคูดซับได้ จึงทำให้ประสิทธิภาพการคูดซับลดลง (นิพนธ์ และกนิตา, 2550) โดยพบว่าความเข้มข้นที่ 50 มิลลิกรัมต่อลิตร พเมล์คอมะรูมมีประสิทธิภาพการคูดซับสีข้อมูลในสารละลายสีข้อมูลสูงสุด โดยมีค่าการคูดซับเฉลี่ยคือ ร้อยละ 94.19 แต่เนื่องจากที่ความเข้มข้น 30 มิลลิกรัมต่อลิตร มีค่าการคูดซับเฉลี่ยคือ ร้อยละ 93.02 ซึ่งเป็นค่าที่ไม่แตกต่างกันมากและเพื่อเป็นการประหยัดสารละลายสีข้อมูล ในการทดลองครั้งนี้จึงเลือกความเข้มข้นที่ 30 มิลลิกรัมต่อลิตร นอกจากนี้ถ่านบิทูมินัสเชิง

พาณิชย์ที่ความเข้มข้น 30 มิลลิกรัมต่อลิตร มีประสิทธิภาพการคุ้ดซับสีข้อมในสารละลายสีข้อม พสมสูงสุด โดยมีค่าการคุ้ดซับเฉลี่ยคือ ร้อยละ 71.48 ดังแสดงในภาพที่ 48 และตารางที่ 9



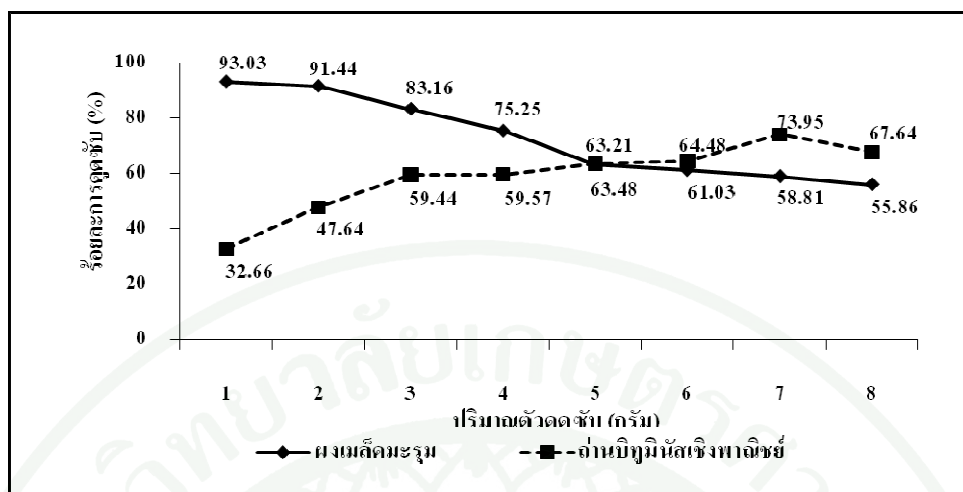
ภาพที่ 48 ความสัมพันธ์ระหว่างความเข้มข้นสารละลายสีข้อมพสมกับร้อยละการคุ้ดซับสีข้อมด้วย ผงเมกิตมะรุ่มและถ่านบิทูมนัสเชิงพาณิชย์

ตารางที่ 9 อิทธิพลของความเข้มข้นสารละลายสีข้อมพสมต่อร้อยละการคุ้ดซับสีข้อมด้วยผงเมกิต มะรุ่มและถ่านบิทูมนัสเชิงพาณิชย์

ความเข้มข้นสารละลายสีข้อมพสม (มิลลิกรัมต่อลิตร)	ร้อยละการคุ้ดซับสีข้อม ของผงเมกิตมะรุ่ม	ร้อยละการคุ้ดซับสีข้อม ของถ่านบิทูมนัสเชิงพาณิชย์
10	71.78	45.88
20	78.79	65.20
30	93.02	71.48
40	94.03	67.64
50	94.19	64.90

3.7 ศึกษาอิทธิพลของปริมาณผงเมล็ดมะรุมและถ่านบิทูมินัสเชิงพาณิชย์ที่เหมาะสมและไอโซเทอร์มในการคุณซับสีข้อมในสารละลายสีข้อมผสม

จากการทดลองในข้อที่ 4.7 ผงเมล็ดมะรุมทดลองโดยใช้สารละลายสีข้อมผสมชนิดที่ 1 ปรับพีเอชเท่ากับ 7 และใช้ปริมาณผงเมล็ดมะรุม 1, 2, 3, 4, 5, 6, 7 และ 8 กรัม นำไปเขย่าที่ความเร็วรอบ 100 รอบต่อนาที เป็นระยะเวลา 30 นาที ระยะเวลาเข้าสู่สมดุล 0 นาที และถ่านบิทูมินัสเชิงพาณิชย์ทดลองโดยใช้สารละลายสีข้อมผสมชนิดที่ 2 ปรับพีเอชเท่ากับ 7 และใช้ปริมาณถ่านบิทูมินัสเชิงพาณิชย์ 1, 2, 3, 4, 5, 6, 7 และ 8 กรัม นำไปเขย่าที่ความเร็วรอบ 50 รอบต่อนาที เป็นระยะเวลา 120 นาที ระยะเวลาเข้าสู่สมดุล 30 นาที จากการทดลองดังกล่าว พบว่า ผงเมล็ดมะรุม และถ่านบิทูมินัสเชิงพาณิชย์สามารถคุณซับสีข้อมได้ทั้ง 9 ชนิดดังนี้ 6% Super Black G (91.16) และ (75.56), 2% Turquoise H-GN (100.00) และ (70.37), 2% Yellow LS-4G (88.68) และ (80.81), 2% Yellow LS-R-01 (85.33) และ (75.76), 2% Orange LS-BR (90.78) และ (73.12), 4% Navy LS-G (94.67) และ (79.57), 2% Red LS-B (95.00) และ (76.81), 2% Blue LS-3R (97.22) และ (76.19) และ 2% Br.Blue LS-G (94.44) และ (57.41) ตามลำดับ และเมื่อปริมาณผงเมล็ดมะรุมเพิ่มขึ้น ประสิทธิภาพในการคุณซับสีข้อมในสารละลายสีข้อมมาตรฐานจะมีค่าลดลง เนื่องจากปริมาณผงเมล็ดมะรุมที่เพิ่มขึ้นจะส่งผลให้การวัดค่าคุณค่ากึ่นแสงไม่สามารถวัดได้ เนื่องจากน้ำจะมีค่าความขุ่นเพิ่มขึ้น จึงทำให้ประสิทธิภาพในการคุณซับสีข้อมลดลง โดยปริมาณผงเมล็ดมะรุม 1 กรัมมีค่าการคุณซับสีข้อมเฉลี่ยสูงสุด คือ ร้อยละ 93.03 โดยพบว่าหลังจากปริมาณผงเมล็ดมะรุม 1 กรัมเมื่อผ่านกระบวนการคุณซับจะได้สารละลายที่มีความขุ่น เนื่องมาจากผงเมล็ดมะรุมส่วนที่ไม่ได้ถูกคุณซับละลายออกมากแล้วผ่านรูกระดายกรองทำให้สารละลายที่ได้ขุน การคุณค่ากึ่นแสงลดลงเกิดการกระเจิงแสงทำให้ค่าการคุณค่ากึ่นแสงที่วัดได้ลดลงด้วย ขณะที่ถ่านบิทูมินัสเชิงพาณิชย์ พบว่า เมื่อปริมาณถ่านบิทูมินัสเชิงพาณิชย์เพิ่มขึ้นประสิทธิภาพในการคุณซับสีข้อมในสารละลายสีข้อมมาตรฐานจะมีค่าเพิ่มขึ้นด้วย เนื่องจากปริมาณถ่านบิทูมินัสเชิงพาณิชย์ที่เพิ่มขึ้น ทำให้พื้นที่ผิวเพิ่มมากขึ้นด้วยประสิทธิภาพการคุณซับสีข้อมจึงเพิ่มขึ้นโดยปริมาณถ่านบิทูมินัสเชิงพาณิชย์ 7 กรัม มีค่าการคุณซับสีข้อมเฉลี่ยสูงสุด คือ ร้อยละ 73.95 ดังแสดงในภาพที่ 49 และตารางที่ 10



ภาพที่ 49 ความสัมพันธ์ระหว่างปริมาณกับร้อยละการดูดซับสีข้อมูลด้วยพืชเมล็ดมะรุมและถ่านบิทูมินัสเชิงพาณิชย์

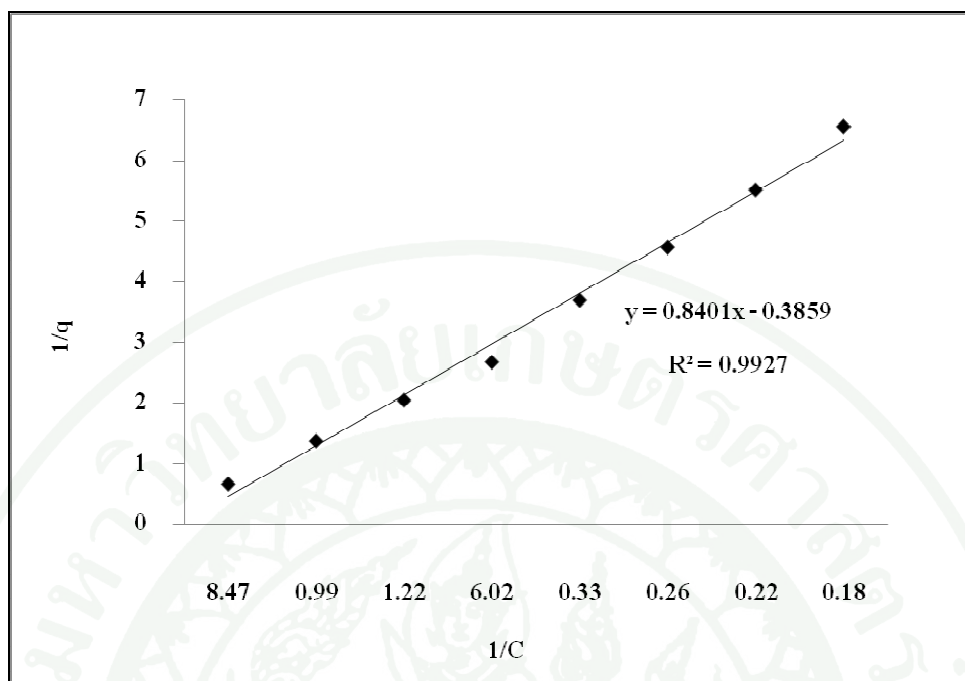
ตารางที่ 10 อิทธิพลของปริมาณต่อร้อยละการดูดซับสีข้อมูลด้วยพืชเมล็ดมะรุมและถ่านบิทูมินัสเชิงพาณิชย์

ปริมาณตัวดูดซับ (กรัม)	ร้อยละการดูดซับสีข้อมูลของ พืชเมล็ดมะรุม	ร้อยละการดูดซับสีข้อมูลของ ถ่านบิทูมินัสเชิงพาณิชย์
1	93.03	32.66
2	91.44	47.64
3	83.16	59.44
4	75.25	59.57
5	63.21	63.48
6	61.03	64.48
7	58.81	73.95
8	55.86	67.64

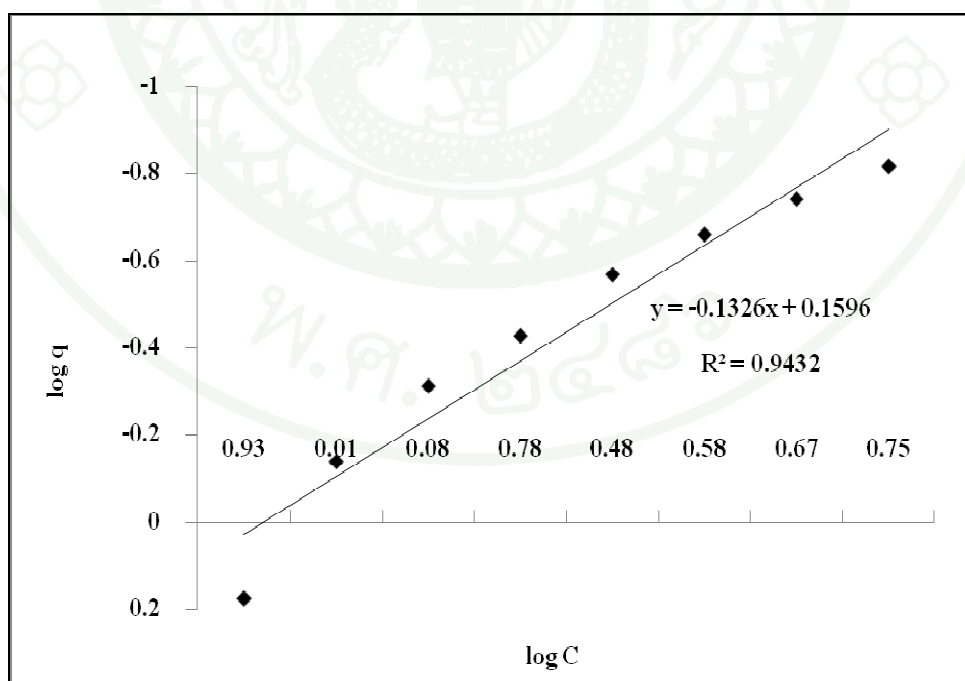
การคุณซับสีข้อมในสารละลายน้ำมีค่า 0.9927 และ 0.9432 ตามลำดับ ดังแสดงในภาพที่ 50 และ 51 ตามลำดับ พบว่าค่าสัมประสิทธิ์สหสัมพันธ์ (R^2) ใน การคุณซับสีข้อมในสารละลายน้ำมีค่า 0.9927 และ 0.9432 ตามลำดับ ดังแสดงในตารางภาคผนวกที่ 39 และการคุณซับสีข้อมในสารละลายน้ำมีค่า 0.9927 และ 0.9432 ตามลำดับ ดังแสดงในภาพที่ 52 และ 53 ตามลำดับ พบว่าค่าสัมประสิทธิ์สหสัมพันธ์ (R^2) ใน การคุณซับสีข้อมในสารละลายน้ำมีค่า 0.9999 และ 0.9187 ตามลำดับ ดังแสดงในตารางภาคผนวกที่ 40 ฉะนั้นจะเห็นว่าค่าสัมประสิทธิ์สหสัมพันธ์ของทั้งสอง ไอโซเทอร์ม มีค่าใกล้เคียงกัน แสดงว่ากลไกการคุณซับมีลักษณะเป็นไปได้ทั้งแบบ Langmuir และ Frumkin

กลไกการคุณซับของ Langmuir คือ พื้นผิวนตัวคุณซับเป็นแบบเดียวกันหมด (Monogeneous adsorption surface) มีกลไกการคุณซับเหมือนกัน การคุณซับของตัวถูกคุณซับ พื้นผิวของตัวคุณซับเป็นแบบชั้นเดียว ตัวถูกคุณซับจะจัดเรียงตัวเพียงชั้นเดียวบนพื้นผิwtัวคุณซับ โดยที่ไม่เลกุลตัวถูกคุณซับไม่เกิดการซ้อนทับกัน พื้นผิวนตัวคุณซับจะมีจำนวนจำกัด และเมื่อตัวถูกคุณซับถูกคุณซับไว้แล้วจะไม่มีการเคลื่อนที่ (เคลื่อนย้าย) หรือเปลี่ยนตำแหน่งกันกับตัวถูกคุณซับ อื่นบนพื้นผิwtัวคุณซับ พื้นผิwtัวคุณซับจะถูกปักลุมด้วยตัวถูกคุณซับมากขึ้น เมื่อความเข้มข้นของสารละลายน้ำมีตัวถูกคุณซับถูกคุณซับจนอิ่มตัว

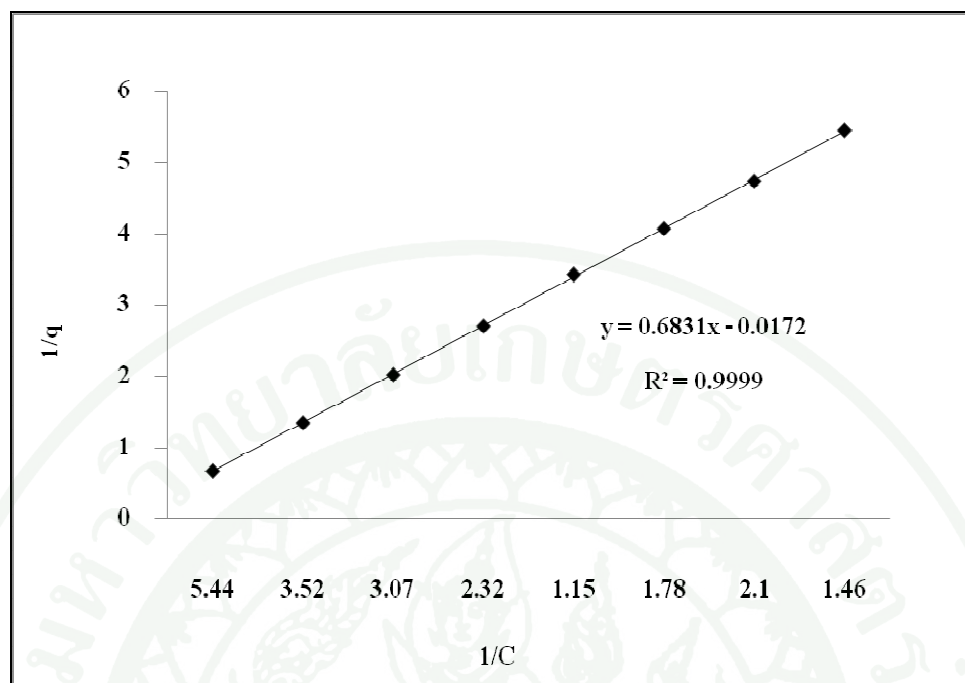
กลไกการคุณซับของ Frumkin คือ พื้นที่ผิวของตัวคุณซับเป็นแบบวิวิชพันธ์ (Heterogeneous adsorption surface) พื้นผิวไม่เป็นเนื้อเดียวกันตลอด การคุณซับจะไม่สามารถออกถึงปริมาณของตัวถูกคุณซับได้ เนื่องจากตัวถูกคุณซับสามารถเกิดการซ้อนทับกันได้ เมื่อตัวถูกคุณซับไว้แล้ว จะเคลื่อนที่หรือเปลี่ยนตำแหน่งกันกับตัวถูกคุณซับอื่นบนพื้นที่ผิwtัวคุณซับได้ พื้นที่ผิwtัวคุณซับจะถูกปักลุมด้วยตัวถูกคุณซับมากขึ้น เมื่อความเข้มข้นของสารละลายน้ำมีตัวถูกคุณซับถูกคุณซับอิ่มตัว



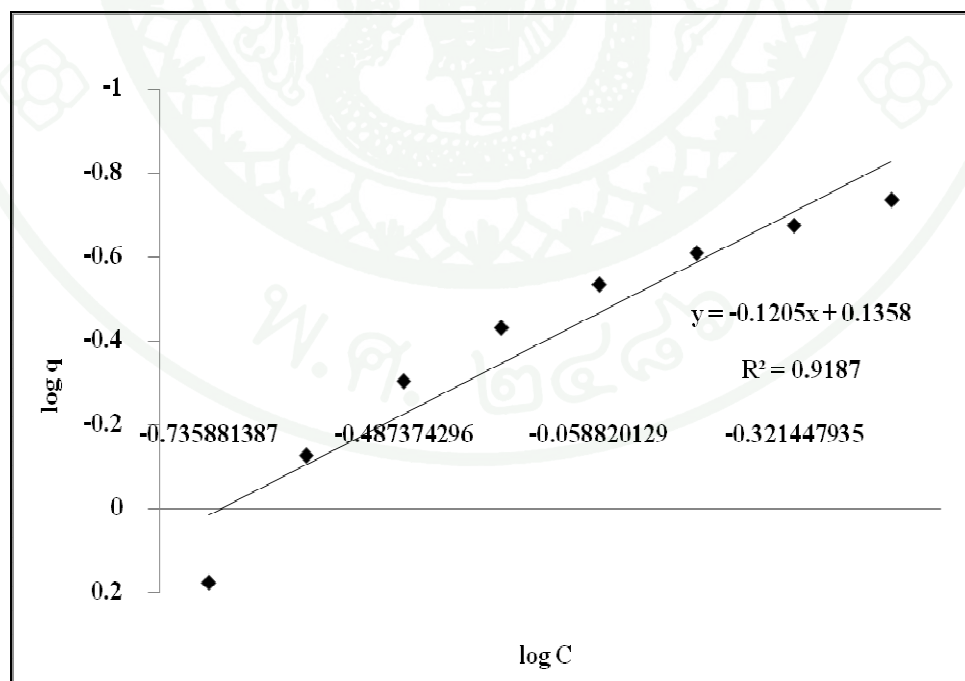
ภาพที่ 50 ไอโซเทอร์มการดูดซับสีข้อมของแอลเมียร์ด้วยผงเมล็ดมะรุม



ภาพที่ 51 ไอโซเทอร์มการดูดซับสีข้อมของฟรุนดิชด้วยผงเมล็ดมะรุม



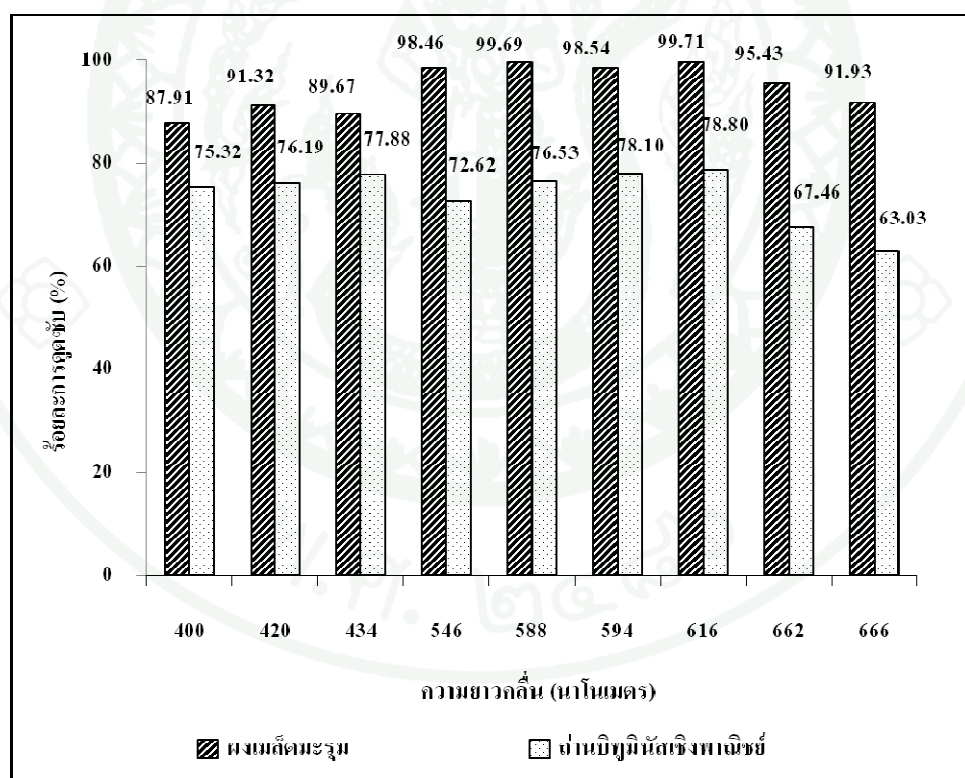
ภาพที่ 52 ไอโซเทอร์มการดูดซับลีข้อมของแอลเมียร์คิวบ์ย่านบิทูมินัสเชิงพาณิชย์



ภาพที่ 53 ไอโซเทอร์มการดูดซับลีข้อมของฟรุนดิชคิวบ์ย่านบิทูมินัสเชิงพาณิชย์

3.8 ผลการศึกษาประสิทธิภาพการคุณชั้บลีข้อมในสารละลายลีข้อมผสม ด้วยผงเมล็ดมะรุมและถ่านบิทูมินัสเชิงพาณิชย์โดยทำการทดลองแบบแบตช์

จากการทดลองด้วยผงเมล็ดมะรุมและถ่านบิทูมินัสเชิงพาณิชย์ โดยทำการทดลองแบบแบตช์ โดยใช้ผงเมล็ดมะรุมปริมาณ 1 กรัม และถ่านบิทูมินัสเชิงพาณิชย์ปริมาณ 7 กรัม สารละลายลีข้อมผสมชนิดที่ 2 ปริมาตร 50 มิลลิลิตร สามารถสรุปผลการทดลองได้ดังนี้ คือ ผงเมล็ดมะรุมมีสภาวะที่เหมาะสมต่อการคุณชั้บลีข้อมในสารละลายลีข้อมผสมคือ พื้อเชเท่ากับ 7 ความเร็วอบการเขย่า 100 รอบต่อนาที ระยะเวลาการเขย่า 30 รอบต่อนาที ระยะเวลาสัมผัส 0 นาที ผงเมล็ดมะรุมมีประสิทธิภาพการคุณชั้บคิดเป็นร้อยละ 94.74 และถ่านบิทูมินัสเชิงพาณิชย์มีสภาวะที่เหมาะสมต่อการคุณชั้บลีข้อมในสารละลายลีข้อมผสมคือ พื้อเชเท่ากับ 7 ความเร็วอบการเขย่า 50 รอบต่อนาที ระยะเวลาการเขย่า 120 นาที ระยะเวลาสัมผัส 30 นาที ถ่านบิทูมินัสเชิงพาณิชย์มีประสิทธิภาพการคุณชั้บคิดเป็นร้อยละ 73.99 ดังแสดงในภาพที่ 54 และตัวตารางที่ 11



ภาพที่ 54 เปรียบเทียบร้อยละการคุณชั้บลีข้อม 9' ชนิด จากสารละลายลีข้อมผสมโดยใช้ผงเมล็ดมะรุมและถ่านบิทูมินัสเชิงพาณิชย์ โดยทำการทดลองแบบแบตช์

ตารางที่ 11 ประสิทธิภาพการคุณภาพสีข้อมูลคำวิจารณ์คุณภาพและค่าเฉลี่ยในน้ำเสียตั้งเคราะห์ชนิดที่ 2 ที่เตรียมได้จากการละลายสีข้อมูลพสม

ชนิดตัวคุณภาพ	ร้อยละการคุณภาพสีข้อมูล
ผงเมล็ดมะรุม	94.74
ถ่านบิทูมินัสเชิงพาณิชย์	73.99

ตารางที่ 12 สภาวะที่เหมาะสมของการคุณภาพสีข้อมูลในสารละลายสีข้อมูลพสมด้วยการทดลองแบบแบตซ์ และค่าเฉลี่ยในน้ำเสียตั้งเคราะห์โดยการทดลองแบบแบตซ์

ปัจจัย	ตัวคุณภาพ	
	ผงเมล็ดมะรุม	ถ่านบิทูมินัสเชิงพาณิชย์
พีอีช	7	7
ความเร็วของในการเขย่า (รอบต่อนาที)	100	50
ระยะเวลาในการเขย่า (นาที)	30	120
ระยะเวลาสัมผัส (นาที)	0	30
ความเข้มข้น (มิลลิกรัมต่อลิตร)	30	30
ปริมาณตัวคุณภาพ (กรัม)	1	7

จากการนำสภาวะที่เหมาะสมที่ได้จากการทดลองแบบแบตซ์ในการคุณภาพสีข้อมูลในสารละลายสีข้อมูลพสมด้วยการทดลองแบบแบตซ์ในตารางที่ 12 กำหนดค่าปัจจัยต่างๆ ในสภาวะที่เหมาะสมมาทำการทดลองอีก 7 ชั่วโมง พบว่ามีค่าสภาวะที่เหมาะสม ดังแสดงในตารางที่ 12 จากนั้นนำค่าปัจจัยต่างๆ ในสภาวะที่เหมาะสมมาทำการทดลองอีก 7 ชั่วโมง พบว่า ผงเมล็ดมะรุมมีประสิทธิภาพในการคุณภาพสีข้อมูลในสารละลายสีข้อมูลพสมคิดเป็นร้อยละ 94.74 และยังพบว่าถ่านบิทูมินัสเชิงพาณิชย์ประสิทธิภาพในการคุณภาพสีข้อมูลในสารละลายสีข้อมูลพสมคิดเป็นร้อยละ 73.99

ณ สถานะสมดุลของการดูดซับ เมื่อนำมาลงเม็ดคามะรุ่มและถ่านบิทูมินัสเชิงพาณิชย์มาทำการเปรียบเทียบร้อยละการดูดซับสีข้อมในสารละลายสีข้อมผสม คำนวนโดยแทนค่าในสมการดังนี้

$$qW = V(C_0 - C)$$

เมื่อ q เป็นปริมาณตัวถูกดูดซับที่ถูกดูดซับบนพื้นผิวของตัวดูดซับต่อมวลตัวดูดซับ มีหน่วยเป็นปริมาณตัวถูกดูดซับต่อมวลตัวดูดซับเป็นโมลต่อกรัม (mol/kg) หรือ โมลต่อกรัม (mol/g)

W เป็นมวลของตัวดูดซับที่ใช้ หน่วยเป็นน้ำหนัก เช่น มิลลิกรัม (mg) กรัม (g) หรือ กิโลกรัม (kg)

V เป็นปริมาตรของสารละลายที่มีตัวถูกดูดซับละลายอยู่ หน่วยเป็นลูกบาศก์เซนติเมตร (cm^3) หรือลิตร (l)

C_0 เป็นความเข้มข้นของตัวถูกดูดซับก่อนการดูดซับที่อยู่ในสารละลายมีหน่วยเป็นความเข้มข้นเป็นโมลต่อลิตร (mol/l)

C เป็นความเข้มข้นของตัวถูกดูดซับที่เหลืออยู่ในสารละลายมีหน่วยเป็นความเข้มข้นเป็นโมลต่อลิตร (mol/l)

จากแทนค่าในสมการดังกล่าวข้างต้นพบว่า ลงเม็ดคามะรุ่มปริมาณ 1 กรัม สามารถดูดซับสีข้อมได้ 1.49 มิลลิกรัมต่อลิตร และพบว่าถ่านบิทูมินัสเชิงพาณิชย์ปริมาณ 1 กรัม สามารถดูดซับสีข้อมได้ 0.03 มิลลิกรัมต่อลิตร จะนั้นจึงสามารถสรุปได้ว่าลงเม็ดคามะรุ่มมีประสิทธิภาพในการดูดซับสีข้อมในสารละลายสีข้อมผสม ได้ดีกว่าถ่านบิทูมินัสเชิงพาณิชย์

4. ผลการวิเคราะห์คุณภาพน้ำเสียจากโรงงานข้อมูลผ้าโครงการพัฒนาดอยตุง อันเนื่องมาจากพระราชดำริ

นำเสียจากโรงงานข้อมูลผ้า โครงการพัฒนาดอยตุง อันเนื่องมาจากพระราชดำริ ทำการเก็บตัวอย่างน้ำและวิเคราะห์คุณภาพน้ำ ในวันที่ 7 กรกฎาคม พ.ศ. 2554 ซึ่งมีผลการวิเคราะห์ดังตารางที่ 13 , 14

ตารางที่ 13 คุณภาพน้ำเสียจากโรงงานข้อมูลผ้า โครงการพัฒนาดอยตุง อันเนื่องมาจากพระราชดำริ

พารามิเตอร์	ค่ามาตรฐานนำทิ้ง อุตสาหกรรม	คุณภาพน้ำเสีย จากโรงงานข้อมูลผ้า
พีเอช	5.5-9.0	9.74
ความชุ่น (NTU)	-	68.87
EC (ms/cm)	-	5.54
ความเค็ม	-	3
ของแข็งทั้งหมดที่ละลายน้ำ (mg/l)	ไม่เกิน 3,000	3.71
ไขมันและน้ำมัน(mg/l)	ไม่เกิน 5	14.15
ของแข็งแurenoloyทั้งหมด (mg/l)	ไม่เกิน 50	568
ของแข็งทั้งหมด(mg/l)	ไม่เกิน 300	5356
ซีโอลดี (mg/l)	ไม่เกิน 120	26.67
บีโอลดี (mg/l)	ไม่เกิน 20	53.1

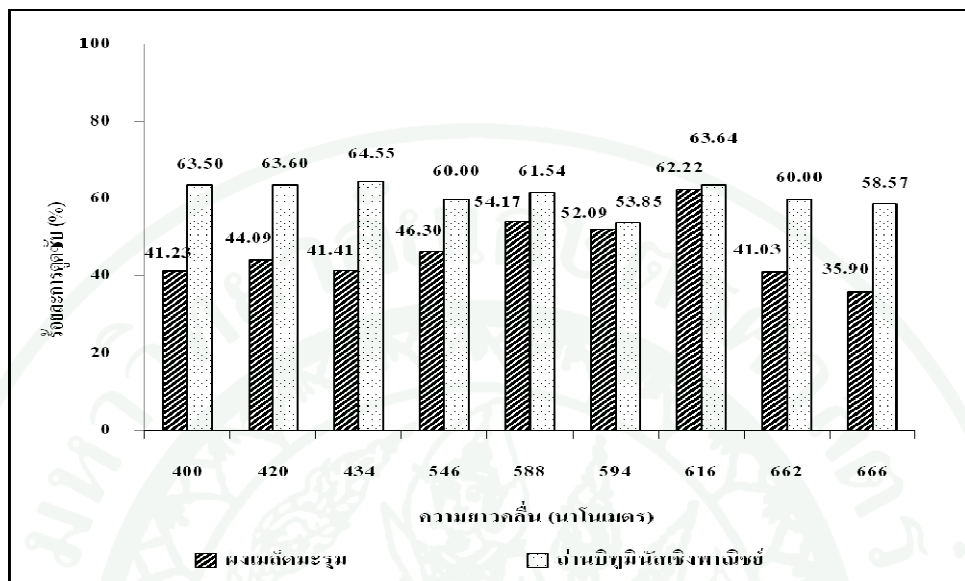
ตารางที่ 14 ค่าการดูดกลืนแสงของน้ำเสียจากโรงงานย้อมผ้า โครงการพัฒนาดอยตุง อันเนื่องมาจากพระราชดำริ

ความยาวคลื่น (นาโนเมตร)	ค่าการดูดกลืนแสง (มิลลิกรัมต่อลิตร)
400	0.97
420	0.79
434	0.7
546	0.33
588	0.28
594	0.27
616	0.25
662	0.21
666	0.21

5. ผลการศึกษาประสิทธิภาพการดูดซับสีย้อมในตัวอย่างนำทึ้งจากโรงงานย้อมผ้า โครงการพัฒนาดอยตุง ด้วยผงจากเมล็ดมะรุมและถ่านบิทูมินัสเชิงพาณิชย์ โดยทำการทดลองแบบเบตช์

จากการทดลองเมื่อทราบสภาวะที่เหมาะสมต่อการดูดซับสีย้อมในสารละลายสีย้อมผสมแล้ว นำสภาวะที่ได้มาทดลองกับน้ำทึ้งจากโรงงานย้อมผ้า โครงการพัฒนาดอยตุง พบร่วมกับเมล็ดมะรุมและถ่านบิทูมินัสเชิงพาณิชย์สามารถดูดซับสีย้อมได้ทั้ง 9 ชนิด โดยมีร้อยละการดูดซับดังนี้ 6% Super Black G (52.08) และ (53.85), 2% Turquoise H-GN (41.03) และ (60.00), 2% Yellow LS-4G (44.09) และ (63.60), 2% Yellow LS-R-01 (41.23) และ (63.49), 2% Orange LS-BR (41.41) และ (64.55), 4% Navy LS-G (62.22) และ (63.64), 2% Red LS-B (46.30) และ (60.00), 2% Blue LS-3R (54.17) และ (61.54) และ 2% Br.Blue LS-G (35.90) และ (58.57) ตามลำดับ ดังตารางภาคผนวกที่ 87 และ 88 และพบว่าเมล็ดมะรุมมีประสิทธิภาพในการการดูดซับสีย้อมได้น้อยกว่าถ่าน อาจเนื่องมาจากสิ่งเจือปนที่มีอยู่ในน้ำเสีย ไปรบกวนการดูดซับของผงเมล็ดมะรุมต่อการดูดซับสีย้อมซึ่งมีค่าการดูดซับสีย้อมในน้ำทึ้งจากโรงงานย้อมผ้าดอยตุง กิตเป็นร้อยละ 46.49 และ 61.03 ตามลำดับ โดยทำการทดลองภายใต้สภาวะที่เหมาะสมคือ เริ่มต้นใช้ผงจากเมล็ดมะรุมปริมาณ 1 กรัม และถ่านบิทูมินัสเชิงพาณิชย์ปริมาณ 7 กรัม ความเข้มข้นของสารละลายสีย้อมผสม 30

มิลลิกรัม/ลิตร ปริมาณต่ำ 50 มิลลิลิตร ความเร็วของการเขย่า 0 และ 50 รอบ/นาที ระยะเวลาการเขย่า 0 และ 120 รอบ/นาที ระยะเวลาสัมผัส 0 และ 30 นาที ตามลำดับ ดังภาพที่ 55 และตารางที่ 15



ภาพที่ 55 เปรียบเทียบร้อยละการคุตซับสีข้อมในน้ำทึ้งจากโรงงานข้อมผ้าโครงการพัฒนาดอยตุง อันเนื่องมาจากพระราชดำริ โดยใช้ผงเมล็ดมะรุมและถ่านบิทูมินัสเชิงพาณิชย์ โดยทำการทดลองแบบแบ่งตัวอย่าง

ตารางที่ 15 ประสิทธิภาพการคุตซับสีข้อมผ้าด้วยผงเมล็ดมะรุมและถ่านบิทูมินัสเชิงพาณิชย์ในน้ำทึ้งจากโรงงานข้อมผ้าโครงการพัฒนาดอยตุง อันเนื่องมาจากพระราชดำริ

ชนิดตัวคุตซับ	ร้อยละการคุตซับเฉลี่ย
ผงเมล็ดมะรุม	46.49
ถ่านบิทูมินัสเชิงพาณิชย์	61.03

จากการทดลองโดยการนำน้ำทึ้งจากโรงงานข้อมผ้าโครงการพัฒนาดอยตุง อันเนื่องมาจากพระราชดำริ ที่เก็บตัวอย่างน้ำในวันที่ 7 กรกฎาคม พ.ศ. 2554 ที่ผ่านการคุตซับด้วยผงเมล็ดมะรุมและถ่านบิทูมินัสเชิงพาณิชย์ ภายใต้สภาพที่เหมาะสมในการทดลองแบบแบ่งตัวอย่าง มากกว่าห้าคุณภาพน้ำ ได้ผลการวิเคราะห์คุณภาพน้ำ ดังตารางที่ 16

ตารางที่ 16 คุณภาพน้ำเสียจากโรงงานข้อมผ้าโครงการพัฒนาดอยตุง อันเนื่องมาจากพระราชดำริ ก่อน และหลังการคัดชับด้วยผงเมล็ดมะรุมและถ่านบิทูมินส์เชิงพาณิชย์

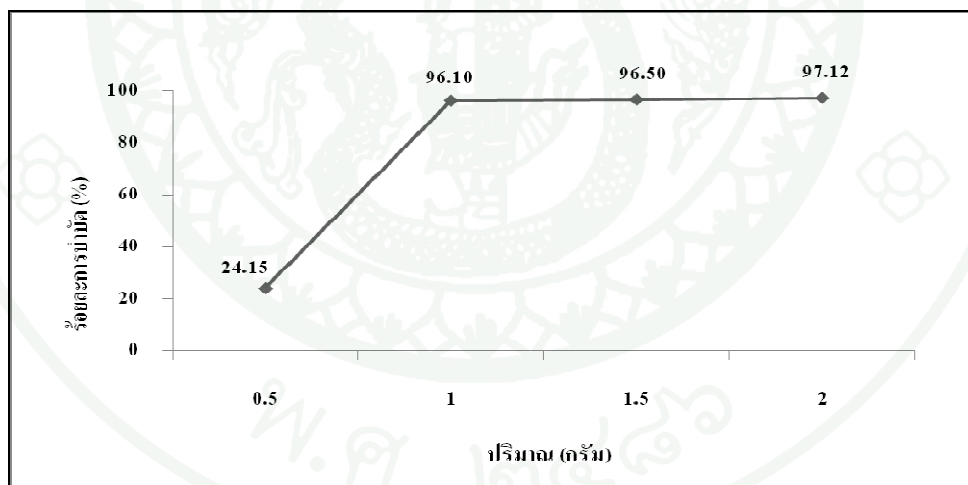
พารามิเตอร์	ค่ามาตรฐาน อุตสาหกรรม	พงจากเมล็ดมะรุม		ถ่านบิทูมินส์เชิงพาณิชย์	
		คุณภาพน้ำ	ประสิทธิภาพ	คุณภาพน้ำ	ประสิทธิภาพ
		นำทิ้ง	หลัง การกำจัด	(ร้อยละ)	หลัง การกำจัด
พีอีซ	5.5-9.0	7.2	-2.86	8.7	-24.29
ความชุ่น (NTU)	-	56.4	34.52	25.3	61.94
ค่าการนำไฟฟ้า (ms/cm)	-	6.12	5.12	5.58	13.49
ความเค็ม	-	3.4	5.56	0	100
ของแข็งทั้งหมดที่ ละลายน้ำ (mg/l)	ไม่เกิน 3,000	4.1	5.09	3.74	13.43
ไขมันและน้ำมัน (mg/l)	ไม่เกิน 5	0.48	20	0.27	55
ของแข็งแขวนลอย ทั้งหมด (mg/l)	ไม่เกิน 50	15	31.82	18	18.18
ของแข็งทั้งหมด (mg/l)	ไม่เกิน 300	5,549.33	35.29	4,765	44.43
ซีโอดี (mg/l)	ไม่เกิน 120	45	40.79	32	57.89

จากตารางที่ 16 พบร่ว่าน้ำทิ้งจากโรงงานข้อมผ้าโครงการพัฒนาดอยตุง อันเนื่องมาจากพระราชดำริ หลังผ่านการคัดชับด้วยผงเมล็ดมะรุมและถ่านบิทูมินส์เชิงพาณิชย์ สามารถนำบัดสีข้อมในนำทิ้งจากโรงงานข้อมผ้าได้ นอกจากนี้ยังสามารถนำบัด ความชุ่น ของแข็งทั้งหมดที่ละลายน้ำ (TDS), ไขมันและน้ำมัน, ของแข็งแขวนลอยทั้งหมด (TSS), ของแข็งทั้งหมด (TS), และซีโอดีได้อีกด้วย

6. ผลการศึกษาประสิทธิภาพการกำจัดสีข้อมในน้ำทึ้งจากโรงงานย้อมผ้าโครงการพัฒนาดอยตุง อันเนื่องมาจากพระราชดำริ ด้วย กระบวนการโโคแอกกูเลชั่น โดยใช้วิธีจาร์เกสต์

ทำการทดลองในการศึกษาหาสภาวะที่เหมาะสมในการกำจัดสีข้อมในสารละลายน้ำสีข้อม ผสม ด้วยกระบวนการ โโคแอกกูเลชั่น วิธีการคือ นำสารละลายน้ำสีข้อมผสมที่มีค่าความเข้มข้น 30 มิลลิกรัมต่อลิตร ปริมาตร 800 มิลลิลิตร ใส่ลงในแต่ละบีกเกอร์ขนาดปริมาตร 1,000 มิลลิลิตร จำนวน 4 ใบ สารละลายน้ำสีข้อมผสมมีค่าพีอีชาร์เจิร์ตันเท่ากับ 7.0 จากนั้นนำมาทดลองหาปริมาณสารสร้างตะกอน และค่าพีอีชาร์เจิร์ตันที่เหมาะสมด้วยวิธีจาร์เกสต์ ซึ่งมีรายละเอียดดังต่อไปนี้

6.1 ขั้นตอนที่หนึ่ง ใช้盆形เมล็ดมะรุมเป็นสารสร้างตะกอนในการศึกษาปริมาณสารสร้างตะกอนที่เหมาะสมแบบหยาบ โดยการเติม盆形เมล็ดมะรุมปริมาณ 0.5, 1, 1.5 และ 2 กรัม ลงในสารละลายน้ำสีข้อมผสมที่มีค่าความเข้มข้น 30 มิลลิกรัมต่อลิตร โดยมีค่าพีอีชาร์เจิร์ตันเท่ากับ 7 จากการศึกษาพบว่า ปริมาณ盆形เมล็ดมะรุมที่เหมาะสมคือ 2 กรัม ให้ประสิทธิภาพการกำจัดสีข้อมได้สูงสุดคือ ร้อยละ 97.12 ดังภาพที่ 56 และตารางที่ 17

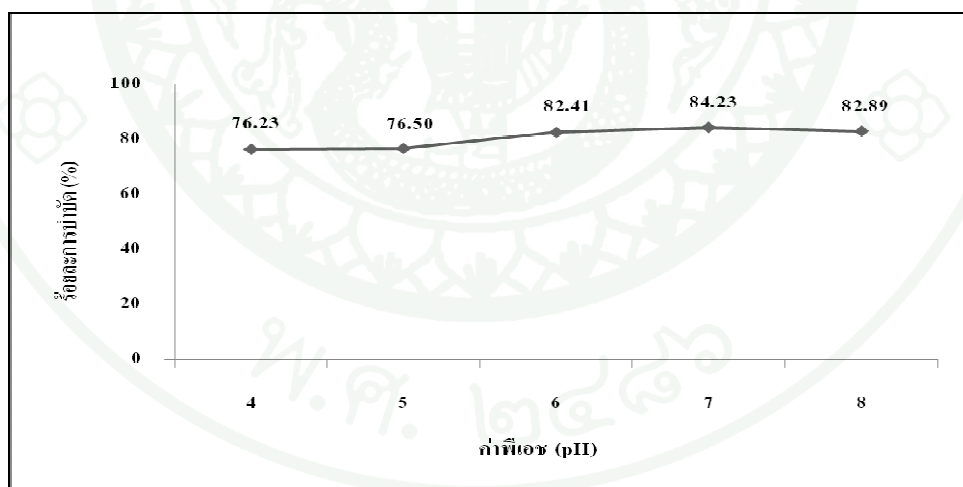


ภาพที่ 56 ความสัมพันธ์ระหว่างปริมาณสารสร้างตะกอนกับร้อยละการกำจัดโดยวิธีจาร์เกสต์

ตารางที่ 17 ผลการศึกษาอิทธิพลปริมาณสารสร้างตะกอนต่อร้อยละการกำจัดสีข้อมในสารละลายน้ำ

ปริมาณพงเมล็ดมะรุม (กรัม)	ร้อยละการกำจัดสีข้อม
0.5	24.15
1.0	96.10
1.5	96.50
2.0	97.12

6.2 ขั้นตอนที่สอง เมื่อทราบปริมาณสารสร้างตะกอนที่เหมาะสมแล้วนำปริมาณที่เหมาะสมไปหาค่าพีอ่อนในการตอกตะกอน โดยปรับสารละลายน้ำให้มีค่าพีอ่อนในช่วง 4.0-8.0 ตามลำดับ เมื่อเติมสารสร้างตะกอนที่เหมาะสมปริมาณ 2 กรัมลงในสารละลายน้ำขึ้นพาร์ทิ Kulm ให้ประสิทธิภาพการกำจัดสีข้อมได้สูงสุดคือ ร้อยละ 84.23 และเมื่อค่าพีอ่อนสูงขึ้นประสิทธิภาพในการกำจัดสีข้อมก็จะมีลดลง ดังแสดงในภาพที่ 57 และตารางที่ 18

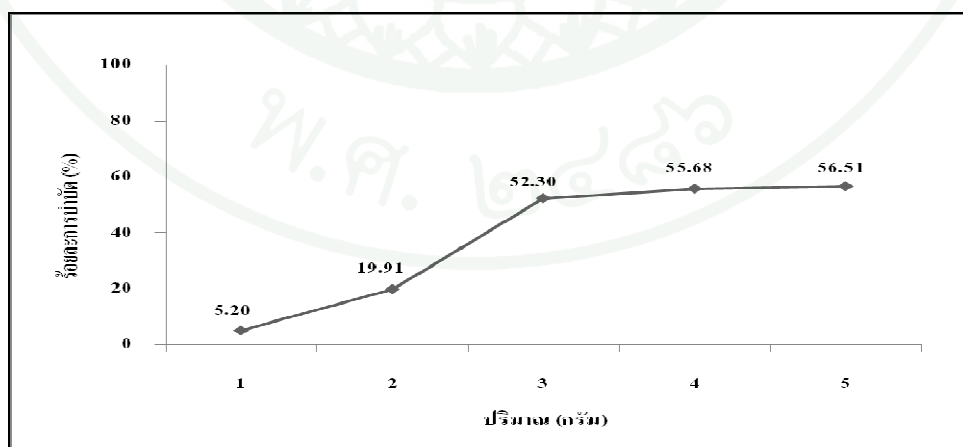


ภาพที่ 57 ความสัมพันธ์ระหว่างพีอ่อนกับร้อยละการกำจัดโดยวิธีjarrett

ตารางที่ 18 ผลการศึกษาอิทธิพลค่าพีอชต่อร้อยละการกำจัดสีข้อมในสารละลายสีข้อมผสม

พีอช	ร้อยละการกำจัดสีข้อม
4	76.23
5	76.50
6	82.41
7	84.23
8	82.89

6.3 ขั้นตอนที่สาม เมื่อทราบปริมาณสารสร้างตะกอนและค่าพีอชที่เหมาะสมจากการทดลองในข้อ 6.1 และ 6.2 แล้ว นำค่าปริมาณที่เหมาะสมและค่าพีอชที่เหมาะสมมาทำการทดลอง กับน้ำเสียจากโรงงานข้อมผ้า โครงการพัฒนาดอยตุง อันเนื่องมาจากพระราชดำริ โดยนำน้ำเสียจากโรงงานข้อมผ้า มาปริมาตร 800 มิลลิลิตร มาใส่ในบีกเกอร์ขนาดปริมาตร 1,000 มิลลิลิตร ปรับพีอชให้มีค่าเท่ากับ 7.0 จากนั้นเติมผงเมล็ดมะรุมซึ่งทำหน้าที่เป็นสารสร้างตะกอนปริมาณ 2 กรัม ทำการทดลอง 7 ชั่วโมง การทดลองพบว่า เมื่อเติมปริมาณสารสร้างตะกอน 2 กรัม ลงในน้ำเสียจากโรงงานข้อมผ้า ให้ประสิทธิภาพในการกำจัดสีข้อม ได้ร้อยละ 19.91 และจะเห็นได้ว่า จากการทดลอง เมื่อลองเติมปริมาณสารสร้างตะกอนเพิ่มจาก 2 กรัม เป็น 3, 4 และ 5 กรัม ตามลำดับ จะพบว่า ประสิทธิภาพในการกำจัดสีข้อมมีค่าสูงขึ้นตามลำดับดังนี้คือ 52.30, 55.68 และ 56.51 ดังแสดงในภาพที่ 58 และตารางที่ 19

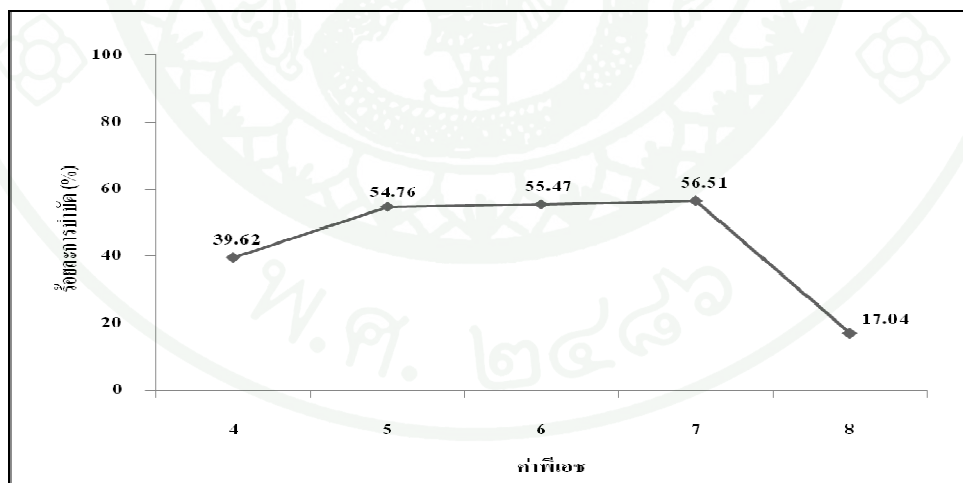


ภาพที่ 58 ความสัมพันธ์ระหว่างปริมาณสารสร้างตะกอนกับร้อยละการกำจัดสีข้อมในน้ำทิ้งจากโรงงานข้อมผ้าโครงการพัฒนาดอยตุง อันเนื่องมาจากพระราชดำริ โดยวิชาร์เทสต์

ตารางที่ 19 ผลการศึกษาอิทธิพลปริมาณสารสร้างตะกอนต่อร้อยละการกำจัดสีข้อมในน้ำทึ้งจาก
โรงงานข้อมผ้าโครงการพัฒนาดอยตุง อันเนื่องมาจากพระราชดำริ

ปริมาณพุงเมล็ดมะรุม (กรัม)	ร้อยละการกำจัดสีข้อม
1	5.20
2	19.91
3	52.3
4	55.68
5	56.51

6.4 ขั้นตอนที่สี่ จากการทดลองในข้อ 6.3 จะพบว่าสารสร้างตะกอนที่ปริมาณ 5 กรัม ให้ร้อยละการกำจัดสีข้อมได้สูงสุดคือ ร้อยละ 56.51 ขณะนี้ จึงเลือกสารสร้างตะกอนที่ปริมาณ 5 กรัม มาทำการศึกษาค่าพีอีชในบำบัดสีข้อมในน้ำทึ้งจากโรงงานข้อมผ้าโครงการพัฒนาดอยตุง อันเนื่องมาจากพระราชดำริ จากการศึกษาพบว่า เมื่อค่าพีอีชมีค่าเท่ากับ 8 จะให้ร้อยละการกำจัดสีข้อมได้ต่ำสุด คือร้อยละ 17.04 และเมื่อค่าพีอีช 7 จะให้ร้อยละการกำจัดสีข้อมได้สูงสุดคือร้อยละ 56.51 ซึ่งให้ผลเช่นเดียวกับที่ศึกษาจากวิธีแบบเบตซ์ ดังแสดงในภาพที่ 59 และตารางที่ 20



ภาพที่ 59 ความสัมพันธ์ระหว่างค่าพีอีชกับร้อยละการกำจัดสีข้อมในน้ำทึ้งจากโรงงานข้อมผ้า
โครงการพัฒนาดอยตุง อันเนื่องมาจากพระราชดำริ โดยวิธีเบตซ์

**ตารางที่ 20 ผลการศึกษาอิทธิพลค่าพีอีชต่อร้อยละการกำจัดสีข้อมในน้ำทึบจากโรงงานข้อมผ้า
โครงการพัฒนาดอยตุง อันเนื่องมาจากพระราชดำริ**

พีอีช	ร้อยละการกำจัดสีข้อม
4	39.62
5	54.76
6	55.47
7	56.51
8	17.04

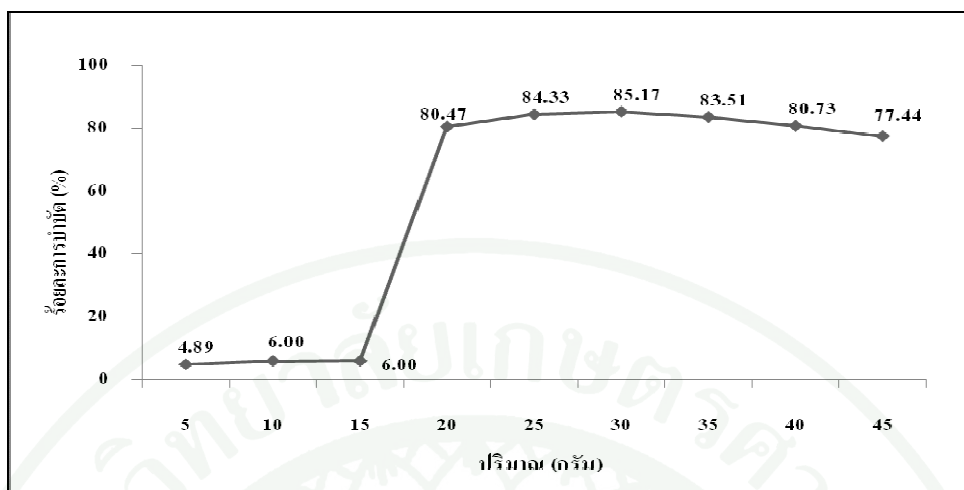
สำหรับผลการวิเคราะห์คุณภาพน้ำเสียจากโรงงานข้อมผ้าโครงการพัฒนาดอยตุง อันเนื่องมาจากพระราชดำริ ภายหลังการการกำจัดสีข้อมด้วยพิมเมล็ดมะรุม พบร่วมกับพิมเมล็ดมะรุมสามารถนำบัคคลสารอื่นๆได้ เช่น ความชุน, ค่าการนำไฟฟ้า, ความเค็ม, ของแข็งทั้งหมดที่ละลายน้ำ, ไขมันและน้ำมัน, ของแข็งแขวนลอยทั้งหมด, ของแข็งทั้งหมด และซีโอดี โดยอาศัยกระบวนการโคลอคถูเกลชั่น โดยใช้วิธีjar-test ซึ่งสามารถนำบัคคลได้ร้อยละ 1.20, 10.74, 11.36, 10.88, 16.40, 40.00, 4.91 และ 43.86 ตามลำดับ ดังตารางที่ 21

ตารางที่ 21 คุณภาพน้ำเสียจากโรงงานข้อมผ้าโครงการพัฒนาดอยตุง อันเนื่องมาจากพระราชดำริ หลังการกำจัดสีข้อมด้วยกระบวนการโดยโภคภูแลชั้น โดยใช้วิธีjarvest

พารามิเตอร์	ค่ามาตรฐาน	คุณภาพน้ำ	ประสิทธิภาพ
	นำทึ้ง	หลัง	การกำจัด (ร้อยละ)
	อุตสาหกรรม	การกำจัด	
พีอีซ	5.5-9.0	7.2	-2.86
ความขุ่น (NTU)	-	57.8	1.2
ค่าการนำไฟฟ้า (ms/cm)	-	6.98	10.74
ความเค็ม	-	3.9	11.36
ของแข็งทั้งหมดที่ละลายน้ำ (mg/l)	ไม่เกิน 3,000	4.67	10.88
ไขมันและน้ำมัน (mg/l)	ไม่เกิน 5	0.51	16.4
ของแข็งแขวนลอยทั้งหมด (mg/l)	ไม่เกิน 50	12	40
ของแข็งทั้งหมด (mg/l)	ไม่เกิน 300	6,406.00	4.91
ซีไอดี (mg/l)	ไม่เกิน 120	42.67	43.86

7. ผลการศึกษาประสิทธิภาพเพื่อการประยุกต์ใช้งานจริง ในการกำจัดสีข้อมโดยใช้ ผงเมล็ดมะรุม เป็นสารสร้างตะกอน

จากการทดลองในข้อ 8.1 เมื่อนำผงเมล็ดมะรุมซึ่งเป็นสารช่วยสร้างตะกอนมาทำการกำจัดสีข้อมในสารละลายสีข้อมผสมเข้มข้น 30 มิลลิกรัมต่อลิตร ปริมาตร 20 ลิตร พบร่วมกับเมล็ดมะรุมเพิ่มมากขึ้นจะทำให้ประสิทธิภาพในการกำจัดสีข้อมในสารละลายสีข้อมมาตรฐานเพิ่มสูงขึ้น จากการพบว่าในช่วงแรกที่เติมปริมาณสารสร้างตะกอนลงไป ค่าประสิทธิภาพการกำจัดสีข้อมจะมีค่าต่ำคือที่ปริมาณ 5 กรัม จะให้ค่าร้อยละการกำจัดสีข้อมได้ต่ำสุดคือร้อยละ 4.89 แต่มีระยะเวลาผ่านไปปริมาณสารสร้างตะกอนมีปริมาณมากขึ้น พบร่วมที่ 40 กรัม จะให้ค่าร้อยละการกำจัดสีข้อมได้สูงสุดคือร้อยละ 80.73 ดังภาพที่ 60 และตารางที่ 22 และจากการพบว่าสารสร้างตะกอนที่ปริมาณ 20 กรัม จะให้ค่าร้อยละการกำจัดสีข้อมได้ใกล้เคียงกันกับที่ 40 กรัม ดังนั้นในการศึกษาทดลองครั้งนี้จึงเลือกใช้ปริมาณสารสร้างตะกอนที่ 20 กรัม เพื่อช่วยประหยัดตัวสารสร้างตะกอนและช่วยลดต้นทุนในการกำจัดน้ำเสีย



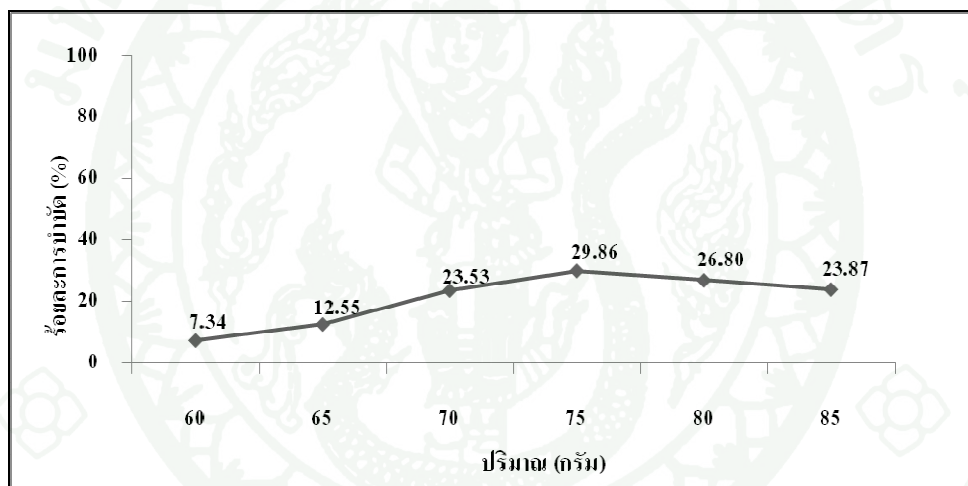
ภาพที่ 60 ความสัมพันธ์ระหว่างปริมาณสารสร้างตะกอนกับร้อยละการกำจัดสีข้อมในสารละลายน้ำข้อมผสม โดยวิธีการประยุกต์ใช้งานจริง

ตารางที่ 22 ผลการศึกษาอิทธิพลปริมาณสารสร้างตะกอนต่อร้อยละการกำจัดสีข้อมในสารละลายน้ำข้อมผสม โดยวิธีการประยุกต์ใช้งานจริง

ปริมาณผงเมล็ดมะรุม (กรัม)	ร้อยละการกำจัดสีข้อม
5	4.89
10	6.00
15	6.00
20	80.47
25	84.33
30	85.17
35	83.51
40	80.73
45	77.44

จากการทดลองในข้อ 8.2 เมื่อนำผงเมล็ดมะรุมซึ่งเป็นสารช่วยสร้างตะกอนมาทำการกำจัดสีข้อมในน้ำเสียจากโรงงานข้อมผ้า โครงการพัฒนาดอยตุง อันเนื่องมาจากพระราชดำริ โดยเมื่อเติมสารช่วยสร้างตะกอนปริมาณ 20 กรัม ลงในน้ำเสียจากโรงงานข้อมผ้า พบว่า ไม่สามารถนำบัดสี

ข้อมูลในน้ำเสียจากโรงงานข้อมผ้าได้อาจเป็นเพราะน้ำเสียจากโรงงานข้อมผ้า มีค่าความเข้มข้นของสีข้อมสูงเกินไป จึงทำให้การกำจัดสีข้อมโดยการเติมพูนจากเม็ดคุมระบุที่ปริมาณ 20 กรัม ไม่สามารถนำบัดสีข้อมได้ ดังนั้น จึงทำการศึกษาหาปริมาณสารช่วยตัดตะกอนเพิ่มเติม โดยการเติมปริมาณสารช่วยตัดตะกอนให้มากขึ้น และพบว่า เมื่อปริมาณสารช่วยสร้างตะกอนมากขึ้น จะให้ประสิทธิภาพการกำจัดสีข้อมมีค่าสูงขึ้นก่อตัวคือ ที่ปริมาณ 70, 75 และ 80 จะให้ประสิทธิภาพการกำจัดสีข้อมที่มีค่าใกล้เคียงกัน โดยที่ปริมาณ 75 กรัมจะให้ประสิทธิภาพการกำจัดสีข้อมสูงสุดคือร้อยละ 29.86 รองลงมาคือที่ปริมาณ 80 และ 70 กรัม จะให้ประสิทธิภาพการกำจัดสีข้อมคือ ร้อยละ 26.80 และ 23.53 ตามลำดับ ดังภาพที่ 61 และตารางที่ 23 และจากการวิเคราะห์คุณภาพน้ำหลังการกำจัดสีข้อมพบว่าสารสร้างตะกอนที่ปริมาณ 70 กรัม จะให้ประสิทธิภาพในการกำจัดสารต่างๆ ในน้ำได้ดีกว่า 75 และ 80 กรัม ตามลำดับ



ภาพที่ 61 ความสัมพันธ์ระหว่างปริมาณสารสร้างตะกอนกับร้อยละการกำจัดสีข้อมในน้ำเสียจากโรงงานข้อมผ้าโครงการพัฒนาดอยตุง อันเนื่องมาจากพระราชดำริ โดยวิธีการประยุกต์ใช้งานจริง

ตารางที่ 23 ผลการศึกษาอิทธิพลปริมาณสารสร้างต่อกันต่อร้อยละการกำจัดสีข้อมในน้ำเสียจาก โรงงานข้อมผ้าโครงการพัฒนาดอยตุง อันเนื่องมาจากพระราชดำริ โดยวิธีการประยุกต์ใช้งานจริง

ปริมาณผงเมล็ดมะรุม (กรัม)	ร้อยละการดูดนำบัดสีข้อม
60	7.34
65	12.55
70	23.53
75	29.86
80	26.8
85	23.87

สำหรับผลการวิเคราะห์คุณภาพน้ำเสียจากโรงงานข้อมผ้าโครงการพัฒนาดอยตุง อัน เนื่องมาจากพระราชดำริ ภายหลังการการกำจัดสีข้อมด้วยผงเมล็ดมะรุม โดยวิธีการประยุกต์ใช้งานจริง (การปั่นกวนโดยใช้พัดลม) พบว่า ผงเมล็ดมะรุมสามารถนำบัดผลสารอื่นๆ ได้ เช่น ความชุ่น ค่า การนำไฟฟ้า ความเค็ม ของแข็งทั้งหมดที่ละลายใน ไบมันและน้ำมัน ของแข็งทั้งหมด และซีโอดี โดยวิธีการประยุกต์ใช้งานจริง (การปั่นกวนโดยใช้พัดลม) ซึ่งสามารถนำบัดได้ร้อยละ 26.07, 0.30, 2.70, 0.45, 30.00, 4.09 และ 36.84 ตามลำดับ ดังตารางที่ 24

ตารางที่ 24 คุณภาพน้ำเสียจากโรงงานข้อมผ้าโครงการพัฒนาดอยตุง อันเนื่องมาจากพระราชดำริ หลังการกำจัดสีข้อมโดยวิธีการประยุกต์ใช้งานจริง

พารามิเตอร์	ค่ามาตรฐาน	คุณภาพน้ำเสีย	คุณภาพน้ำเสีย	ประสิทธิภาพ
	น้ำทิ้ง	ที่ปรับสภาพ	หลังการ	การกำจัด
	อุตสาหกรรม	เริ่มต้น	บำบัด	(ร้อยละ)
พีเอช	5.5-9.0	7.00	7.20	-2.86
ความชุ่น (NTU)	-	75.30	55.67	26.07
ค่าการนำไฟฟ้า (ms/cm)	-	6.62	6.60	0.30
ความเค็ม	-	3.70	3.60	2.70
ของแข็งทั้งหมดที่ละลายน้ำ (mg/l)	ไม่เกิน 3,000	4.44	4.42	0.45
ไขมันและน้ำมัน (mg/l)	ไม่เกิน 5	0.30	0.21	30.00
ของแข็งแขวนลอยทั้งหมด (mg/l)	ไม่เกิน 50	196.00	226.00	-15.31
ของแข็งทั้งหมด (mg/l)	ไม่เกิน 300	7098.00	6808.00	4.09
ซีโอลดี (mg/l)	ไม่เกิน 120	76.00	48.00	36.84

สรุปและข้อเสนอแนะ

๗๖

การทดลองแบ่งออกเป็น 2 ส่วน คือ ส่วนที่หนึ่งการศึกษาประสิทธิภาพการดูดซับด้วยผงเมล็ดมะรุมเปรี้ยบเทียบกับถ่านบิทูมินัสเชิงพาณิชย์และการประยุกต์ใช้งานจริง และส่วนที่สองการศึกษาประสิทธิภาพการกำจัดสีข้อม โดยใช้ผงเมล็ดมะรุมเป็นสารช่วยสร้างตะกอนในกระบวนการโคลอเอคกเลชั่นโดยวิธีjarrett และการประยุกต์ใช้งานจริง

การทดลองส่วนที่หนึ่ง การศึกษาประสิทธิภาพการคุณชั้บด้วยผงเมล็ดมะรุมเบรย์บเทียบกับถ่านบิทูมนัสเชิงพาณิชย์ จากการศึกษาสภาวะที่เหมาะสมของการคุณชั้บสีเข้มในสารละลายสีเข้มผสมเพิ่มขึ้น 30 มิลลิกรัมต่อลิตร ปริมาตร 50 มิลลิลิตร ด้วยผงเมล็ดมะรุม 1 กรัม ได้ผลการทดลองดังนี้ คือ 皮 เอชที่เหมาะสมเท่ากับ 7 ความเร็วรอบการเขย่า 100 รอบต่อนาที ระยะเวลาการเขย่า 30 นาที ระยะเวลาสัมผัส 0 นาที ผงเมล็ดมะรุมมีประสิทธิภาพการคุณชั้บคิดเป็นร้อยละการคุณชั้บเฉลี่ยเท่ากับ 94.74 และสำหรับถ่านบิทูมนัสเชิงพาณิชย์ 7 กรัม ได้ผลการทดลองดังนี้ คือ 皮 เอชที่เหมาะสมเท่ากับ 7 ความเร็วรอบการเขย่า 50 รอบต่อนาที ระยะเวลาการเขย่า 120 นาที ระยะเวลาสัมผัส 30 นาที ถ่านบิทูมนัสเชิงพาณิชย์ มีประสิทธิภาพการคุณชั้บคิดเป็นร้อยละการคุณชั้บเฉลี่ยเท่ากับ 73.99 นอกจากนี้ยังพบว่ากระบวนการคุณชั้บของตัวคุณชั้บทั้งสองชนิดมีกลไกการคุณชั้บสอดคล้องกับสมการ ไอโซเทอร์มของแอลเมียร์และฟรุนดิช และเมื่อนำสภาวะที่เหมาะสมต่อการคุณชั้บสีเข้มมาประยุกต์ใช้งานจริง โดยทำการทดลองกับน้ำทึบจากโรงงานข้อมผ้า โครงการพัฒนา อยotung ปริมาตร 20 ลิตร พบว่า ตัวคุณชั้บผงเมล็ดมะรุมและถ่านบิทูมนัสเชิงพาณิชย์สามารถนำบัดสีเข้มทึบ 9 ชนิด ได้ร้อยละการกำจัดดังนี้ 6% Super Black G 52.08 และ 53.85, 2% Turquoise H-GN 41.03 และ 60.00, 2% Yellow LS-4G 44.09 และ 63.60, 2% Yellow LS-R-01 41.23 และ 63.49, 2% Orange LS-BR 41.41 และ 64.55, 4% Navy LS-G 62.22 และ 63.64, 2% Red LS-B 46.30 และ 60.00, 2% Blue LS-3R 54.17 และ 61.54 และ 2% Br.Blue LS-G 35.90 และ 58.57 ตามลำดับ โดยพบว่าเมล็ดมะรุมมีประสิทธิภาพในการการคุณชั้บสีเข้มได้น้อยกว่าถ่าน อาจเนื่องมาจากสิ่งเจือปนที่มีอยู่ในน้ำเสียง ไปรบกวนการคุณชั้บของผงเมล็ดมะรุมต่อการคุณชั้บสีเข้ม ซึ่งผงเมล็ดมะรุมและถ่านบิทูมนัสเชิงพาณิชย์มีประสิทธิภาพในการกำจัดสีเข้มในน้ำทึบจากโรงงานข้อมผ้าได้เกลี่ยร้อยละ 46.49 และ 61.03 ตามลำดับ

การทดลองส่วนที่สองคือ การศึกษาประสิทธิภาพการกำจัดสีข้อมด้วยกระบวนการโคลอค กูเลชั่น โดยใช้วิธีจาร์เกสต์และใช้ผงเมล็ดมะรุมเป็นสารช่วยสร้างตะกอน ผลการทดลองพบว่า ผง เมล็ดมะรุมมีความเหมาะสมที่จะใช้เป็นสารโคลอคกูเลชั่น และผงเมล็ดมะรุมมีสภาวะที่เหมาะสม ในการกำจัดสีข้อมในสารละลายสีข้อมผสม 30 มิลลิกรัมต่อลิตร ปริมาตร 800 มิลลิลิตร คือ ใช้ ปริมาณผงเมล็ดมะรุม 2 กรัม พื้อที่เหมาะสมเท่ากับ 7 สามารถนำบัดสีข้อมคิดเป็นร้อยละ 97.12 และเมื่อนำผงเมล็ดมะรุมมาทำการทดสอบกับน้ำเสียจากโรงงานข้อมผ้า ปริมาตร 800 มิลลิลิตร พบว่า ผงเมล็ดมะรุมมีสภาวะที่เหมาะสมในการกำจัดสีข้อมในน้ำเสียจากโรงงานข้อมผ้า คือ ปริมาณผง เมล็ดมะรุม 5 กรัม ที่พื้อที่ 7 มีประสิทธิภาพในการกำจัดสีข้อมคิดเป็นร้อยละ 56.51 ภายหลังการ กำจัดสีข้อมด้วยผงเมล็ดมะรุมโดยกระบวนการโคลอค กูเลชั่น โดยใช้วิธีจาร์เกสต์ พบว่า ผงเมล็ด มะรุมสามารถนำบัดคุมสารอื่นๆ ได้ เช่น ความชุ่น ค่าการนำไฟฟ้า ความเค็ม ของแข็งทั้งหมดที่ ละลายน้ำ ในมันและน้ำมัน ของแข็งทั้งหมด และซีโอดี ซึ่งสามารถนำบัดได้ร้อยละ 1.20, 10.74, 11.36, 10.88, 16.40, 40.00, 4.91 และ 43.86 ตามลำดับ

การศึกษาประสิทธิภาพเพื่อการประยุกต์ใช้งานจริง ในการกำจัดสีข้อม โดยใช้ผงเมล็ด มะรุมเป็นสารสร้างตะกอน ผลการศึกษาพบว่า ผงเมล็ดมะรุมมีสภาวะที่เหมาะสมในการกำจัดสี ข้อมในสารละลายสีข้อมผสม 30 มิลลิกรัมต่อลิตร ปริมาตร 20 ลิตร คือ ใช้ปริมาณผงเมล็ดมะรุม 20 กรัม พื้อที่เหมาะสมเท่ากับ 7 ปั้นกวน โดยใช้ใบพัดต่อเข้ากับมอเตอร์กวนเป็นระยะเวลา 12 นาที ให้ร้อยละการกำจัดเฉลี่ยที่ดีที่สุดเท่ากับร้อยละ 80.47 และเมื่อนำผงเมล็ดมะรุมมาทำการทดสอบกับ น้ำเสียจากโรงงานข้อมผ้า พบว่า ผงเมล็ดมะรุมมีสภาวะที่เหมาะสมในการกำจัดสีข้อมในน้ำเสียจาก โรงงานข้อมผ้า คือ ใช้ปริมาณผงเมล็ดมะรุม 70 กรัม มีประสิทธิภาพในการกำจัดสีข้อมคิดเป็นร้อย ละ 23.53 ภายหลังการกำจัดสีข้อมด้วยผงเมล็ดมะรุมโดยวิธีการประยุกต์ใช้งานจริง พบว่า ผง เมล็ดมะรุมสามารถนำบัดคุมสารอื่นๆ ได้ เช่น ความชุ่น ค่าการนำไฟฟ้า ความเค็ม ของแข็งทั้งหมดที่ ละลายน้ำ ในมันและน้ำมัน ของแข็งทั้งหมด และซีโอดี โดยวิธีการประยุกต์ใช้งานจริง ซึ่งสามารถ นำบัดได้ร้อยละ 26.07, 0.30, 2.70, 0.45, 30.00, 4.09 และ 36.84 ตามลำดับ

ข้อเสนอแนะ

1. ควรมีการศึกษาพัฒนาเปรียบเทียบระหว่างผังเมืองคัมภีร์และผังจากพื้นที่ตระกูลถ้าว่าสามารถนำมาบังคับใช้ได้ดีเท่ากันหรือไม่
2. ในการศึกษาทดลองครั้งนี้ได้นำผังเมืองคัมภีร์ที่ผ่านการคุดซับสีข้อมูลจากโรงงานข้อมูลไปใช้เป็นปัจจัยให้ด้านไม่ต่อไป

เอกสารและสิ่งอ้างอิง

กาวี ศรีกุลกิจ. 2545. รายงานเรื่องหลักการย้อมสีสิ่งทอ. ภาควิชาวัสดุศาสตร์ คณะวิทยาศาสตร์ จุฬาลงกรณ์มหาวิทยาลัย, กรุงเทพฯ.

กรมโรงงานอุตสาหกรรม กระทรวงอุตสาหกรรม. 2542. คู่มือผู้ควบคุมและผู้ปฏิบัติงานระบบบำบัดมลพิษโรงงาน, กรุงเทพฯ.

ดุษณี ชนะบริพัฒน์. 2538. จุลชีววิทยาอุตสาหกรรม. พิมพ์ครั้งที่ 2. โครงการดำเนินสถาบันเทคโนโลยีพระจอมเกล้าเจ้าคุณทหารลาดกระบัง, กรุงเทพฯ.

นิพนธ์ ตั้งคณานุรักษ์ และ คณิตา ตั้งคณานุรักษ์. 2550. หลักการการตรวจวิเคราะห์คุณภาพทางเคมี. สำนักพิมพ์ มหาวิทยาลัยเกษตรศาสตร์, กรุงเทพฯ.

ไซฤทธิ์ กลินสุคนธ์ และ ปริชา พลอยภัทรภิญโญ. 2536. การจัดการน้ำทิ้งโรงงานอุตสาหกรรมสิ่งทอ. วารสารวิจัยและพัฒนาสถาบันวิจัยวิทยาศาสตร์และเทคโนโลยีแห่งประเทศไทย.

ปราโมทย์ เชี่ยวชาญ. 2551. ระบบปรับปรุงคุณภาพน้ำ (WATER TREATMENT PLANT). จุลสารสาขาวิชาวิทยาศาสตร์สุขภาพ มุนิวิชาการ ด้านอาชีวอนามัยและสิ่งแวดล้อม มหาวิทยาลัยสุโขทัยธรรมราช, นนทบุรี

ภัญญ์พิตา มุ่งการดี. 2531. การกำจัดความชุนของน้ำโดยใช้เมล็ดมะรุม. งานวิจัยของคณาวิศวกรรมศาสตร์ ภาควิชาวิศวกรรมสิ่งแวดล้อม มหาวิทยาลัยขอนแก่น, ขอนแก่น

อริศรา พุ่มเดชา. 2539. การศึกษาการดูดซับร่วมกับสารสัมในการกำจัดสีจากน้ำเสียโรงงานฟอกย้อมสิ่งทอ. เทคโนโลยีพระจอมเกล้าชานนาทนบุรี, กรุงเทพฯ.

อำนาจ จิตศิริวิริยะ. 2546. การกำจัดสีน้ำจากสาระหว่างการใช้โพลีอะครูมิเนียมคลอไรด์ร่วมกับแกลบเนпа หรือซิลิกาอกรูมินา หรือเต้าลอย. วิทยานิพนธ์ปริญญาโท, จุฬาลงกรณ์มหาวิทยาลัย.

Harrelkas, F., A. Azizi, A. Yaacoubi, A. Benhammou and M.N. Pons. 2009. **Treatment of Textile Dyess Effluents Using Coagulation`Flocculation Coupled with Membrane Processes or Adsorption on Powdered Activated Carbon.** Desalination. 235: 330-339.





สิงหนาท นิตย์ มหาวิทยาลัยเกษตรศาสตร์

ตารางผนวกที่ 1 ความสัมพันธ์ระหว่างพีเอช (4, 5) กับร้อยละการดูดซับสีขึ้นด้วยพงเมล็ดมะรุม

ค่าการดูดกลืนแสง (มิลลิกรัมต่อลิตร)									
ความยาวคลื่น (นาโนเมตร)	เริ่มต้น	pH 4				pH 5			
		หลังการดูดซับ	ร้อยละการดูดซับ	S.D.	เริ่มต้น	หลังการดูดซับ	ร้อยละการดูดซับ	S.D.	
400 nm	0.54	0.07	86.42	0.01	0.53	0.07	86.79	0.01	
420 nm	0.51	0.06	88.89	0.01	0.53	0.06	89.25	0.01	
434 nm	0.29	0.09	70.11	0.01	0.33	0.09	73.64	0.01	
546 nm	0.34	0.01	97.06	0.01	0.36	0.02	93.61	0.01	
588 nm	0.42	0.01	97.62	0.01	0.45	0.01	97.78	0.01	
594 nm	0.47	0.02	96.45	0.01	0.47	0.02	96.38	0.01	
616 nm	0.46	0.01	98.55	0.01	0.50	0.01	98.6	0.01	
662 nm	0.21	0.01	93.65	0.01	0.25	0.01	96.00	0.01	
666nm	0.20	0.02	88.33	0.01	0.25	0.02	93.20	0.01	

ตารางผนวกที่ 2 ความสัมพันธ์ระหว่างพีเอช (7, 8) กับร้อยละการคุณซับสีข้อมูลของเมล็ดมะรุม

ค่าการคุณกลืนแสง (มิลลิกรัมต่อลิตร)									
ความยาวคลื่น (นาโนเมตร)	เริ่มต้น	pH 7			S.D.	เริ่มต้น	pH 8		
		หลังการ คุณซับ	ร้อยละการ คุณซับ	หลังการ คุณซับ			ร้อยละการ คุณซับ	หลังการ คุณซับ	S.D.
400 nm	0.53	0.05	90.00	0.01	0.01	0.54	0.07	87.59	0.01
420 nm	0.53	0.04	91.89	0.01	0.01	0.52	0.05	90.39	0.00
434 nm	0.50	0.04	92.00	0.00	0.00	0.35	0.09	73.43	0.01
546 nm	0.40	0.01	97.50	0.00	0.00	0.38	0.01	97.37	0.01
588 nm	0.48	0.01	97.92	0.00	0.00	0.47	0.00	99.36	0.01
594 nm	0.51	0.01	98.63	0.01	0.01	0.50	0.01	86.60	0.01
616 nm	0.53	0.01	98.11	0.00	0.00	0.51	0.00	100.00	0.00
662 nm	0.29	0.00	98.97	0.01	0.01	0.27	0.00	100.00	0.00
666nm	0.28	0.01	97.50	0.01	0.01	0.26	0.01	95.00	0.01

ตารางผนวกที่ 3 ความสัมพันธ์ระหว่างพีเอช (4, 5) กับร้อยละการคุณซับลีข้อมูลย่างกานบิทูมินสเชิงพาณิชย์

ความยาวคลื่น (นาโนเมตร)	ค่าการคุณกลืนแสง (มิลลิกรัมต่อลิตร)							
	pH 4				pH 5			
	เริ่มต้น	หลังการคุณซับ	ร้อยละการคุณซับ	S.D.	เริ่มต้น	หลังการคุณซับ	ร้อยละการคุณซับ	S.D.
400 nm	0.58	0.28	51.15	0.01	0.56	0.30	45.83	0.01
420 nm	0.56	0.28	49.40	0.01	0.56	0.29	48.21	0.00
434 nm	0.50	0.27	46.67	0.02	0.52	0.28	45.51	0.01
546 nm	0.37	0.22	39.64	0.02	0.37	0.23	36.94	0.01
588 nm	0.45	0.24	45.93	0.01	0.46	0.24	47.83	0.02
594 nm	0.45	0.25	43.70	0.01	0.47	0.25	46.81	0.02
616 nm	0.48	0.26	45.14	0.01	0.50	0.27	45.33	0.01
662 nm	0.26	0.21	20.51	0.01	0.29	0.21	26.44	0.01
666nm	0.23	0.20	14.49	0.01	0.27	0.21	23.46	0.01

ตารางผนวกที่ 4 ความสัมพันธ์ระหว่างพีเอช (7, 8) กับร้อยละการดูดซับตีเข้มคัวยถ่านบิทูมินัสเชิงพาณิชย์

ค่าการดูดกลืนแสง (มิลลิกรัมต่อลิตร)									
ความยาวคลื่น (นาโนเมตร)	เริ่มต้น	pH 7				pH 8			
		หลังการดูดซับ	ร้อยละการดูดซับ	S.D.	เริ่มต้น	หลังการดูดซับ	ร้อยละการดูดซับ	S.D.	
400 nm	0.56	0.28	50.60	0.01	0.55	0.29	47.88	0.01	
420 nm	0.55	0.27	51.52	0.01	0.55	0.28	49.70	0.01	
434 nm	0.52	0.27	48.72	0.01	0.53	0.27	48.43	0.01	
546 nm	0.39	0.23	41.88	0.01	0.39	0.23	40.17	0.01	
588 nm	0.47	0.25	47.52	0.01	0.47	0.24	48.94	0.01	
594 nm	0.48	0.24	49.31	0.01	0.48	0.24	49.31	0.01	
616 nm	0.52	0.26	50.64	0.01	0.50	0.26	47.33	0.01	
662 nm	0.30	0.19	35.56	0.01	0.31	0.21	31.18	0.01	
666nm	0.28	0.20	29.76	0.01	0.29	0.20	29.89	0.01	

ตารางผนวกที่ 5 ความสัมพันธ์ระหว่างความเร็วรอบการเขย่า (0, 50) กับร้อยละการคัดซับลีบีอัมด้วยผงเมล็ดมะรุม

ค่าการคัดกลืนแสง (มิลลิกรัมต่อลิตร)								
ความยาวคลื่น (นาโนเมตร)	ความเร็วรอบการเขย่า (0 รอบต่อนาที)				ความเร็วรอบการเขย่า (50 รอบต่อนาที)			
	เริ่มต้น	หลังการคัดซับ	ร้อยละการคัดซับ	S.D.	เริ่มต้น	หลังการคัดซับ	ร้อยละการคัดซับ	S.D.
400 nm	0.51	0.06	88.89	0.01	0.52	0.06	88.46	0.00
420 nm	0.53	0.03	94.34	0.01	0.52	0.04	91.67	0.01
434 nm	0.48	0.04	90.97	0.01	0.48	0.03	93.06	0.01
546 nm	0.37	0.00	99.10	0.01	0.41	0.02	95.12	0.01
588 nm	0.46	0.01	97.83	0.00	0.49	0.01	97.28	0.01
594 nm	0.47	0.00	99.29	0.01	0.47	0.00	99.29	0.01
616 nm	0.50	0.01	97.33	0.01	0.51	0.00	99.35	0.01
662 nm	0.31	0.02	94.62	0.01	0.28	0.01	96.43	0.01
666nm	0.27	0.01	96.30	0.02	0.26	0.00	98.72	0.01

ตารางผนวกที่ 6 ความสัมพันธ์ระหว่างความเร็วรอบการเบี้ยว (100, 150) กับร้อยละการดูดซับสีข้อมูลด้วยพงเมล็ดมะรุม

ค่าการดูดกลืนแสง (มิลลิกรัมต่อลิตร)									
ความยาวคลื่น (นาโนเมตร)	ความเร็วรอบการเบี้ยว (100 รอบต่อนาที)					ความเร็วรอบการเบี้ยว (150 รอบต่อนาที)			
	เริ่มต้น	หลังการดูดซับ	ร้อยละการดูดซับ	S.D.	เริ่มต้น	หลังการดูดซับ	ร้อยละการดูดซับ	S.D.	
400 nm	0.53	0.05	89.94	0.01	0.52	0.06	88.46	0.00	
420 nm	0.53	0.04	91.82	0.01	0.50	0.05	90.67	0.01	
434 nm	0.50	0.04	92.00	0.00	0.47	0.03	92.91	0.01	
546 nm	0.40	0.01	97.50	0.00	0.40	0.02	95.00	0.00	
588 nm	0.48	0.01	97.92	0.00	0.46	0.01	97.10	0.01	
594 nm	0.51	0.01	98.69	0.01	0.47	0.01	97.87	0.00	
616 nm	0.53	0.01	98.11	0.00	0.51	0.01	98.69	0.01	
662 nm	0.29	0.00	98.85	0.01	0.28	0.01	95.24	0.01	
666nm	0.28	0.01	97.62	0.01	0.27	0.00	100.00	0.00	

ตารางผนวกที่ 7 ความสัมพันธ์ระหว่างความเร็วรอบการเขย่า (200) กับร้อยละการดูดซับตีบ้มด้วยผงเม็ดมะรุม

ค่าการดูดกลืนแสง (มิลลิกรัมต่อลิตร)					
ความยาวคลื่น (นาโนเมตร)	เริ่มนับ	ความเร็วรอบการเขย่า (200 รอบต่อนาที)			S.D.
		หลังการดูดซับ	ร้อยละการดูดซับ		
400 nm	0.52	0.07	87.18		0.01
420 nm	0.53	0.06	88.68		0.00
434 nm	0.51	0.07	86.93		0.01
546 nm	0.37	0.02	95.50		0.01
588 nm	0.47	0.01	98.58		0.01
594 nm	0.48	0.02	95.83		0.01
616 nm	0.49	0.01	97.28		0.02
662 nm	0.28	0.01	96.43		0.01
666nm	0.27	0.01	97.53		0.01

ตารางผนวกที่ 8 ความสัมพันธ์ระหว่างความเร็วรอบการเขย่า (0, 50) กับร้อยละการคุณซับลีบอนด้วยถ่านบิทูมินัสเชิงพาณิชย์

ค่าการคุณกลืนแสง (มิลลิกรัมต่อลิตร)									
ความเร็วรอบการเขย่า (0 รอบต่อนาที)					ความเร็วรอบการเขย่า (50 รอบต่อนาที)				
ความยาวคลื่น (นาโนเมตร)	เริ่มต้น	หลังการคุณซับ	ร้อยละการคุณซับ	S.D.	เริ่มต้น	หลังการคุณซับ	ร้อยละการคุณซับ	S.D.	
400 nm	0.57	0.37	35.09	0.01	0.57	0.27	52.05	0.01	
420 nm	0.56	0.36	35.12	0.01	0.56	0.27	52.38	0.01	
434 nm	0.53	0.35	33.33	0.01	0.53	0.26	50.31	0.01	
546 nm	0.41	0.28	30.89	0.01	0.41	0.22	45.53	0.01	
588 nm	0.50	0.34	31.33	0.01	0.50	0.26	47.33	0.01	
594 nm	0.51	0.35	30.72	0.01	0.51	0.26	48.37	0.01	
616 nm	0.54	0.36	32.72	0.01	0.54	0.27	49.38	0.01	
662 nm	0.29	0.15	49.43	0.00	0.29	0.18	39.08	0.01	
666nm	0.27	0.21	22.22	0.00	0.27	0.17	35.80	0.01	

ตารางที่ 9 ความสัมพันธ์ระหว่างความเร็วรอบการเบี่ยง (100, 150) กับร้อยละการดูดซับสีข้อมูลค่าถ่านบิทูนน้ำเงินพาณิชย์

ค่าการดูดกลืนแสง (มิลลิกรัมต่อลิตร)									
ความยาวคลื่น (นาโนเมตร)	ความเร็วรอบการเบี่ยง (100 รอบต่อนาที)					ความเร็วรอบการเบี่ยง (150 รอบต่อนาที)			
	เริ่มต้น	หลังการดูดซับ	ร้อยละการดูดซับ	S.D.	เริ่มต้น	หลังการดูดซับ	ร้อยละการดูดซับ	S.D.	
400 nm	0.57	0.29	49.12	0.00	0.57	0.31	46.20	0.01	
420 nm	0.56	0.29	48.81	0.01	0.57	0.30	47.95	0.01	
434 nm	0.53	0.28	46.54	0.01	0.53	0.28	46.54	0.01	
546 nm	0.41	0.25	39.02	0.00	0.41	0.24	40.65	0.01	
588 nm	0.50	0.26	48.00	0.00	0.51	0.27	46.41	0.01	
594 nm	0.51	0.26	48.37	0.01	0.52	0.27	47.44	0.01	
616 nm	0.54	0.28	48.77	0.01	0.54	0.28	48.77	0.01	
662 nm	0.29	0.21	27.59	0.00	0.29	0.21	26.44	0.01	
666nm	0.27	0.19	28.40	0.01	0.27	0.20	24.69	0.01	

ตารางที่ 10 ความสัมพันธ์ระหว่างความเร็วรอบการเขย่า (200) กับร้อยละการดูดซับสีข้อมูลด้วยถ่านบิทูมินสเชิงพาณิชย์

ค่าการดูดกลืนแสง (มิลลิกรัมต่อลิตร)					
ความยาวคลื่น (นาโนเมตร)	เริ่มต้น	ความเร็วรอบการเขย่า (200 รอบต่อนาที)			
		หลังการดูดซับ	ร้อยละการดูดซับ		S.D.
400 nm	0.57	0.32	44.44		0.01
420 nm	0.57	0.31	45.03		0.01
434 nm	0.53	0.30	44.03		0.01
546 nm	0.41	0.26	35.77		0.01
588 nm	0.51	0.28	45.75		0.02
594 nm	0.52	0.28	45.51		0.01
616 nm	0.54	0.29	46.91		0.01
662 nm	0.29	0.24	18.39		0.01
666nm	0.27	0.23	13.58		0.01

ตารางผนวกที่ 11 ความสัมพันธ์ระหว่างระยะเวลา曝光 (15,30) กับร้อยละการดูดซับสีข้อมค้วยผงเมล็ดมะรุม

ค่าการดูดกลืนแสง (มิลลิกรัมต่อลิตร)									
ความยาวคลื่น (นาโนเมตร)	เริ่มต้น	ระยะเวลา曝光 (15 นาที)				ระยะเวลา曝光 (30 นาที)			
		หลังการดูดซับ	ร้อยละการดูดซับ	S.D.	เริ่มต้น	หลังการดูดซับ	ร้อยละการดูดซับ	S.D.	
400 nm	0.52	0.07	85.90	0.02	0.52	0.05	90.38	0.00	
420 nm	0.53	0.01	98.11	0.02	0.52	0.04	92.31	0.00	
434 nm	0.48	0.05	88.89	0.01	0.48	0.02	95.83	0.00	
546 nm	0.35	0.01	96.19	0.01	0.35	0.00	100.00	0.00	
588 nm	0.45	0.03	94.07	0.01	0.45	0.01	97.78	0.00	
594 nm	0.50	0.08	84.67	0.06	0.50	0.03	94.67	0.01	
616 nm	0.47	0.02	96.45	0.01	0.48	0.01	98.61	0.01	
662 nm	0.28	0.02	94.05	0.01	0.27	0.00	98.77	0.01	
666nm	0.26	0.02	93.59	0.01	0.26	0.01	97.44	0.01	

ตารางผนวกที่ 12 ความสัมพันธ์ระหว่างระยะเวลาเขย่า (45,60) กับร้อยละการดูดซับสีเมืองด้วยผงเม็ดมะรุม

ค่าการดูดกลืนแสง (มิลลิกรัมต่อลิตร)									
ความยาวคลื่น (นาโนเมตร)	เริ่มต้น	ระยะเวลาเขย่า (45 นาที)				ระยะเวลาเขย่า (60 นาที)			
		หลังการดูดซับ	ร้อยละการดูดซับ	S.D.	เริ่มต้น	หลังการดูดซับ	ร้อยละการดูดซับ	S.D.	
400 nm	0.52	0.07	85.90	0.01	0.53	0.06	88.05	0.01	
420 nm	0.52	0.06	89.10	0.01	0.53	0.04	92.45	0.00	
434 nm	0.48	0.04	90.97	0.01	0.49	0.05	90.48	0.01	
546 nm	0.35	0.01	96.19	0.01	0.35	0.04	89.52	0.01	
588 nm	0.45	0.02	96.30	0.01	0.45	0.02	95.56	0.00	
594 nm	0.49	0.02	95.24	0.01	0.50	0.01	97.33	0.01	
616 nm	0.48	0.02	96.53	0.01	0.49	0.02	95.92	0.00	
662 nm	0.27	0.01	95.06	0.01	0.27	0.02	91.36	0.01	
666nm	0.26	0.02	92.31	0.01	0.26	0.03	89.74	0.01	

ตารางผนวกที่ 13 ความสัมพันธ์ระหว่างระยะเวลา曝光 (75,90) กับร้อยละการดูดซับสีข้อมค้วยผงเมล็ดมะรุม

ค่าการดูดกลืนแสง (มิลลิกรัมต่อคลิตร)								
ความยาวคลื่น (นาโนเมตร)	เริ่มต้น	ระยะเวลา曝光 (75 นาที)			ระยะเวลา曝光 (90 นาที)			S.D.
		หลังการดูดซับ	ร้อยละการดูดซับ	S.D.	เริ่มต้น	หลังการดูดซับ	ร้อยละการดูดซับ	
400 nm	0.52	0.05	91.03	0.01	0.52	0.05	90.38	0.00
420 nm	0.52	0.04	92.95	0.01	0.51	0.04	92.81	0.01
434 nm	0.44	0.04	90.91	0.00	0.48	0.04	90.97	0.03
546 nm	0.39	0.01	96.58	0.01	0.37	0.01	96.40	0.01
588 nm	0.52	0.05	91.03	0.01	0.54	0.05	90.74	0.00
594 nm	0.51	0.02	96.08	0.01	0.53	0.01	98.11	0.00
616 nm	0.52	0.02	95.51	0.01	0.51	0.02	95.42	0.01
662 nm	0.30	0.04	85.56	0.01	0.31	0.04	86.02	0.01
666nm	0.30	0.03	88.89	0.01	0.26	0.04	83.33	0.01

ตารางผนวกที่ 14 ความสัมพันธ์ระหว่างระยะเวลา曝光 (105,120) กับร้อยละการดูดซับสีข้อมูลวิจัยของเมล็ดมะรุม

ค่าการดูดกลืนแสง (มิลลิกรัมต่อลิตร)								
ความยาวคลื่น (นาโนเมตร)	เริ่มต้น	ระยะเวลา曝光 (105 นาที)			ระยะเวลา曝光 (120 นาที)			S.D.
		หลังการดูดซับ	ร้อยละการดูดซับ	S.D.	เริ่มต้น	หลังการดูดซับ	ร้อยละการดูดซับ	
400 nm	0.52	0.08	85.26	0.01	0.55	0.08	85.45	0.00
420 nm	0.52	0.04	91.67	0.01	0.49	0.05	90.48	0.01
434 nm	0.47	0.06	87.23	0.00	0.45	0.09	80.00	0.00
546 nm	0.39	0.06	85.47	0.01	0.41	0.05	86.99	0.01
588 nm	0.49	0.02	95.92	0.00	0.49	0.02	95.24	0.01
594 nm	0.50	0.08	84.00	0.00	0.57	0.04	93.57	0.01
616 nm	0.52	0.03	93.59	0.01	0.57	0.04	93.57	0.01
662 nm	0.29	0.04	87.36	0.01	0.28	0.05	82.14	0.00
666nm	0.29	0.03	88.51	0.01	0.27	0.04	86.42	0.01

ตารางผนวกที่ 15 ความสัมพันธ์ระหว่างระยะเวลา曝光 (15,30) กับร้อยละการดูดซับสีข้อมูลข่าวสารบิทมินสเชิงพาณิชย์

ค่าการดูดกลืนแสง (มิลลิกรัมต่อลิตร)									
ความยาวคลื่น (นาโนเมตร)	เริ่มต้น	ระยะเวลา曝光 (15นาที)				ระยะเวลา曝光 (30 นาที)			
		หลังการดูดซับ	ร้อยละการดูดซับ	S.D.	เริ่มต้น	หลังการดูดซับ	ร้อยละการดูดซับ	S.D.	
400 nm	0.58	0.26	55.75	0.01	0.58	0.24	58.62	0.00	
420 nm	0.54	0.25	54.32	0.01	0.54	0.23	57.41	0.00	
434 nm	0.53	0.23	55.97	0.01	0.53	0.22	58.49	0.00	
546 nm	0.41	0.19	54.47	0.01	0.41	0.18	56.10	0.00	
588 nm	0.49	0.23	53.74	0.01	0.49	0.21	57.14	0.00	
594 nm	0.50	0.23	54.67	0.01	0.50	0.21	57.33	0.01	
616 nm	0.52	0.23	56.41	0.01	0.52	0.22	58.33	0.01	
662 nm	0.30	0.15	51.11	0.01	0.30	0.14	53.33	0.00	
666nm	0.28	0.14	50.00	0.00	0.28	0.14	51.19	0.01	

ตารางผนวกที่ 16 ความสัมพันธ์ระหว่างระยะเวลา曝光 (45,60) กับร้อยละการดูดซับสีข้อมูลด้วยกล้องบิทูมินส์เชิงพาณิชย์

ค่าการดูดกลืนแสง (มิลลิกรัมต่อคลิตร)									
ความยาวคลื่น (นาโนเมตร)	เริ่มต้น	ระยะเวลา曝光 (45 นาที)				ระยะเวลา曝光 (60 นาที)			
		หลังการดูดซับ	ร้อยละการดูดซับ	S.D.	เริ่มต้น	หลังการดูดซับ	ร้อยละการดูดซับ	S.D.	
400 nm	0.58	0.21	63.79	0.00	0.58	0.19	67.82	0.01	
420 nm	0.54	0.19	64.20	0.01	0.54	0.18	66.05	0.01	
434 nm	0.53	0.19	64.15	0.00	0.53	0.17	67.30	0.01	
546 nm	0.41	0.16	61.79	0.01	0.41	0.16	61.79	0.01	
588 nm	0.49	0.19	61.90	0.01	0.49	0.17	64.63	0.01	
594 nm	0.50	0.19	62.67	0.01	0.50	0.17	65.33	0.01	
616 nm	0.52	0.19	63.46	0.00	0.52	0.17	66.67	0.01	
662 nm	0.30	0.13	57.78	0.01	0.30	0.11	62.22	0.01	
666nm	0.28	0.12	57.14	0.00	0.28	0.11	60.71	0.00	

ตารางผนวกที่ 17 ความสัมพันธ์ระหว่างระยะเวลา曝光 (75,90) กับร้อยละการดูดซับสีข้อมค่วยกันบิทูมินัสเชิงพาณิชย์

ค่าการดูดกลืนแสง (มิลลิกรัมต่อคลิตร)									
ความยาวคลื่น (นาโนเมตร)	เริ่มต้น	ระยะเวลา曝光 (75 นาที)				ระยะเวลา曝光 (90 นาที)			
		หลังการดูดซับ	ร้อยละการดูดซับ	S.D.	เริ่มต้น	หลังการดูดซับ	ร้อยละการดูดซับ	S.D.	
400 nm	0.58	0.19	67.24	0.00	0.58	0.19	67.82	0.01	
420 nm	0.54	0.18	66.67	0.00	0.54	0.20	62.96	0.00	
434 nm	0.53	0.17	67.92	0.00	0.53	0.17	68.55	0.01	
546 nm	0.41	0.15	62.60	0.01	0.41	0.15	63.41	0.00	
588 nm	0.49	0.17	64.63	0.01	0.49	0.16	68.03	0.01	
594 nm	0.50	0.17	66.00	0.00	0.50	0.17	66.67	0.01	
616 nm	0.52	0.17	67.31	0.00	0.52	0.16	69.87	0.01	
662 nm	0.30	0.12	61.11	0.01	0.30	0.12	60.00	0.00	
666nm	0.28	0.11	60.71	0.00	0.28	0.12	57.14	0.00	

ตารางผนวกที่ 18 ความสัมพันธ์ระหว่างระยะเวลาเบย่า (105,120) กับร้อยละการดูดซับลีข้อมค้ำยถ่านบิทูมินสเชิงพาณิชย์

ค่าการดูดกลืนแสง (มิลลิกรัมต่อลิตร)									
ความยาวคลื่น (นาโนเมตร)	เริ่มต้น	ระยะเวลาเบย่า (105 นาที)				ระยะเวลาเบย่า (120 นาที)			
		หลังการดูดซับ	ร้อยละการดูดซับ	S.D.	เริ่มต้น	หลังการดูดซับ	ร้อยละการดูดซับ	S.D.	
400 nm	0.58	0.17	70.11	0.01	0.58	0.15	74.14	0.00	
420 nm	0.54	0.18	66.05	0.01	0.54	0.18	67.28	0.01	
434 nm	0.53	0.14	72.96	0.01	0.53	0.13	74.84	0.01	
546 nm	0.41	0.13	67.48	0.01	0.41	0.12	69.92	0.01	
588 nm	0.49	0.14	70.75	0.01	0.49	0.13	72.79	0.01	
594 nm	0.50	0.14	71.33	0.01	0.50	0.13	73.33	0.01	
616 nm	0.52	0.14	73.08	0.00	0.52	0.13	74.36	0.01	
662 nm	0.30	0.11	63.33	0.00	0.30	0.09	68.89	0.01	
666nm	0.28	0.10	63.10	0.01	0.28	0.09	66.67	0.01	

ตารางผนวกที่ 19 ความสัมพันธ์ระหว่างระยะเวลาเข้าสู่สมดุล (0, 30) กับร้อยละการคุณภาพสีข้อมูลด้วยผงเมล็ดมะรุม

ค่าการคุณภาพลีนแสง (มิลลิกรัมต่อลิตร)									
ความยาวคลื่น (นาโนเมตร)	เริ่มต้น	ระยะเวลาเข้าสู่สมดุล (0 นาที)				ระยะเวลาเข้าสู่สมดุล (30 นาที)			
		หลังการคุณภาพ	ร้อยละการคุณภาพ	S.D.	เริ่มต้น	หลังการคุณภาพ	ร้อยละการคุณภาพ	S.D.	
400 nm	0.52	0.05	91.03	0.01	0.52	0.06	89.10	0.01	
420 nm	0.52	0.02	96.15	0.00	0.52	0.03	94.87	0.01	
434 nm	0.49	0.03	93.88	0.00	0.49	0.03	93.20	0.01	
546 nm	0.37	0.01	98.20	0.01	0.37	0.00	99.10	0.01	
588 nm	0.45	0.01	97.04	0.01	0.45	0.01	97.04	0.01	
594 nm	0.47	0.01	97.87	0.00	0.47	0.02	96.45	0.01	
616 nm	0.50	0.01	98.00	0.00	0.50	0.01	97.33	0.01	
662 nm	0.28	0.00	100.00	0.00	0.28	0.01	97.62	0.01	
666nm	0.27	0.01	96.30	0.00	0.27	0.01	97.53	0.01	

ตารางผนวกที่ 20 ความสัมพันธ์ระหว่างระยะเวลาเข้าสู่สมดุล (60, 90) กับร้อยละการคุณชับสีข้อมค่วยคงเมล็ดมะรุม

ค่าการคุณค่าลีนแสง (มิลลิกรัมต่อลิตร)									
ความยาวคลื่น (นาโนเมตร)	เริ่มต้น	ระยะเวลาเข้าสู่สมดุล (60 นาที)				ระยะเวลาเข้าสู่สมดุล (90 นาที)			
		หลังการคุณชับ	ร้อยละการคุณชับ	S.D.	เริ่มต้น	หลังการคุณชับ	ร้อยละการคุณชับ	S.D.	
400 nm	0.52	0.06	89.10	0.01	0.52	0.06	89.10	0.01	
420 nm	0.52	0.04	92.95	0.01	0.52	0.05	89.74	0.01	
434 nm	0.49	0.04	91.16	0.01	0.49	0.04	92.52	0.01	
546 nm	0.37	0.00	99.10	0.01	0.37	0.01	98.20	0.01	
588 nm	0.45	0.01	97.04	0.01	0.45	0.02	96.30	0.01	
594 nm	0.47	0.02	96.45	0.01	0.47	0.02	96.45	0.01	
616 nm	0.50	0.01	98.67	0.01	0.50	0.02	96.00	0.00	
662 nm	0.28	0.00	98.81	0.01	0.28	0.00	98.81	0.01	
666nm	0.27	0.00	98.77	0.01	0.27	0.00	100.00	0.00	

ตารางผนวกที่ 21 ความสัมพันธ์ระหว่างระยะเวลาเข้าสู่สมดุล (120) กับร้อยละการดูดซับสีข้อมค้ายางเมล็ดมะรุม

ค่าการดูดกลืนแสง (มิลลิกรัมต่อคลิตร)					
ความยาวคลื่น (นาโนเมตร)	เริ่มต้น	ระยะเวลาเข้าสู่สมดุล (120 นาที)			S.D.
		หลังการดูดซับ	ร้อยละการดูดซับ		
400 nm	0.52	0.05	89.74	0.01	
420 nm	0.52	0.06	88.46	0	
434 nm	0.49	0.05	90.48	0.01	
546 nm	0.37	0.01	96.4	0.01	
588 nm	0.45	0.01	97.04	0.01	
594 nm	0.47	0.02	95.04	0.01	
616 nm	0.5	0.01	97.33	0.01	
662 nm	0.28	0	100	0	
666nm	0.27	0.01	97.53	0.01	

ตารางผนวกที่ 22 ความสัมพันธ์ระหว่างระยะเวลาเข้าสู่สมดุล (0, 30) กับร้อยละการดูดซับสีข้อมค่วยกันบิทูมินส์เชิงพาณิชย์

ค่าการดูดกลืนแสง (มิลลิกรัมต่อลิตร)									
ความยาวคลื่น (นาโนเมตร)	เริ่มต้น	ระยะเวลาเข้าสู่สมดุล (0 นาที)				ระยะเวลาเข้าสู่สมดุล (30 นาที)			
		หลังการดูดซับ	ร้อยละการดูดซับ	S.D.	เริ่มต้น	หลังการดูดซับ	ร้อยละการดูดซับ	S.D.	
400 nm	0.55	0.13	75.76	0.01	0.55	0.11	80.61	0.01	
420 nm	0.58	0.16	71.84	0.01	0.58	0.14	75.29	0.02	
434 nm	0.52	0.14	72.44	0.01	0.52	0.12	77.56	0.01	
546 nm	0.40	0.12	70.83	0.01	0.40	0.11	73.33	0.01	
588 nm	0.49	0.13	72.79	0.01	0.49	0.12	74.83	0.01	
594 nm	0.50	0.14	72.67	0.01	0.50	0.11	77.33	0.01	
616 nm	0.53	0.14	73.58	0.00	0.53	0.12	77.36	0.00	
662 nm	0.29	0.09	67.82	0.01	0.29	0.09	70.11	0.01	
666nm	0.27	0.09	65.43	0.01	0.27	0.08	69.14	0.01	

ตารางผนวกที่ 23 ความสัมพันธ์ระหว่างระยะเวลาเข้าสู่สมดุล (60, 90) กับร้อยละการคุณชับสีข้อมค่วยค่านบิทูมินสเชิงพาณิชย์

ค่าการคุณค่าลีนแสง (มิลลิกรัมต่อลิตร)									
ความยาวคลื่น (นาโนเมตร)	เริ่มต้น	ระยะเวลาเข้าสู่สมดุล (60 นาที)				ระยะเวลาเข้าสู่สมดุล (90 นาที)			
		หลังการคุณชับ	ร้อยละการคุณชับ	S.D.	เริ่มต้น	หลังการคุณชับ	ร้อยละการคุณชับ	S.D.	
400 nm	0.55	0.13	76.36	0.00	0.55	0.12	77.58	0.01	
420 nm	0.58	0.15	73.56	0.01	0.58	0.14	75.29	0.01	
434 nm	0.52	0.09	82.05	0.01	0.52	0.09	83.33	0.01	
546 nm	0.40	0.11	73.33	0.01	0.40	0.11	73.33	0.01	
588 nm	0.49	0.12	76.19	0.01	0.49	0.11	78.23	0.01	
594 nm	0.50	0.13	74.67	0.01	0.50	0.11	77.33	0.01	
616 nm	0.53	0.13	76.10	0.01	0.53	0.12	77.36	0.00	
662 nm	0.29	0.10	66.67	0.01	0.29	0.09	67.82	0.01	
666nm	0.27	0.09	66.67	0.01	0.27	0.09	65.43	0.01	

ตารางพนวกที่ 24 ความสัมพันธ์ระหว่างระยะเวลาเข้าสู่สมดุล (120) กับร้อยละการดูดซับสีข้อมูลด้วยถ่านบิทูมินส์เชิงพาณิชย์

ค่าการดูดกลืนแสง (มิลลิกรัมต่อลิตร)					
ความยาวคลื่น (นาโนเมตร)	เริ่มต้น	ลดลง ดูดซับ	ระยะเวลาเข้าสู่สมดุล (120 นาที)		
			ร้อยละการ ดูดซับ	S.D.	
400 nm	0.55	0.12	78.79	0.01	
420 nm	0.58	0.14	76.44	0.01	
434 nm	0.52	0.07	85.90	0.01	
546 nm	0.40	0.10	75.00	0.00	
588 nm	0.49	0.10	78.91	0.01	
594 nm	0.50	0.11	78.67	0.01	
616 nm	0.53	0.12	77.99	0.01	
662 nm	0.29	0.09	70.11	0.01	
666nm	0.27	0.09	66.67	0.00	

ตารางพนวกที่ 25 ความสัมพันธ์ระหว่างความเข้มข้นสารละลายสีข้อมผสม (10, 20) กับร้อยละการดูดซับสีข้อมด้วยพุงเมล็ดมะรุม

ค่าการดูดกลืนแสง (มิลลิกรัมต่อลิตร)									
ความยาวคลื่น (นาโนเมตร)	เริ่มต้น	ความเข้มข้นสารละลาย				ความเข้มข้นสารละลาย			
		สีข้อมผสม (10 มิลลิกรัมต่อลิตร)	หลังการดูดซับ	ร้อยละการดูดซับ	S.D.	เริ่มต้น	สีข้อมผสม (20 มิลลิกรัมต่อลิตร)	หลังการดูดซับ	ร้อยละการดูดซับ
400 nm	0.10	0.05	50.00	0.00	0.21	0.05	77.78	0.01	
420 nm	0.09	0.03	62.96	0.01	0.20	0.03	85.00	0.00	
434 nm	0.09	0.03	62.96	0.01	0.19	0.03	82.46	0.01	
546 nm	0.09	0.01	85.19	0.01	0.14	0.03	80.95	0.01	
588 nm	0.07	0.01	90.48	0.01	0.16	0.02	85.42	0.01	
594 nm	0.09	0.01	85.19	0.01	0.18	0.02	88.89	0.00	
616 nm	0.09	0.01	88.89	0.00	0.19	0.01	96.49	0.01	
662 nm	0.05	0.02	66.67	0.01	0.11	0.06	45.45	0.00	
666nm	0.05	0.02	66.67	0.01	0.10	0.03	66.67	0.01	

ตารางผนวกที่ 26 ความสัมพันธ์ระหว่างความเข้มข้นสารละลายสีข้อมผสม (30, 40) กับร้อยละการดูดซับสีข้อมด้วยผงเมล็ดมะรุม

ค่าการดูดกลืนแสง (มิลลิกรัมต่อลิตร)									
ความยาวคลื่น (นาโนเมตร)	เริ่มต้น	ความเข้มข้นสารละลาย สีข้อมผสม (30 มิลลิกรัมต่อลิตร)				ความเข้มข้นสารละลาย สีข้อมผสม (40 มิลลิกรัมต่อลิตร)			
		หลังการ ดูดซับ	ร้อยละการ ดูดซับ	S.D.	เริ่มต้น	หลังการ ดูดซับ	ร้อยละการ ดูดซับ	S.D.	
400 nm	0.30	0.05	82.22	0.01	0.42	0.06	86.51	0.01	
420 nm	0.30	0.03	90.00	0.00	0.42	0.03	93.65	0.01	
434 nm	0.28	0.03	89.29	0.00	0.40	0.02	94.17	0.01	
546 nm	0.21	0.00	98.41	0.01	0.29	0.01	95.40	0.01	
588 nm	0.24	0.01	94.44	0.01	0.35	0.01	98.10	0.01	
594 nm	0.27	0.02	93.83	0.01	0.37	0.01	98.20	0.01	
616 nm	0.28	0.01	96.43	0.00	0.38	0.04	90.35	0.01	
662 nm	0.18	0.01	92.59	0.01	0.23	0.02	92.75	0.01	
666nm	0.15	0.00	100.00	0.00	0.23	0.01	97.10	0.01	

ตารางผนวกที่ 27 ความสัมพันธ์ระหว่างความเข้มข้นสารละลายสีข้อมผสม (50) กับร้อยละการคุณภาพสีข้อมด้วยพุงเมล็ดมะรุม

ค่าการคุณภาพสี (มิลลิกรัมต่อลิตร)					
ความยาวคลื่น (นาโนเมตร)	เริ่มต้น	ความเข้มข้นสารละลาย			S.D.
		หลังการคุณภาพ	ร้อยละการคุณภาพ		
400 nm	0.53	0.08	85.53		0.01
420 nm	0.53	0.04	92.45		0.00
434 nm	0.50	0.04	92.00		0.00
546 nm	0.36	0.02	95.37		0.01
588 nm	0.41	0.00	100.00		0.00
594 nm	0.47	0.02	95.74		0.00
616 nm	0.44	0.02	94.70		0.01
662 nm	0.29	0.02	94.25		0.01
666nm	0.28	0.01	97.62		0.01

ตารางผนวกที่ 28 ความสัมพันธ์ระหว่างความเข้มข้นสารละลายน้ำเสีย้อมผสม (10, 20) กับร้อยละการคุณชั้บสีข้อมูลค่าวิกฤติในน้ำเสียงพานิชย์

ค่าการคุณค่าเฉลี่ย (มิลลิกรัมต่อลิตร)									
ความยาวคลื่น (นาโนเมตร)	เริ่มต้น	ความเข้มข้นสารละลายน้ำเสีย้อมผสม (10 มิลลิกรัมต่อลิตร)				ความเข้มข้นสารละลายน้ำเสีย้อมผสม (20 มิลลิกรัมต่อลิตร)			
		หลังการคุณชั้บ	ร้อยละการคุณชั้บ	S.D.	เริ่มต้น	หลังการคุณชั้บ	ร้อยละการคุณชั้บ	S.D.	
400 nm	0.11	0.06	42.42	0.01	0.22	0.09	60.61	0.01	
420 nm	0.13	0.08	35.90	0.01	0.23	0.08	63.77	0.01	
434 nm	0.10	0.05	46.67	0.01	0.21	0.07	65.08	0.01	
546 nm	0.07	0.03	52.38	0.01	0.15	0.05	64.44	0.01	
588 nm	0.09	0.03	66.67	0.00	0.19	0.06	70.18	0.01	
594 nm	0.09	0.04	55.56	0.00	0.19	0.06	70.18	0.01	
616 nm	0.10	0.04	60.00	0.00	0.20	0.05	76.67	0.01	
662 nm	0.06	0.04	33.33	0.00	0.12	0.05	58.33	0.00	
666nm	0.05	0.04	20.00	0.00	0.11	0.05	57.58	0.01	

ตารางพนวกที่ 29 ความสัมพันธ์ระหว่างความเข้มข้นสารละลายสีบ้มผสม (30, 40) กับร้อยละการดูดซับสีบ้มด้วยถ่านบิทูมินัสเชิงพาณิชย์

ค่าการดูดกลืนแสง (มิลลิกรัมต่อลิตร)									
ความยาวคลื่น (นาโนเมตร)	เริ่มต้น	ความเข้มข้นสารละลาย สีบ้มผสม (30 มิลลิกรัมต่อลิตร)				ความเข้มข้นสารละลาย สีบ้มผสม (40 มิลลิกรัมต่อลิตร)			
		หลังการ ดูดซับ	ร้อยละการ ดูดซับ	S.D.	เริ่มต้น	หลังการ ดูดซับ	ร้อยละการ ดูดซับ	S.D.	
400 nm	0.33	0.10	68.69	0.01	0.44	0.14	68.94	0.01	
420 nm	0.35	0.11	67.62	0.01	0.46	0.15	68.12	0.01	
434 nm	0.31	0.09	72.04	0.01	0.42	0.12	70.63	0.01	
546 nm	0.28	0.06	77.38	0.01	0.31	0.10	66.67	0.01	
588 nm	0.31	0.07	77.42	0.00	0.38	0.11	71.93	0.01	
594 nm	0.29	0.07	74.71	0.01	0.39	0.11	71.79	0.00	
616 nm	0.31	0.07	76.34	0.01	0.40	0.12	70.83	0.01	
662 nm	0.15	0.07	53.33	0.00	0.23	0.10	57.97	0.01	
666nm	0.22	0.05	75.76	0.01	0.21	0.08	61.90	0.00	

ตารางผนวกที่ 30 ความสัมพันธ์ระหว่างความเข้มข้นสารละลายสีเย้อมผสม (50) กับร้อยละการดูดซับสีเย้อมด้วยถ่านบิทูมินัสเชิงพาณิชย์

ค่าการดูดกลืนแสง (มิลลิกรัมต่อลิตร)					
ความยาวคลื่น (นาโนเมตร)	เริ่มต้น	หลังการดูดซับ	ความเข้มข้นสารละลายสีเย้อมผสม (50 มิลลิกรัมต่อลิตร)		
			S.D.		
400 nm	0.57	0.18		67.84	0.01
420 nm	0.58	0.19		66.67	0.01
434 nm	0.54	0.17		67.90	0.01
546 nm	0.39	0.14		63.25	0.01
588 nm	0.48	0.15		68.06	0.01
594 nm	0.49	0.15		68.71	0.01
616 nm	0.52	0.17		67.31	0.00
662 nm	0.29	0.13		56.32	0.01
666nm	0.27	0.11		58.02	0.01

ตารางผนวกที่ 31 ความสัมพันธ์ระหว่างปริมาณ (1, 2) กับร้อยละการดูดซับลีบีโอมด้วยผงเมล็ดมะรุม

ค่าการดูดกลืนแสง (มิลลิกรัมต่อลิตร)									
ความยาวคลื่น (นาโนเมตร)	เริ่มต้น	ปริมาณตัวดูดซับ (1 กรัม)				ปริมาณตัวดูดซับ (2 กรัม)			
		หลังการดูดซับ	ร้อยละการดูดซับ	S.D.	เริ่มต้น	หลังการดูดซับ	ร้อยละการดูดซับ	S.D.	
400 nm	0.50	0.07	85.33	0.02	0.48	0.10	79.86	0.01	
420 nm	0.53	0.06	88.68	0.01	0.53	0.07	86.79	0.00	
434 nm	0.47	0.04	90.78	0.01	0.47	0.08	82.98	0.01	
546 nm	0.40	0.02	95.00	0.01	0.36	0.02	95.37	0.01	
588 nm	0.48	0.01	97.22	0.01	0.45	0.01	98.52	0.01	
594 nm	0.49	0.04	91.16	0.01	0.51	0.05	90.20	0.01	
616 nm	0.50	0.03	94.67	0.01	0.52	0.02	96.79	0.01	
662 nm	0.25	0.00	100.00	0.00	0.28	0.01	96.43	0.00	
666nm	0.24	0.01	94.44	0.01	0.25	0.01	96.00	0.01	

ตารางผนวกที่ 32 ความสัมพันธ์ระหว่างปริมาณ (3, 4) กับร้อยละการดูดซับลีบีโอมด้วยผงเมล็ดมะรุม

ค่าการดูดกลืนแสง (มิลลิกรัมต่อลิตร)									
ความยาวคลื่น (นาโนเมตร)	เริ่มต้น	ปริมาณตัวดูดซับ (3 กรัม)				ปริมาณตัวดูดซับ (4 กรัม)			
		หลังการดูดซับ	ร้อยละการดูดซับ	S.D.	เริ่มต้น	หลังการดูดซับ	ร้อยละการดูดซับ	S.D.	
400 nm	0.49	0.16	66.67	0.02	0.56	0.24	57.14	0.02	
420 nm	0.52	0.12	77.56	0.01	0.52	0.16	68.59	0.01	
434 nm	0.49	0.13	74.15	0.02	0.51	0.18	64.05	0.03	
546 nm	0.38	0.07	81.58	0.02	0.41	0.10	74.80	0.03	
588 nm	0.47	0.04	91.49	0.01	0.47	0.07	85.82	0.02	
594 nm	0.50	0.06	88.67	0.02	0.52	0.09	83.33	0.02	
616 nm	0.53	0.04	91.82	0.01	0.52	0.07	87.18	0.01	
662 nm	0.28	0.03	89.29	0.01	0.28	0.06	79.76	0.01	
666nm	0.26	0.03	87.18	0.02	0.27	0.06	76.54	0.02	

ตารางผนวกที่ 33 ความสัมพันธ์ระหว่างปริมาณ (5, 6) กับร้อยละการดูดซับลีบีโอมด้วยผงเมล็ดมะรุม

ค่าการดูดกลืนแสง (มิลลิกรัมต่อลิตร)									
ความยาวคลื่น (นาโนเมตร)	เริ่มต้น	ปริมาณตัวดูดซับ (5 กรัม)				ปริมาณตัวดูดซับ (6 กรัม)			
		หลังการดูดซับ	ร้อยละการดูดซับ	S.D.	เริ่มต้น	หลังการดูดซับ	ร้อยละการดูดซับ	S.D.	
400 nm	0.52	0.36	31.41	0.02	0.52	0.36	30.77	0.02	
420 nm	0.52	0.22	57.69	0.02	0.52	0.23	56.41	0.01	
434 nm	0.54	0.2	62.96	0.02	0.54	0.21	61.11	0	
546 nm	0.42	0.16	61.9	0.04	0.42	0.16	61.11	0.03	
588 nm	0.48	0.08	82.64	0.03	0.48	0.09	81.25	0.02	
594 nm	0.49	0.13	74.15	0.03	0.49	0.13	73.47	0.03	
616 nm	0.5	0.12	75.33	0.03	0.5	0.13	74	0.03	
662 nm	0.28	0.11	60.71	0.02	0.28	0.12	55.95	0.01	
666nm	0.29	0.11	62.07	0.03	0.29	0.13	55.17	0.01	

ตารางผนวกที่ 34 ความสัมพันธ์ระหว่างปริมาณ (7, 8) กับร้อยละการดูดซับลีบีโอมด้วยผงเมล็ดมะรุม

ค่าการดูดกลืนแสง (มิลลิกรัมต่อลิตร)								
ความยาวคลื่น (นาโนเมตร)	เริ่มต้น	ปริมาณตัวดูดซับ (7 กรัม)			S.D.	เริ่มต้น	ปริมาณตัวดูดซับ (8 กรัม)	
		หลังการดูดซับ	ร้อยละการดูดซับ	S.D.			หลังการดูดซับ	ร้อยละการดูดซับ
400 nm	0.52	0.37	29.49	0.02	0.52	0.38	27.56	0.01
420 nm	0.52	0.24	54.49	0.01	0.52	0.24	53.85	0.00
434 nm	0.54	0.22	59.88	0.01	0.54	0.22	58.64	0.01
546 nm	0.42	0.18	57.14	0.02	0.42	0.21	50.79	0.01
588 nm	0.48	0.09	80.56	0.02	0.48	0.10	78.47	0.01
594 nm	0.49	0.14	71.43	0.03	0.49	0.13	74.15	0.03
616 nm	0.50	0.13	73.33	0.02	0.50	0.16	68.00	0.00
662 nm	0.28	0.13	52.38	0.01	0.28	0.15	47.62	0.01
666nm	0.29	0.14	50.57	0.01	0.29	0.16	43.68	0.01

ตารางผนวกที่ 35 ความสัมพันธ์ระหว่างปริมาณ (1, 2) กับร้อยละการดูดซับลีบ้มด้วยถ่านบิทูนินสเชิงพาณิชย์

ค่าการดูดกลืนแสง (มิลลิกรัมต่อลิตร)									
ความยาวคลื่น (นาโนเมตร)	เริ่มต้น	ปริมาณตัวดูดซับ (1 กรัม)				ปริมาณตัวดูดซับ (2 กรัม)			
		หลังการดูดซับ	ร้อยละการดูดซับ	S.D.	เริ่มต้น	หลังการดูดซับ	ร้อยละการดูดซับ	S.D.	
400 nm	0.33	0.22	32.32	0.01	0.33	0.17	47.47	0.01	
420 nm	0.33	0.23	31.31	0.01	0.33	0.16	50.51	0.01	
434 nm	0.31	0.23	26.88	0.01	0.31	0.17	46.24	0.01	
546 nm	0.23	0.15	33.33	0.01	0.23	0.12	46.38	0.01	
588 nm	0.28	0.18	35.71	0	0.28	0.14	51.19	0.01	
594 nm	0.3	0.2	33.33	0	0.3	0.15	48.89	0.01	
616 nm	0.31	0.2	34.41	0.01	0.31	0.16	47.31	0.01	
662 nm	0.18	0.12	35.19	0.01	0.18	0.09	48.15	0.01	
666nm	0.18	0.12	31.48	0.01	0.18	0.1	42.59	0.01	

ตารางผนวกที่ 36 ความสัมพันธ์ระหว่างปริมาณ (3, 4) กับร้อยละการดูดซับลีบีโอมด้วยถ่านบิทูมินสเชิงพาณิชย์

ค่าการดูดกลืนแสง (มิลลิกรัมต่อลิตร)									
ความยาวคลื่น (นาโนเมตร)	เริ่มต้น	ปริมาณตัวดูดซับ (3 กรัม)				ปริมาณตัวดูดซับ (4 กรัม)			
		หลังการดูดซับ	ร้อยละการดูดซับ	S.D.	เริ่มต้น	หลังการดูดซับ	ร้อยละการดูดซับ	S.D.	
400 nm	0.33	0.13	61.62	0.01	0.33	0.13	61.62	0.01	
420 nm	0.33	0.12	64.65	0.01	0.33	0.12	64.65	0.01	
434 nm	0.31	0.13	59.14	0.01	0.31	0.13	59.14	0.01	
546 nm	0.23	0.09	59.42	0.01	0.23	0.09	59.42	0.01	
588 nm	0.28	0.10	65.48	0.01	0.28	0.10	63.10	0.01	
594 nm	0.30	0.13	57.78	0.01	0.30	0.12	61.11	0.01	
616 nm	0.31	0.12	61.29	0.00	0.31	0.11	63.44	0.01	
662 nm	0.18	0.08	57.41	0.01	0.18	0.08	53.70	0.01	
666nm	0.18	0.09	48.15	0.01	0.18	0.09	50.00	0.00	

ตารางผนวกที่ 37 ความสัมพันธ์ระหว่างปริมาณ (5, 6) กับร้อยละการดูดซับลีบ้มด้วยถ่านบิทูนิสเชิงพาณิชย์

ค่าการดูดกลืนแสง (มิลลิกรัมต่อลิตร)									
ความยาวคลื่น (นาโนเมตร)	เริ่มต้น	ปริมาณตัวดูดซับ (5 กรัม)				ปริมาณตัวดูดซับ (6 กรัม)			
		หลังการดูดซับ	ร้อยละการดูดซับ	S.D.	เริ่มต้น	หลังการดูดซับ	ร้อยละการดูดซับ	S.D.	
400 nm	0.33	0.12	64.65	0.01	0.33	0.11	66.67	0.00	
420 nm	0.33	0.10	68.69	0.01	0.33	0.10	69.70	0.00	
434 nm	0.31	0.11	63.44	0.01	0.31	0.11	64.52	0.00	
546 nm	0.23	0.08	65.22	0.00	0.23	0.08	65.22	0.00	
588 nm	0.28	0.09	67.86	0.00	0.28	0.08	70.24	0.01	
594 nm	0.30	0.11	64.44	0.01	0.30	0.10	66.67	0.00	
616 nm	0.31	0.10	67.74	0.00	0.31	0.09	69.89	0.01	
662 nm	0.18	0.07	61.11	0.00	0.18	0.07	61.11	0.00	
666nm	0.18	0.09	48.15	0.01	0.18	0.10	46.30	0.01	

ตารางผนวกที่ 38 ความสัมพันธ์ระหว่างปริมาณ (7, 8) กับร้อยละการคุณภาพสีข้อมูลด้วยถ่านบิทูมินัสเชิงพาณิชย์

ค่าการคุณภาพลีนแสง (มิลลิกรัมต่อลิตร)								
ความยาวคลื่น (นาโนเมตร)	เริ่มต้น	ปริมาณตัวคุณภาพ (7 กรัม)			ปริมาณตัวคุณภาพ (8 กรัม)			S.D.
		หลังการคุณภาพ	ร้อยละการคุณภาพ	S.D.	เริ่มต้น	หลังการคุณภาพ	ร้อยละการคุณภาพ	
400 nm	0.33	0.08	75.76	0.00	0.33	0.11	67.68	0.01
420 nm	0.33	0.06	80.81	0.01	0.33	0.10	70.71	0.01
434 nm	0.31	0.08	73.12	0.01	0.31	0.10	66.67	0.01
546 nm	0.23	0.05	76.81	0.01	0.23	0.06	73.91	0.02
588 nm	0.28	0.07	76.19	0.01	0.28	0.08	72.62	0.01
594 nm	0.30	0.07	75.56	0.01	0.30	0.09	70.00	0.00
616 nm	0.31	0.06	79.57	0.01	0.31	0.08	74.19	0.00
662 nm	0.18	0.05	70.37	0.01	0.18	0.07	59.26	0.01
666nm	0.18	0.08	57.41	0.01	0.18	0.08	53.70	0.01

ตารางผนวกที่ 39 ไอโซเทอร์มการดูดซับของพղเมล็ดมะรุม

ปริมาณตัวดูดซับ (กรัม)	C_0	C_1	$C_0 - C_1$	$V(L)$	q	$1/q$	$1/C_1$	$\log C_1$	$\log q$
1	30	0.12	29.88	0.05	1.49	0.67	8.47	0.93	0.17
2	30	1.01	28.99	0.05	0.73	1.38	0.99	0.01	-0.14
3	30	0.82	29.18	0.05	0.49	2.06	1.22	0.08	-0.31
4	30	0.17	29.83	0.05	30.37	0.03	6.02	0.78	1.48
5	30	3.00	27.00	0.05	0.27	3.70	0.33	0.48	-0.57
6	30	3.78	26.22	0.05	0.22	4.59	0.26	0.58	-0.66
7	30	4.64	25.36	0.05	0.18	5.52	0.22	0.67	-0.74
8	30	5.63	24.37	0.05	0.15	6.58	0.18	0.75	-0.82

ตารางผนวกที่ 40 ไอโซเทอร์มการดูดซับของถ่านบิทูมินัสเชิงพาณิชย์

ปริมาณตัวดูดซับ (กรัม)	C_0	C_1	C_0-C_1	$V(L)$	q	$1/q$	$1/C_1$	$\log C_1$	$\log q$
1	30	0.18	29.82	0.05	1.49	0.67	5.44	-0.74	0.17
2	30	0.28	29.72	0.05	0.74	1.35	3.52	-0.55	-0.13
3	30	0.33	29.67	0.05	0.50	2.02	3.07	-0.48	-0.31
4	30	0.43	29.57	0.05	0.37	2.70	2.32	-0.37	-0.43
5	30	0.87	29.13	0.05	0.29	3.44	1.15	-0.06	-0.54
6	30	0.56	29.44	0.05	0.25	4.08	1.78	-0.25	-0.61
7	30	0.48	29.52	0.05	0.21	4.74	2.10	-0.32	-0.68
8	30	0.68	29.32	0.05	0.18	5.46	1.46	-0.17	-0.74

ตารางผนวกที่ 41 ประสิทธิภาพของผงเม็ดมะรุมในการดูดซับสีข้อม้าในน้ำเสียสังเคราะห์ (7 ชั่ว)

ความยาวคลื่น (นาโนเมตร)	เริ่มต้น	หลังการดูดซับ	ค่าการดูดกลืนแสง (มิลลิกรัมต่อลิตร)	
			ร้อยละการดูดซับ	S.D.
400 nm	0.52	0.06	87.91	0.01
420 nm	0.51	0.04	91.32	0.01
434 nm	0.47	0.05	89.67	0.00
546 nm	0.37	0.01	98.46	0.01
588 nm	0.46	0.00	99.69	0.00
594 nm	0.49	0.01	98.54	0.00
616 nm	0.49	0.00	99.71	0.00
662 nm	0.25	0.01	95.43	0.00
666nm	0.23	0.02	91.93	0.00

ตารางผนวกที่ 42 ประสิทธิภาพของถ่านบิทูมินส์เชิงพาณิชย์ในการคัดซับสีข้อม้าในน้ำเสียสังเคราะห์ (7 ชั้น)

ความยาวคลื่น (นาโนเมตร)	เริ่มต้น	หลังการคัดซับ	ค่าการคูดกลืนแสง (มิลลิกรัมต่อลิตร)	
			ร้อยละการคัดซับ	S.D.
400 nm	0.33	0.08	75.32	0.01
420 nm	0.33	0.08	76.19	0.01
434 nm	0.31	0.07	77.88	0.01
546 nm	0.24	0.07	72.62	0.01
588 nm	0.28	0.07	76.53	0.01
594 nm	0.30	0.07	78.10	0.01
616 nm	0.31	0.07	78.80	0.01
662 nm	0.18	0.06	67.46	0.01
666nm	0.17	0.06	63.03	0.00

ตารางที่ 43 ประสิทธิภาพของผงจากเมล็ดมะรุมในการดูดซับสีข้อมผ้าในน้ำทึบจากโรงงานข้อมผ้า (7 ชั้น)

ความยาวคลื่น (นาโนเมตร)	เริ่มต้น	หลังการดูดซับ	ค่าการดูดกลืนแสง (มิลลิกรัมต่อลิตร)	
			ร้อยละการดูดซับ	S.D.
400 nm	0.75	0.45	40.19	0.01
420 nm	0.64	0.35	45.31	0.01
434 nm	0.54	0.33	38.36	0.01
546 nm	0.24	0.15	36.31	0.01
588 nm	0.20	0.13	35.00	0.01
594 nm	0.20	0.12	42.14	0.01
616 nm	0.18	0.11	40.48	0.01
662 nm	0.16	0.10	37.50	0.01
666nm	0.15	0.10	31.43	0.00

ตารางผนวกที่ 44 ประสิทธิภาพของก้านบิทูมินัสเชิงพาณิชย์ในการดูดซับสีข้อมผ้าในน้ำทึบจากโรงงานข้อมผ้า (7 ชั้น)

ความยาวคลื่น (นาโนเมตร)	เริ่มต้น	หลังการดูดซับ	ค่าการดูดกลืนแสง (มิลลิกรัมต่อลิตร)		S.D.
			ร้อยละการดูดซับ		
400 nm	0.85	0.45	46.55	0.01	
420 nm	0.70	0.40	43.06	0.01	
434 nm	0.61	0.35	41.92	0.01	
546 nm	0.26	0.18	29.67	0.01	
588 nm	0.21	0.15	26.53	0.01	
594 nm	0.21	0.15	29.25	0.01	
616 nm	0.20	0.14	32.14	0.01	
662 nm	0.16	0.11	33.04	0.00	
666nm	0.17	0.12	28.57	0.01	

ประวัติการศึกษาและการทำงาน

ชื่อ – นามสกุล	นางสาวธิติรัตน์ ปียะภานุวงศ์
เกิดวันที่	วันที่ 27 ตุลาคม 2528
สถานที่เกิด	โรงพยาบาลจุฬารัตน์ จังหวัดกรุงเทพมหานคร
ประวัติการศึกษา	ศึกษาศาสตรบัณฑิต (เกย์ตระศานาศาสตร์) มหาวิทยาลัยเกษตรศาสตร์
ตำแหน่งปัจจุบัน	-
สถานที่ทำงานปัจจุบัน	-
ผลงานเด่น	นำเสนอผลงานทางวิชาการ ในการประชุมวิชาการ มหาวิทยาลัยอุบลราชธานี ครั้งที่ 5 (กลุ่มวิชาศาสตร์ และเทคโนโลยี) เรื่องการเปรียบเทียบการจำจัดสีข้อมือผ้า ในน้ำทึบจากโรงงานข้อมือผ้าໂกรงการพัฒนาดอยตุง อัน เนื่องมาจากพระราชดำริ ด้วยผงเมล็ดมะรุมและถ่านบิทู มนัสเชิงพาณิชย์
ทุนการศึกษาที่ได้รับ	โครงการศึกษาวิจัยและพัฒนาสิ่งแวดล้อม แหลมผักเบี้ย อันเนื่องมาจากพระราชดำริ (2553)